

Ecole Polytechnique de Thies

Projet de fin d'études

La perméabilité des sols latéritiques

Auteur Abdou Diouf

Génie civil.

— Mai 1985 —

A mes très chers parents et amis pour le soutien
matériel et moral qu'ils n'ont cessé de m'apporter
tout au long de mes études.

(i)

Remerciements

J'exprime ma profonde gratitude à monsieur Ismaïla Guéye professeur à l'E.P.T qui a bien voulu accepter la direction de cette étude et à monsieur Michel Bornat technicien du laboratoire de mécanique des sols pour son soutien sans réserve.

Mes remerciements vont aussi à l'en droit de messieurs Victor Ciubotariu et André Paris tous professeurs à l'E.P.T pour les documents fournis.

Je remercie enfin toutes les personnes qui, de près ou de loin, ont contribué à l'acheminement de ce travail.

Sommaire

Dans le cadre de la création d'une banque de données relatives aux sols tropicaux, il est réalisé ici une étude de la perméabilité des sols latéritiques en fonction de la granulométrie et du degré de compactage.

L'étude comporte les parties suivantes:

- Une partie théorique regroupant un aperçu sur les sols latéritiques et les différentes approches de la perméabilité des sols.
- Un partie expérimentale comportant un étalonnage du dispositif expérimental utilisé qui est ici un perméamètre à charge constante et une série de mesures de perméabilité sur différents échantillons de latérites (au total 5 échantillons)

Le résultat fondamental tiré en faisant la corrélation des mesures est une formule empirique qui exprime le coefficient de perméabilité en fonction des caractéristiques granulométriques (Cu, d_{10}) et de la densité sèche (γ_d)

$$\text{soit } k = \frac{0.021 Cu d_{10} - 0.020}{\gamma_d^2}$$

Dans le but de vérifier la conformité de la relation et de changer au besoin les différents coefficients il a été recommandé de poursuivre les travaux effectués sur un dispositif expérimental plus performant.

(iii)

— Table des matières —

	Pages
Dédicace	i
Remerciements	ii
Sommaire	iii
Table des matières	iv
<u>Introduction</u>	1
Chapitre I <u>Les sols latéritiques</u>	
1.1 Généralités et définitions	4
1.2 La latérite au Sénégal	8
Chapitre II <u>La perméabilité des sols</u>	
2.1 Physique de l'écoulement en milieu poreux	11
2.1.1 La loi de Darcy	12
2.1.2 La conductivité hydraulique (k)	15
2.1.3 L'équation de Hagen-Poiseuille	"
2.2 Méthodes de détermination de k	18
2.2.1 Méthodes de laboratoire	1
2.2.2 Méthodes indirectes	22
2.2.3 Méthodes de chantier	23
2.2.4 Détermination de k par calcul	24
Chapitre III <u>Mesures de perméabilité sur les latérites</u>	
3.1 Le dispositif expérimental	27
3.2 Principe de fonctionnement	30
3.3 Etalonnage et évaluation des pertes de charges	31

(av)

3.4	Mesures proprement dites	34
3.4.1	- Choix des filtres	"
3.4.2	Renseignements sur le sol utilisé	36
3.5	Interprétations des résultats	38
3.5.1	Influences du compactage	39
3.5.2	Influences de la granulométrie	45
3.5.3	Effets combinés de la granulométrie et du compactage	"
Chapitre IV	<u>Conclusion</u>	49
Annexe 1.	<u>Caractéristiques morphologiques des latérites</u>	53
Annexe 2	<u>Tableau résumé des méthodes de chantier</u>	54
Annexe 3	<u>Mesures et tableaux d'exploitation des résultats</u>	
A.3.1	Corrections de viscosités et propriétés de l'eau à la pression atmosphérique	55
A.3.2	Résultats d'étalonnage	56
A.3.3	Tableaux résumés des mesures	57
A.3.4	Tableaux de corrélation des résultats	59
A.3.5	Résultats des mesures et calculs	61
	<u>Bibliographie</u>	108

Introduction

La perméabilité d'un sol caractérise le mouvement de l'eau dans ce sol. Le problème du mouvement de l'eau dans les sols est une préoccupation commune à plusieurs activités de l'ingénieur. Ainsi l'ingénieur civil est appelé à connaître ce phénomène, car dans l'exécution des fondations et des travaux de terrassements, les conditions d'humidité constituent l'un des principaux facteurs déterminant les caractéristiques du comportement des sols ; en effet elles déterminent les propriétés les plus importantes des sols : la compressibilité, la résistance au cisaillement, la capacité de compactage, le comportement pendant les sollicitations statiques prolongées ou les sollicitations dynamiques... L'ingénieur routier, soucieux d'assurer la stabilité des routes est amené à s'interroger sur les mécanismes des échanges d'humidité entre le sol, la nappe phréatique et l'atmosphère et de mettre en œuvre les moyens de pouvoir contrôler la teneur en eau des sols.

L'hydrologue qui s'inquiète du sort de l'eau s'infiltrant dans les terrains afin de pouvoir établir le bilan hydraulique d'un bassin versant ou d'une région, est obligé de se pencher sur les déplacements d'humidité dans le sol en fonction des conditions climatiques du lieu et du régime hydrogéologique général. Enfin et pour ne s'en limiter qu'à ceux-là, l'agronome confronté au problème de besoin en eau de ses plantes, chiffre

les disponibilités en eau des terres et la facilité qu'a cette eau d'arriver jusqu'aux racines à différentes époques ainsi que les quantités d'eau irriguée dont il faudra disposer.

On constate donc que les domaines d'application du mouvement de l'eau dans les sols sont nombreuses et variées et chacun d'eux a une importance capitale dans les activités quotidiennes ; c'est ce qui a fait dire (à juste titre d'ailleurs) au professeur WINTERKORN à l'occasion du symposium de Washington en 1958 sur le thème 'L'eau et son transfert dans les sols' l'affirmation suivante : "le mouvement de l'eau dans les systèmes poreux est, peut-être le phénomène ayant les plus grandes conséquences sur la vie et les activités de la race humaine".

L'importance du mouvement de l'eau dans les sols est donc notoire, c'est pourquoi ce phénomène mérite d'être suivi et étudié. Au Sénégal on ne pourrait penser à étudier ce phénomène sans faire l'application à la latérite qui ^{est} le sol le plus abondant d'une part et le plus utilisé dans les divers domaines de génie d'autre part ; c'est dans ce cadre là qu'il faut situer le sujet que nous abordons.

Cette application est d'un intérêt particulier, car les propriétés géotechniques des sols tropicaux en général et des sols latéritiques en particulier ne sont pas très

connues, on les classe généralement dans la catégorie des "sols à problèmes"; ces sols ayant un comportement imprévisible vis à vis des essais standards.

La connaissance des propriétés géotechniques de ces sols s'impose donc à nous; c'est pour cela; nous tentons de faire ici un premier pas en étudiant la perméabilité des sols latéritiques, ceci nous permettra d'avoir des banques de données afin de prévoir le comportement pendant les nombreuses applications que subissent ces sols.

Le sujet proprement dit consiste en une étude expérimentale de la perméabilité des sols latéritiques en fonction de la granulométrie et du degré de compactage et une exploitation des résultats expérimentaux, mais avant de l'aborder il nous semble judicieuse de faire un aperçu sur la latérité et la perméabilité des sols telle qu'elle a été étudiée par les grands savants de l'époque tels que Darcy, TERZAGHI, CASAGRANDE etc ...

LES SOLS LATERITIQUES

1.1 Généralités et définitions

Une étude faite en 1952 par FLORENTIN et L'HERITEAU pour le compte du BCEOM (Bureau central des études outre-mer) a recensé plus de trente (30) définitions des latérites. Le but de cette étude n'étant pas de recenser toutes les définitions possibles nous nous limiterons à celles qui s'orientent mieux dans le cadre de notre projet. Ethymologiquement le terme latérite vient du latin later qui signifie brique. Selon DREYFUS il aurait été employé pour la première fois par le géologue Buchanan qui désigna ainsi un matériau ferrugineux utilisé dans l'Inde pour confectionner des briques de terres destinées à la construction. Pour le dictionnaire (Petit Robert 1978) la définition est la suivante : du latin later "brique" roche jaspée d'un bon ton rouge de brique, provenant de la décomposition en surface de roches très diverses. Enfin une définition tout à fait touristique : pour un voyageur ayant fait la campagne sénégalaise : la latérite est ce matériau rouge avec lequel on fait les routes, glissant en saison des pluies, faisant la tôle ondulée en saison sèche, poussiéreuse au point de réduire la visibilité sur la route. On le voit donc toutes les définitions précé-

dentes constituent donc une mystification de l'appellation latérite ; c'est ainsi que par exemple la définition donnée par Buchanan n'a plus qu'une valeur historique car tout matériau susceptible de faire des briques n'est pas de la latérite.

La définition qui est la plus scientifique et la plus à jour est celle de l'ingénieur civil qui est appelé à construire sur, dans et avec ce sol ; en effet pour ce dernier la latérite regroupe tous les sols résiduels rougeâtres et tous les sols ^{non} résiduels ayant subi le processus d'altération tropicale. Ces sols se situent dans une chaîne de matériaux allant de la roche décomposée aux argiles et aux tuilasses (ou croûtes indurées) riches en sesquioxides.

Le phénomène de latérisation est un processus spécifique aux régions tropicales chaudes et humides.

Les agents d'altération sont

- . Le climat (température, pluviométrie, bilan hydrique)
- . La topographie (érosion et drainage)
- . La végétation (matières organiques, bactéries, acides humiques)
- . La roche mère
- . Le temps.

Sous des conditions favorables le processus peut être tellement intense que les minéraux argileux (essentiellement des silicates d'aluminium hydratés) sont attaqués

et décomposés, la silice est enlevée^{ne} laissant sur place que des oxydes d'alumine (gibbsite) ou des oxydes ferriques (limonite, goethite).

Le processus de latérisation consiste en une altération de la roche mère dont la caractéristique essentielle réside dans une mise en solution puis un départ de la silice, phénomène de lessivage, accompagné d'un enrichissement en fer et en alumine sous forme de sesquioxides Fe_2O_3 et Al_2O_3 .

L'intensité du processus de latérisation est mesuré en tenant compte du rapport de SiO_2 qu'il y a dans le sol résiduel et les sesquioxides accumulés (Fe_2O_3 et Al_2O_3) ; ce rapport est appelé 'rapport des sesquioxides'. Il s'exprime de la façon suivante :

$$R = \frac{\text{SiO}_2}{\text{Fe}_2\text{O}_3 + \text{Al}_2\text{O}_3}$$

R permet de caractériser les latérites de la façon suivante qui est une règle généralement admise :

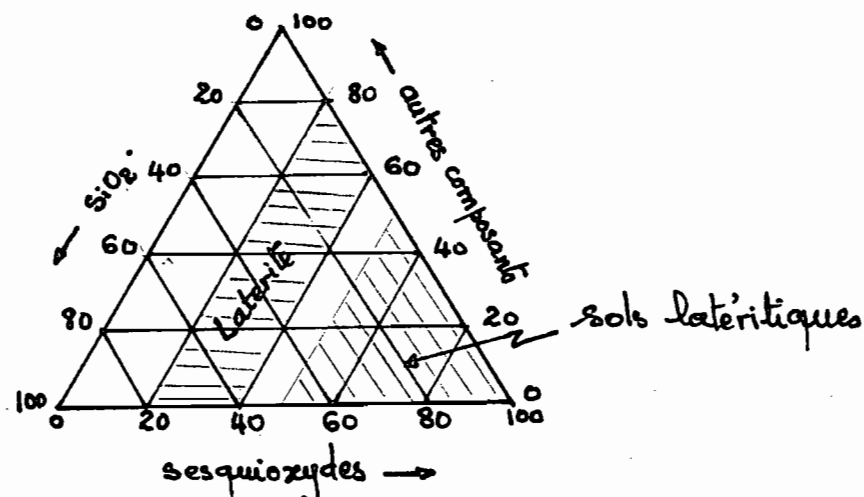
- . Si $R < 1.33$ on a une vraie latérite
- . Si $1.33 < R < 2.0$ on a un sol latéritique
- . Si $R > 2.0$ on a un sol non latéritique

Il existe plusieurs autres façons de caractériser les latérites suivant les classifications des sols ; la plus intéressante est le tableau donnant les caractéristiques morphologiques des latérites en fonction du degré de latérisation et de plusieurs autres facteurs

(voir annexe !)

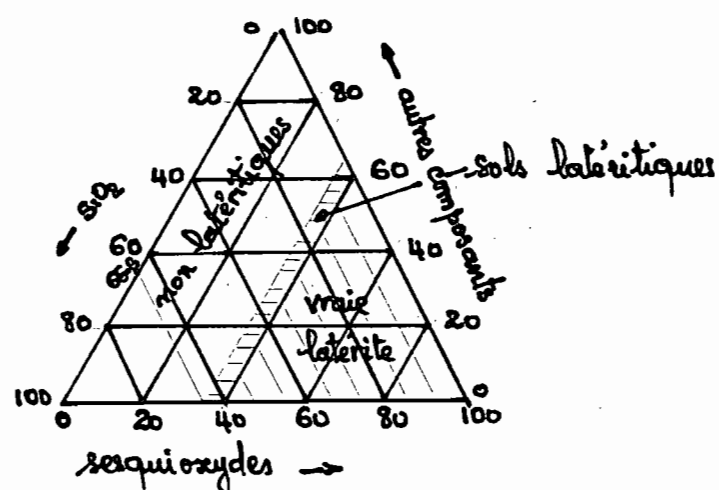
Il existe aussi des classifications faites sous forme de diagramme triangulaire

Définition de 1975 et extension sur un diagramme triangulaire



Définition de Hoore représentée sur un diagramme triangulaire

(1964)



1.2 La latérite au Sénégal

Les matériaux dits latéritiques sont pratiquement présents sur toute l'étendue du territoire sénégalais (environ 2/3 de la superficie totale du pays) et ceci peut se justifier déjà par le climat tropical à deux saisons.

Les géologues et spécialistes du génie minier parlent de ces matériaux sous l'appellation 'cuirasses ferrugineuses' ce qui peut se comprendre aisément dans la mesure où, c'est l'altération ferrugineuse qui a lieu dans les zones à longue saison sèche ; si cause des températures élevées la forte évaporation de cette saison accentue le processus de dessication et favorise ainsi la cimentation par les sesquioxydes des particules de sols en éléments plus grossiers.

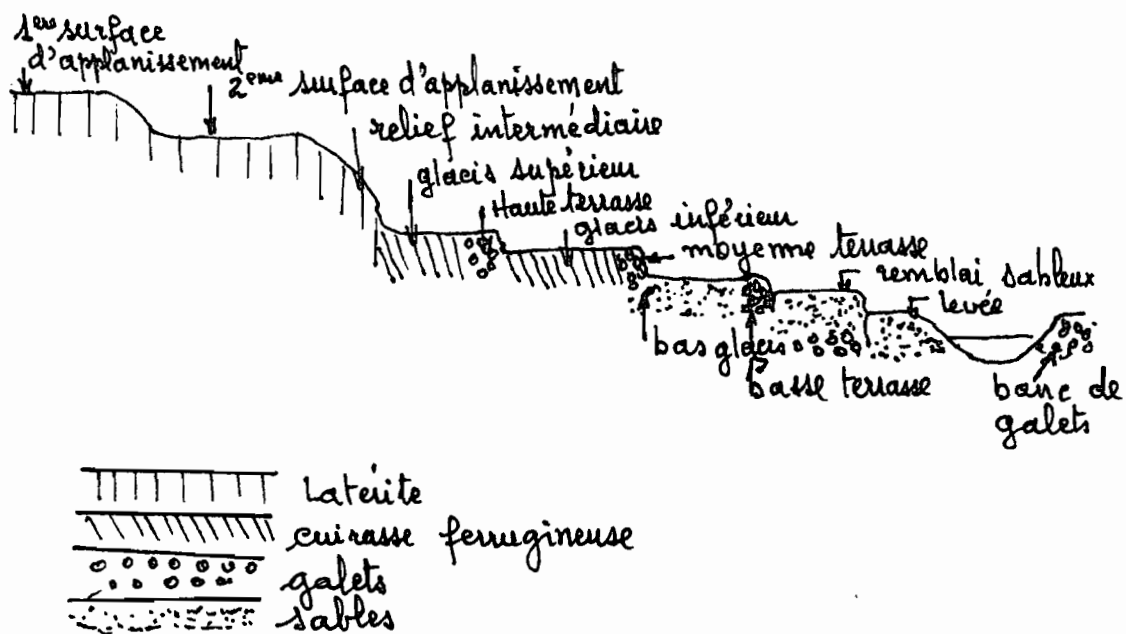
Les formations latéritiques soumises à une telle transformation tendent à devenir de plus en plus compactes : c'est le phénomène de cuirassement.

Au Sénégal nous distinguons trois zones d'affleurement de cuirasses latéritiques

a) Le Sénégal oriental et la haute et moyenne vallée.

Les affleurements consistent en surfaces d'apparition présentées de part et d'autre à des altitudes entre 150 et 500m. Ces surfaces cuirassées et dépôts en terrasse ont fait l'objet d'une étude retracant l'évolution géomorphologique des hauts bassins du Sénégal et de

la Gambie dont le schéma est le suivant.



b) Les cuirasses ferrugineuses du continental terminal leur formation marque la fin du tertiaire ou les retrouve sur une bande d'orientation Nord - Sud passant par le centre du pays et joignant la steppe du Febo au Nord de la forêt Casamangaise. La puissance des cuirasses ferrugineuses est, en général, supérieure à 2 mètres. Les différents niveaux peuvent se présenter sous des facies assez variés aussi bien d'un niveau à l'autre que dans le même niveau. La structure peut être caverneuse, alvéolaire ou modulair, scoriacée, gravillonnaire, conglomératique, compacte ou meuble, gréseuse. La présence de certaines cavités dans la cuirasse s'explique par le fait qu'elle peut contenir des inclusions de grès argileux tendres dans lesquels

elle s'est formée, ces inclusions s'enlèvent souvent; laissant sur place des cavités.

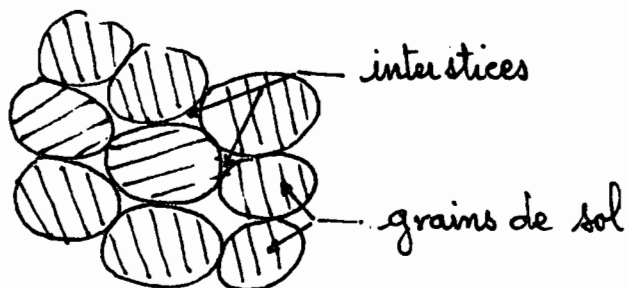
c) Sur le plateau de Thiès et le massif de Ndiass où les cuirasses affleurent et leur puissance est importante plus que partout ailleurs (5 à 6 mètres d'épaisseur).

La structure de cette cuirasse peut être spongieuse conglomératique ou bréchique à éléments de quartz plus anguleux pouvant former un grès ferrugineux. En surface cette cuirasse peut être gravillonnaire avec une matrice sablo-argileuse ou compacte.

Sur le plateau Thiès la cuirasse ferrugineuse recouvre un niveau induré antérieur appelé "latérite phosphate"; c'est une cuirasse ligature, de teintes plus claires que la cuirasse ferrugineuse; l'épaisseur de cette cuirasse est en moyenne 10 mètres et peut atteindre 20 mètres par endroits.

2.1 Physique de l'écoulement en milieu poreux

Un matériau ; qu'il soit de l'argile , du sable , de la moraine ou de la latérite n'est pas tout à fait compacte à cause de la géométrie irrégulière des particules , en d'autres termes la phase solide des sols ne permet qu'en assemblage poreux dans lequel les particules ne se touchent qu'en points ou petites surfaces isolées et laissent une communication libre entre les interstices .



Structure schématique d'un sol

Considérons maintenant un écoulement d'eau qui rencontre un certain sol sur son passage . L'eau va filtrer dans la structure granulaire avec comme chemin préférant les interstices . Le phénomène qui se manifeste avec des intensités différentes suivant le type de sol considéré caractérise la perméabilité des sols .

Le problème consiste à trouver un modèle mathématique pour évaluer le mouvement d'une phase liquide dans le labyrinthe des interstices communicants ,

pour y parvenir on doit alors prendre en considération la compressibilité des phases, les forces d'attraction et de répulsion entre les phases, la viscosité du liquide, les dimensions, formes et distribution des interstices etc...

En mécanique des sols conventionnelle on s'en est tenu à considérer le sol comme une boîte noire "black box", en ce qui concerne la perméabilité; on peut mesurer ce qui entre et ce qui sort mais on ignore ce qui se passe à l'intérieur; ce qui fait que la méthode analytique envisagée est sujette jusqu'à présent à des difficultés pratiquement insurmontables.

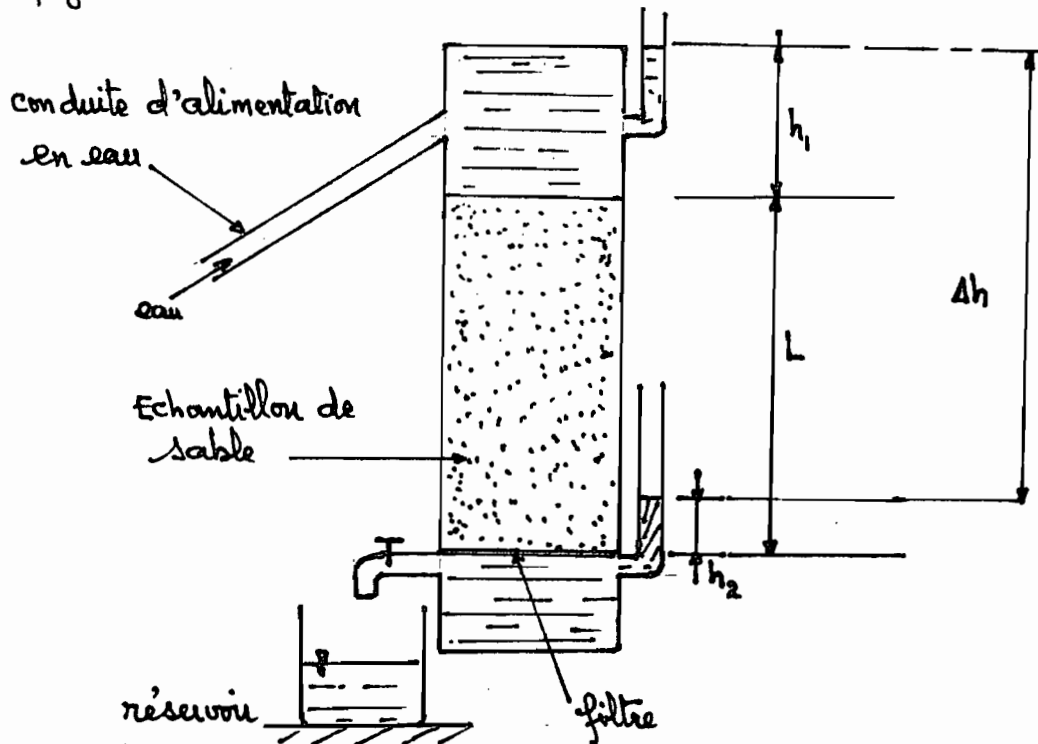
Pour connaître le mécanisme de l'écoulement de l'eau dans le sol il faut nécessairement connaître l'aspect physique du système; c'est dans ce cadre là que se situent les travaux du savant français Henry DARCY qui réalisa les premières expériences intéressantes en matière de filtration à partir de 1854 dans la cour de l'hôpital de Dijon. Son expérience portait sur l'écoulement vertical au travers d'un échantillon de sable saturé d'eau.

2.1.1 La loi de Darcy

Considérons l'expérience originale de Darcy. un échantillon de sable de Saône placé dans un cylindre de 35 cm de diamètre et de 2.5 m de hauteur et on fait passer à travers le système un écoulement d'eau sous pression.

Schéma du dispositif expérimental de Darcy

figure 21



Le résultat publié par Darcy en 1856 est que le débit par unité d'aire est proportionnel à la perte de charge et inversement proportionnel à la hauteur de l'échantillon.

Donc d'après Darcy le volume V qui s'écoule à travers l'échantillon durant un temps t peut être exprimé par l'équation suivante :

$$V = k A (h_1 + L - h_2) t / L$$

$$V = \frac{k A \Delta h t}{L}$$

k coefficient de proportionnalité

A l'aire du cylindre
 Δh la différence de charges

L hauteur de l'échantillon de sable.

Soit Q le débit mesuré

$$Q = \frac{V}{t} = k \frac{A \Delta h t}{L t}$$

$$Q = k \frac{A \Delta h}{L}$$

Si on pose

$i = \frac{\Delta h}{L}$, i est appelé gradient hydraulique il représente le changement de charge hydraulique par unité de longueur

on a alors

$$Q = k i A \quad (1)$$

Soit v la vitesse de décharge

$$v = \frac{Q}{A}$$

l'équation (1) devient alors

$$v = k i \quad (2)$$

C'est cette dernière relation qui exprime maintenant la loi de Darcy ; elle est la base de tous les calculs d'hydraulique souterraine.

La vitesse de décharge v est ce que Darcy appelleait le débit par unité d'eau. Cette quantité a la dimension d'une vitesse, mais en réalité c'est une vitesse fictive puisque l'eau ne remplit pas complètement la conduite par suite de la présence de l'échantillon.

Les trajectoires réelles dans le cylindre sont tortueuses ; mais du point de vue macroscopique

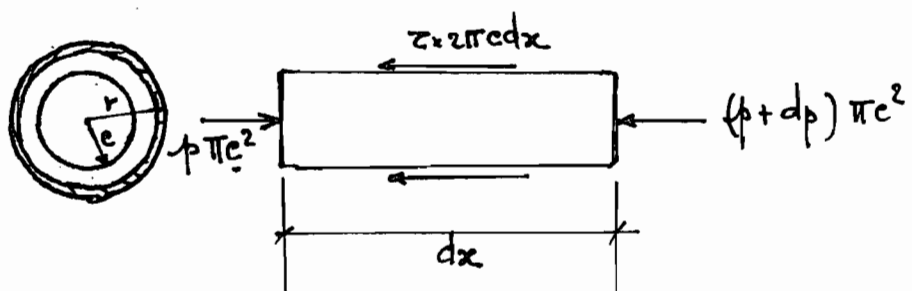
on peut supposer que les filets liquides sont rectilignes et parallèles à l'axe du cylindre.

2.1.2 La conductivité hydraulique ou coefficient de perméabilité

Le coefficient de proportionnalité utilisé dans les équations (1) et (2) est appelé communément conductivité hydraulique ou coefficient de perméabilité, il exprime l'interaction qui existe entre le fluide et son milieu. La meilleure façon d'obtenir une interprétation physique de ce coefficient est d'établir une comparaison avec un écoulement laminaire visqueux dans une conduite.

2.1.3 L'équation de HAGEN - POISEUILLE

Cette équation décrit l'écoulement laminaire à travers des capillaires.



Considérons l'équilibre de l'élément de longueur dx et de rayon c ; on a :

$$\begin{aligned}\sum F_x = 0 &= -p\pi c^2 - (p+dp)\pi c^2 - \tau 2\pi c dx \\ &\quad - \pi c^2 dp - 2\tau c dx = 0.\end{aligned}$$

$$cdp = 2\tau dx$$

$$\text{on a } \tau = \mu \frac{dv}{dx}$$

avec p = pression

τ = force de cisaillement

μ = viscosité dynamique

$\frac{dv}{dx}$ = gradient de vitesse

$$\text{donc } cdp = 2\mu \frac{dv}{dx} dx$$

En intégrant entre deux points distants de L , lesquels sont à des pressions p_1 et p_2 on obtient :

$$\int_{p_1}^{p_2} cdp = \int_0^L 2\mu \frac{dv}{dx} dx$$

$$-c(p_2 - p_1) = 2\mu \frac{dv}{dx} L \quad (1)$$

Pour tout point situé à une distance c du centre de la conduite on peut connaître la vitesse v_c .
Soit v_0 la vitesse au centre.

de l'équation (1) on a

$$-c(p_2 - p_1)dc = -2\mu L dv$$

$$\int_0^c -c(p_1 - p_2)dc = - \int_{v_0}^{v_c} 2\mu L dv$$

$$\frac{c^2}{2} (p_1 - p_2) = -2\mu L (v_c - v_0)$$

ou bien

$$\frac{c^2}{2} (p_1 - p_2) = 2\mu L (v_0 - v_c) \quad (2)$$

à la limite si $c = r$ $v_c = 0$ (condition de non glissement à la paroi).

donc on a

$$\frac{\pi^2}{2} (p_1 - p_2) = 2\mu L (V_0 - 0)$$

$$\text{d'où } V_0 = \frac{\pi^2}{4\mu L} (p_1 - p_2) \quad (3)$$

En remplaçant V_0 par sa valeur dans (2)
on obtient :

$$V_c = \frac{(p_1 - p_2)(r^2 - c^2)}{4\mu L}$$

à l'équation (2) la vitesse varie en fonction du
caré de la distance par rapport au centre de la conduite,
la distribution de la vitesse est donc parabolique.

Dans ce type de distribution la vitesse moyenne est
égale à $V_0/2$

$$\text{d'où } V = \frac{\pi^2}{8\mu L} \frac{p_1 - p_2}{L} \quad (4) \quad V = \text{vitesse moyenne}$$

On sait que $p = \rho gh$

$$\text{alors } V = \frac{\pi^2}{8\mu L} \rho g \frac{(h_1 - h_2)}{L}$$

soit d le diamètre de la conduite

$$V = \frac{d^2}{32\mu} \rho g \frac{\Delta h}{L}$$

$$V = \frac{d^2}{32\mu} \rho g i \quad (5)$$

En faisant l'analogie avec l'équation de Darcy

$$\text{on a } V = ki = \frac{d^2}{32\mu} \rho g i$$

$$\text{d'où } k = \frac{\rho g d^2}{32\mu}$$

Cette dernière relation qui donne une interprétation physique du coefficient de perméabilité est connue sous le nom de équation de Hagen - Poiseuille.

2.2. Méthodes de détermination du coefficient k .

2.2.1 Méthodes de laboratoire

a) Essai à charge constante

Cet essai est celui utilisé dans les expériences menées sur la latérite ; les détails seront donnés au chapitre suivant.

b) Essai à charge variable

L'essai est réalisé dans un moule fermé aux deux extrémités. L'extrémité inférieure est reliée à un tube gradué de un mètre de hauteur et de section variable suivant le sol à analyser et à un réservoir d'eau. L'extrémité supérieure comporte un ajutage qui sert à l'évacuation de l'eau qui traverse l'échantillon protégé de part et d'autre par une pierre poreuse. On commence par amener l'échantillon à la saturation ; il est à noter que la durée de cette opération dépend du type de sol à analyser. A la saturation le moule est plein d'eau et on le relie uniquement au tube gradué (en fermant le robinet (2)). On doit mesurer le temps τ qui s'écoule pour que le niveau de l'eau descende

de h_1 à h_2

19

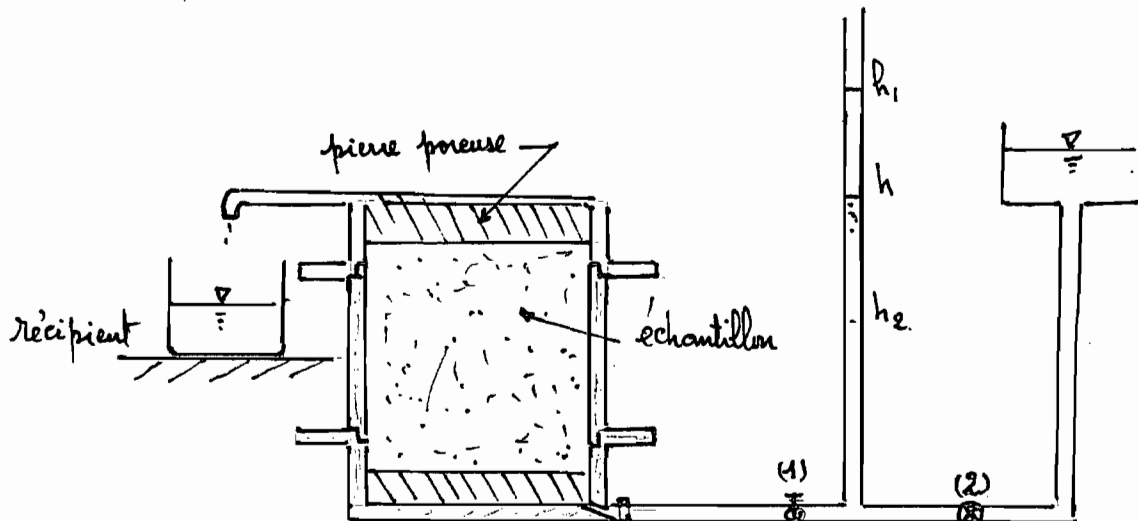


figure 2.2 schéma du montage

Les altitudes sont mesurées par rapport au niveau de l'eau dans l'ayutage. On est dans le cas d'un écoulement unidimensionnel, mais le régime n'est pas permanent. Pour appliquer la loi de Darcy, on considère que le régime est permanent à chaque intervalle de temps élémentaire $[t, t+dt]$.

Soit A la section de l'échantillon ; soient l la longueur et a la section du tube gradué. L'eau dans le tube est au niveau h à l'instant t , la perte de charge à la traversée de l'échantillon est donc égale à h .

$$\text{d'où } i = h/l$$

Soit q le débit mesuré

$$q = k i A = k \frac{h}{l} A$$

Le volume qui sort de l'échantillon est égal à la diminution de volume du tube ; soit $-adh$ on peut donc écrire que

$$q dt = k \frac{h}{l} A dt = -ad h$$

$$k dt = -a \frac{l}{A} \frac{dh}{h}$$

En intégrant entre h_1 et h_2 sur la durée T

on a $\int_0^T k dt = \int_{h_1}^{h_2} \left(-a \frac{l}{A} \frac{dh}{h} \right)$

$$k T = -\frac{al}{A} \log \frac{h_2}{h_1}$$

En passant au logarithme décimal on a.

$$k T = -2.3 \frac{al}{A} \log \frac{h_2}{h_1}$$

d'où

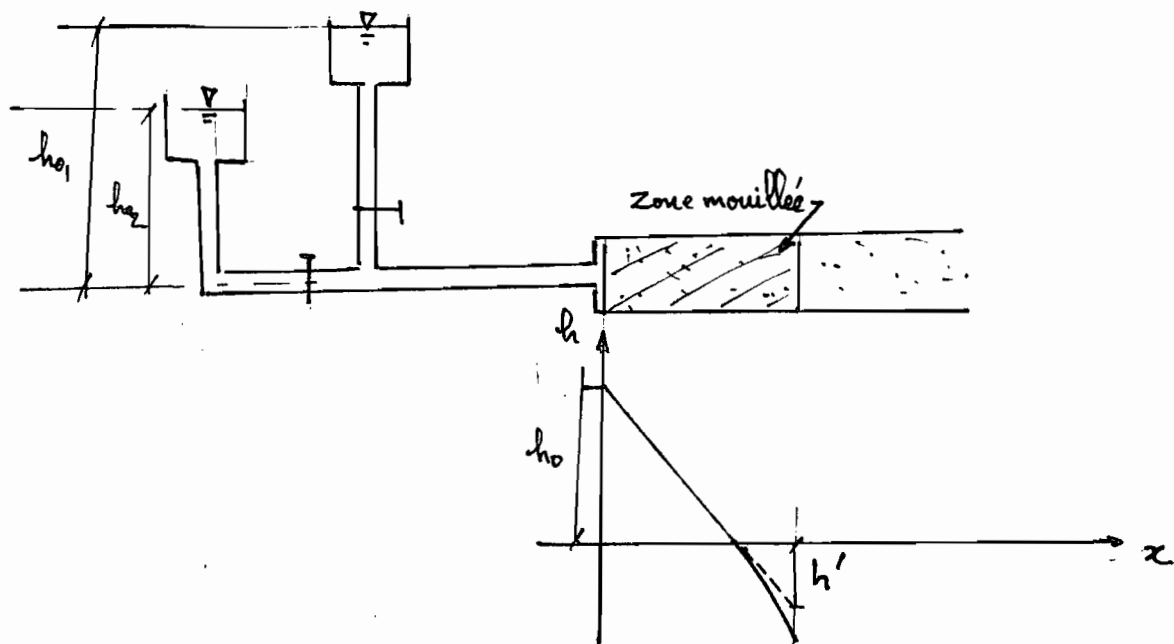
$$k = 2.3 \frac{a}{A} \frac{l}{T} \log \frac{h_1}{h_2}$$

c) Essai de capillarité

Cet essai est utilisé pour évaluer la variation du coefficient de perméabilité avec le degré de saturation. Pour un sol donné le coefficient de perméabilité est compris entre le coefficient de perméabilité au degré de saturation capillaire k_c et le coefficient de perméabilité à la saturation totale. $k_c \leq k \leq k_s$

L'essai de capillarité consiste à évaluer k à un degré de saturation donné s .

figure 2.3 Schéma du montage



Soit A la section du tube contenant l'échantillon.

Il existe une zone de succion capillaire à la fin de la partie avant de la zone mouillée. Le diagramme de distribution des pressions dans la zone mouillée s'établit comme indiqué ci-dessus.

$$\text{on a donc } i = (h_0 + h') / x$$

Le débit dans la partie mouillée est approximativement

$$q = k_e i A = \frac{k_e (h_0 + h')}{x} A \quad (1)$$

Soit A' la surface totale de la section des vides $A' = s_n A$ s_n étant la porosité du sol.

Le débit q peut être évalué de la manière suivante $q = n A' = \frac{dx}{dt} s_n A$. (2)

En faisant l'égalité entre (1) et (2) on obtient la relation $x \frac{dx}{dt} = \frac{k_e}{s_n} (h_0 + h')$

22

en écrivant cela sous forme différentielle.

$$\text{on a } \frac{1}{2} \frac{d(x^2)}{dt} = \frac{k_e}{s_n} (h_0 + h')$$

où

$$\frac{\Delta(x^2)}{\Delta t} = \frac{2k_e}{s_n} (h_0 + h')$$

Cette équation contient deux inconnues h' et k_e . La solution s'obtient en faisant l'essai sous une charge h_0 , et ensuite sous une charge h_{02} (voir schéma du montage).

2.2.2 Les méthodes indirectes

Pour méthodes indirectes on entend les méthodes qui ne sont pas destinées à déterminer en tant que tel le coefficient de perméabilité ; mais ont pour objet l'étude de la filtration de l'eau dans le sol basée sur la Darcy et dont les équations contiennent le coefficient de perméabilité. Parmi ces essais il y a les essais de pompage et principalement les essais de consolidation en œdémie et en cellule triaxiale.

L'utilité de l'œdémie dans ce domaine est qu'il permet d'étudier la corrélation entre le coefficient k_e et l'indice des vides e .

Le but de cette étude n'est pas de donner ici la théorie de la consolidation ; toutefois pour évaluer le coefficient k_e il faut d'abord déterminer le coefficient de consolidation c_v et

l'indice de compression C_e . Dans ces conditions
on a :

$$k = \frac{0.435 C_e C_v \gamma_e}{P(1+\ell)}$$

P charge appliquée

ℓ indice des vides

γ_e poids volumique de l'eau.

2.2.3 Les méthodes de chantier

Comme en laboratoire on a deux types d'essais
l'essai à pression constante et l'essai à pression
variable. La théorie est essentiellement la même mais
ici il s'agira de modifier les formules en y intro-
duisant un facteur qui tient compte de la géométrie
du système.

a) Essai à pression constante

L'équation de base est la suivante

$$k = \frac{q}{Fh}$$

h. charge hydraulique
q débit constant
F facteur de géométrie

b) Essai à pression variable

L'équation de base est la suivante.

$$k = \frac{2.3 a}{F(t_1 - t_0)} \log \frac{h_0}{h_1}$$

$$a = \frac{\pi d^2}{4} \quad d \text{ diamètre intérieur du tube.}$$

F facteur de forme

t_0 temps initial

t_1 temps final

Les formules modifiées correspondant aux six (6) cas de mesures de perméabilité en chantier sont présentées en annexe 2

2.2.4 Détermination de la perméabilité par calcul

Plusieurs grands savants de la mécanique des sols ont étudié la perméabilité et ont mis sur pied des formules plus ou moins empiriques, ces formules donnent une signification physique de la perméabilité mais leur application doit se faire avec prudence car les résultats obtenus sont généralement dispersés et peu concordants.

a) Equation de KOZENY - CARMAN

$$k = \frac{\tau F n^3}{(1-n)^2 \tau^2 s^2 \mu}$$

b) Equation de Lambe et Taylor

$$k = \frac{D_s^2 e^3 c \tau}{\mu(1+e)}$$

c) Equation de Casagrande

$$k = \frac{\gamma_a i}{16 \mu \pi c_2^3} \times \frac{2 e}{(1+e)}^{2(1+\beta)}$$

d) Formule de Hazen

À la suite de l'étude de l'influence de la taille des grains sur la perméabilité en 1895 HAZEN

proposa la formule empirique suivante :

$$k = 100 d_{10}^2$$

e) Formule de Casagrande

En étudiant l'influence de la porosité ce dernier a trouvé la formule suivante

$$k = 1.4 k_{0.85} e^2$$

f) Formule de TERZAGHI

$$k = \frac{c}{\gamma} \frac{(n - 0.13)^2}{\sqrt{1-n}} \cdot d_{10}^2$$

Les différents paramètres utilisés dans les équations et formules précédentes ont pour signification :

q : débit par une section droite.

A : section droite du milieu.

i : gradient hydraulique.

a : projection perpendiculaire à la direction apparente d'écoulement de la section moyenne d'un canal tortueux représentatif.

γ : poids unitaire du fluide

μ : viscosité dynamique du fluide.

$c_2 = c_1 e^\beta$; $0 < \beta < 0.5$, coefficient propre au milieu.

C_t et T : indice de tortuosité = longueur réelle divisée par la longueur apparente, souvent prise comme $\sqrt{2}$.

D_g : diamètre moyen des grains.

n : porosité $n = e / (1+e)$

26

F : facteur de forme $0.33 < F < 0.56$

S : surface mouillée par unité de volume.

d_{10} : diamètre efficace en cm.

$k_{0.85}$: coefficient de perméabilité lorsque $\epsilon = 0.85$

γ : viscosité cinématique du fluide.

c : coefficient qui dépend de l'uniformité de la granulométrie et la forme des grains.

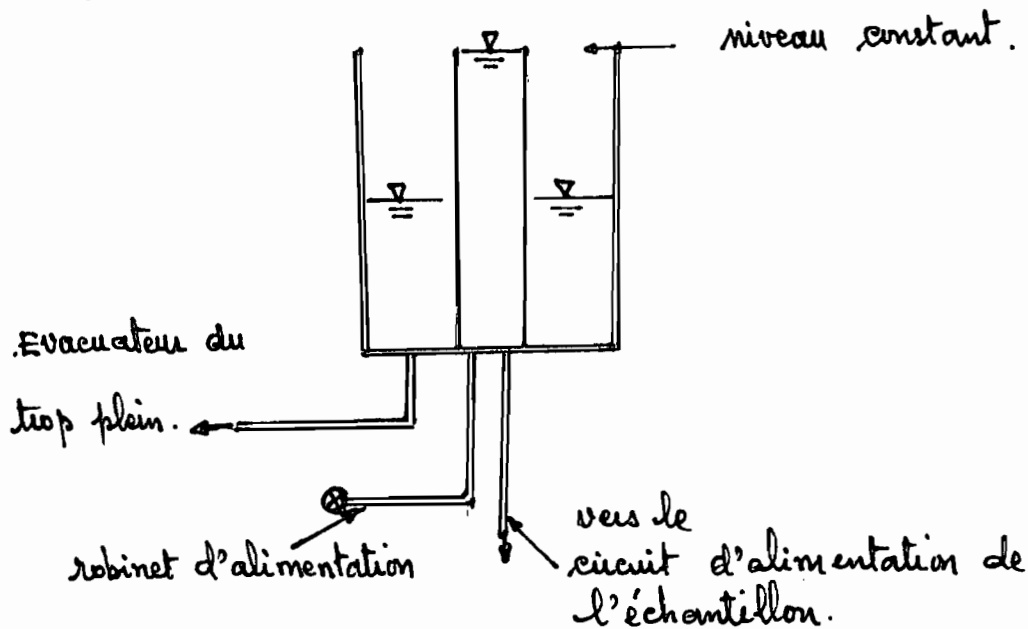
3-1 Le dispositif expérimental

Le montage est un perméamètre à charge constante destiné à mesurer la perméabilité de matériaux grossiers (voir Schéma fig 3-4)

Le perméamètre de marque canadienne (ROCTEST) comprend trois grandes parties :

- La partie supérieure constituée de deux récipients cylindriques interconnectés, l'un servant à maintenir le niveau de l'eau constant et l'autre permettant de récupérer le trop plein et l'évacuer en dehors du circuit d'alimentation de l'échantillon

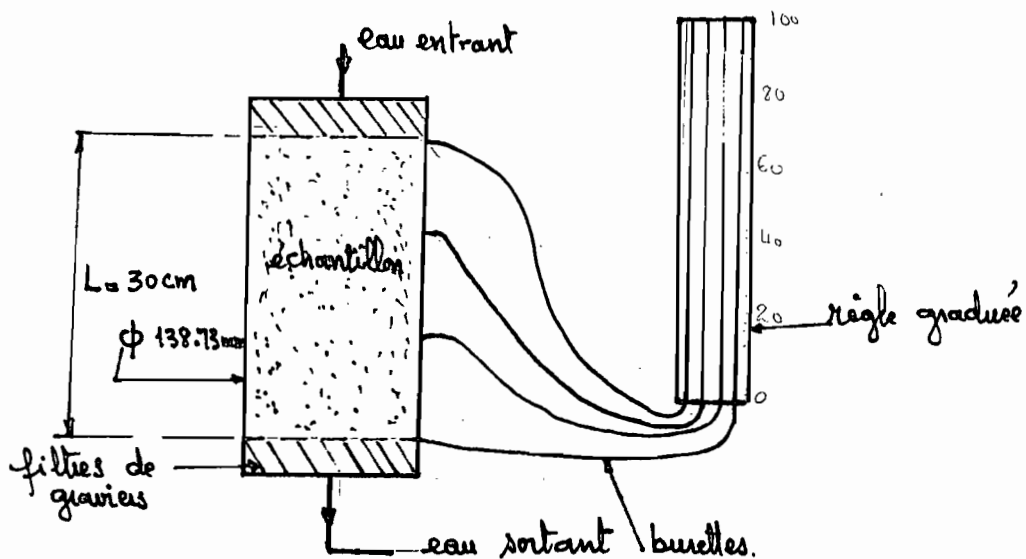
figuré 3-1 Schéma de la partie supérieure



- La partie centrale est composée de la cellule renfermant l'échantillon à laquelle sont connectées quatre burettes montées sur une règle graduée de un mètre

de longueur et qui permettent de mesurer les pressions à différents niveaux de l'échantillon.

figue 3.2 schéma de la partie centrale



La partie inférieure est comme la partie supérieure composée de deux récipients ; l'un maintenant la charge constante au niveau zéro (0) de la rigole graduée, l'autre permettant de collecter l'eau destinée à mesurer le débit traversant l'échantillon.

fige 3.3 schéma de la partie inférieure

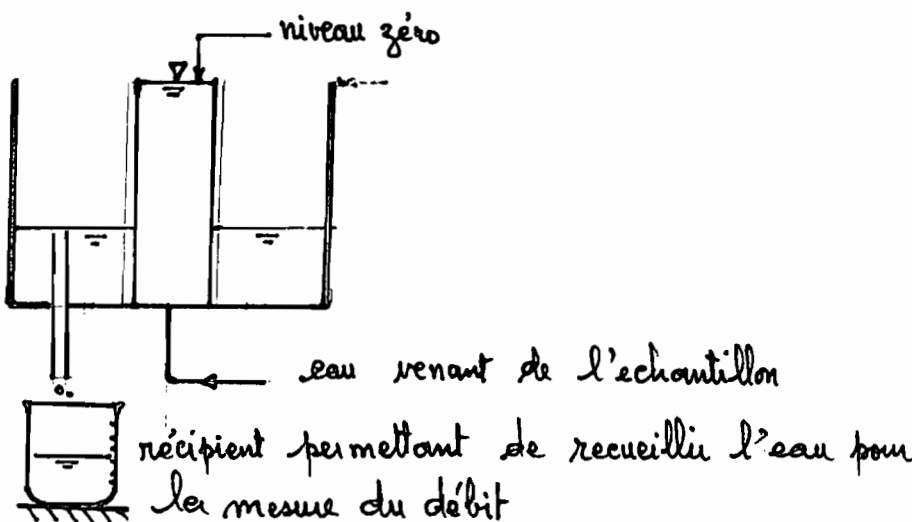
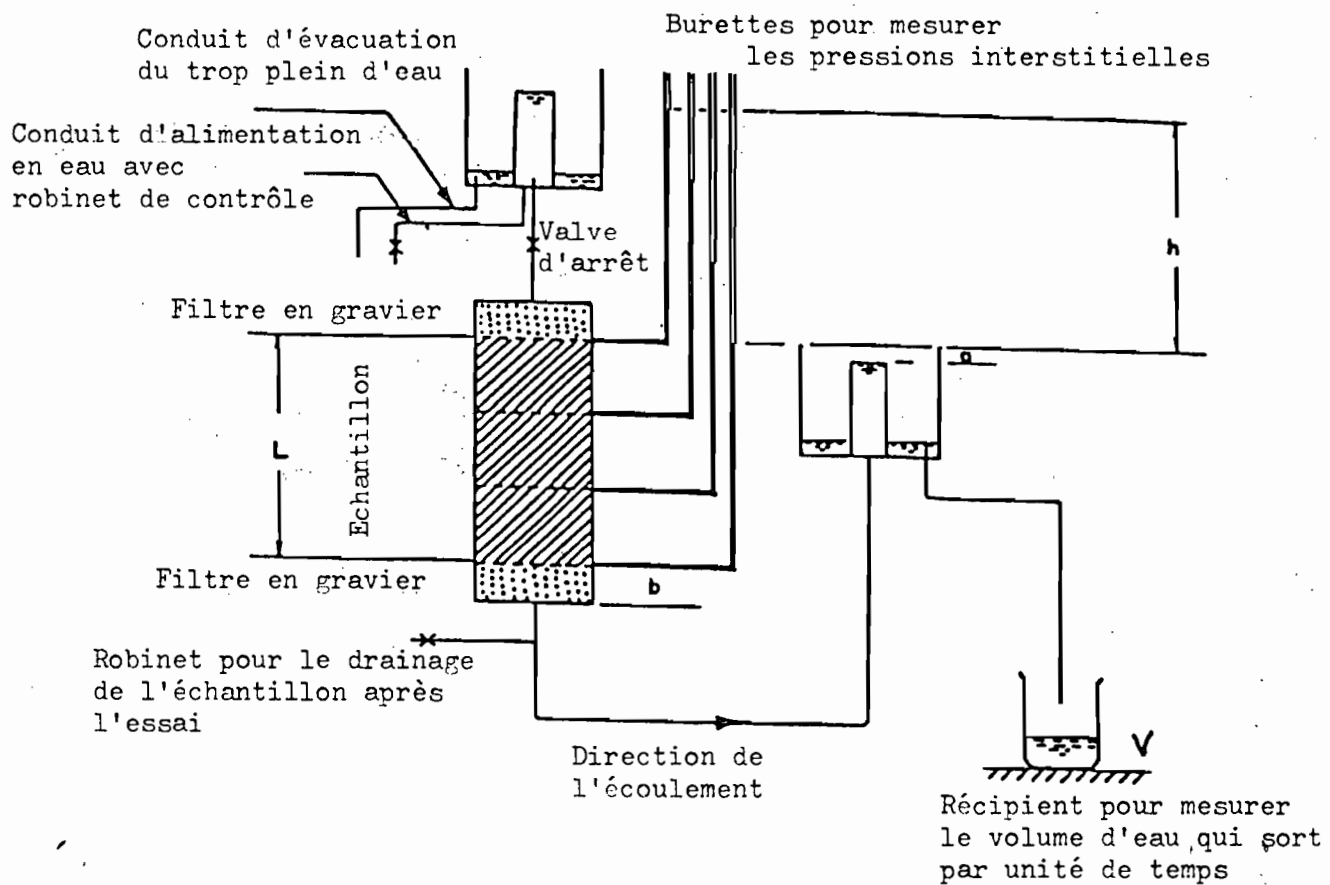


Figure 3 - 4 C R O Q U I S

D U P E R M E A M E T R E



Les trois parties décrites précédemment forment ensemble le permamètre (voir figure 3.4)

3.2 Principe de fonctionnement

L'eau quitte le robinet d'alimentation pour remplir le récipient supérieur jusqu'au niveau 100 ; le trop plein est évacué hors du circuit. À partir de cette charge maintenue constante l'eau s'infiltre à travers l'échantillon, durant son passage les bouteilles prévues à cette fin mesurent les dépressions de part et d'autre de l'échantillon. À la sortie de l'échantillon l'eau continue son chemin et remplit le récipient du bas jusqu'au niveau 0, le trop plein est utilisé pour mesurer le volume V qui traverse l'échantillon pendant un temps t .

Pour déterminer le coefficient k on applique la loi de DARCY $v = k i$ v est la vitesse de décharge.
Soit Q le débit enregistré

$$Q = v A \quad A \text{ est la section de la cellule.}$$

$$Q = k i A$$

$$\text{ou } k = \frac{Q}{i A} = \frac{Q L}{h A}$$

Soit V le volume recueilli pendant un intervalle de temps t , on a :

$$Q = \frac{V}{t} \quad \text{ce qui donne finalement}$$

$$k_T = \frac{V L}{h A t}$$

k_T est le coefficient de perméabilité à la température T

La valeur du coefficient de perméabilité est souvent donnée pour la température normalisée de 20°C (ce qui est le cas dans nos mesures). Le coefficient de perméabilité est donné par la relation.

$$k = k_T \frac{\eta_T}{\eta_{20}}$$

η_T et η_{20} sont les viscosités de l'eau à la température T et à 20°C.

Les valeurs de η_T/η_{20} sont regroupées dans un tableau en annexe en fonction de la température de l'eau enregistrée pendant l'expérience. (annexe A 3-1)

3.3. Etalonnage et évaluation des pertes de charge

Le but de cette partie est d'apporter des corrections aux mesures, car il faut distinguer la perte de charge créée par la présence de l'échantillon et les pertes de charge dues au frottement de l'eau sur les parois de la cellules et des conduites du perméamètre.

Pour ce faire nous réalisons des mesures de dénivellation à vide, c'est-à-dire on fait circuler l'eau dans le système sans la présence de l'échantillon.

Selon Darcy les pertes de charge dans les conduites sont exprimées par l'équation

$$h = f \frac{L}{D} \frac{V^2}{2g}$$

f est un coefficient de frottement, L et D les dimensions de la conduite et V la vitesse du fluide.

32

En faisant intervenir le débit Q et la section A de la conduite on a $h = \frac{f L}{2D A^2 g} \times Q^2$
 $h = c Q^2$ c étant une constante. Pour trouver la corrélation qui existe entre le débit et la perte de charge il faut tracer la courbe $h = f(Q^2)$.

Le tableau . A 3-2 . donne les pertes de charge en fonction du débit calculé. Par soucis de précision nous avons pesé la quantité d'eau recueillie pour un temps t et avec des corrections de la masse volumique en fonction de la température nous déterminons le volume d'où le débit. La mesure de h est une simple lecture sur les échelles de la dénivellation qui existe entre la première et la dernière prise.

Exemple de calcul 1^{er} ligne du tableau . A 3-2

$$P = 351.43 \text{ g}$$

température 27°C

$$\rho_{27} = 996.51 \times 10^{-3} \text{ g/cm}^3$$

$$t = 18.24 \text{ secondes.}$$

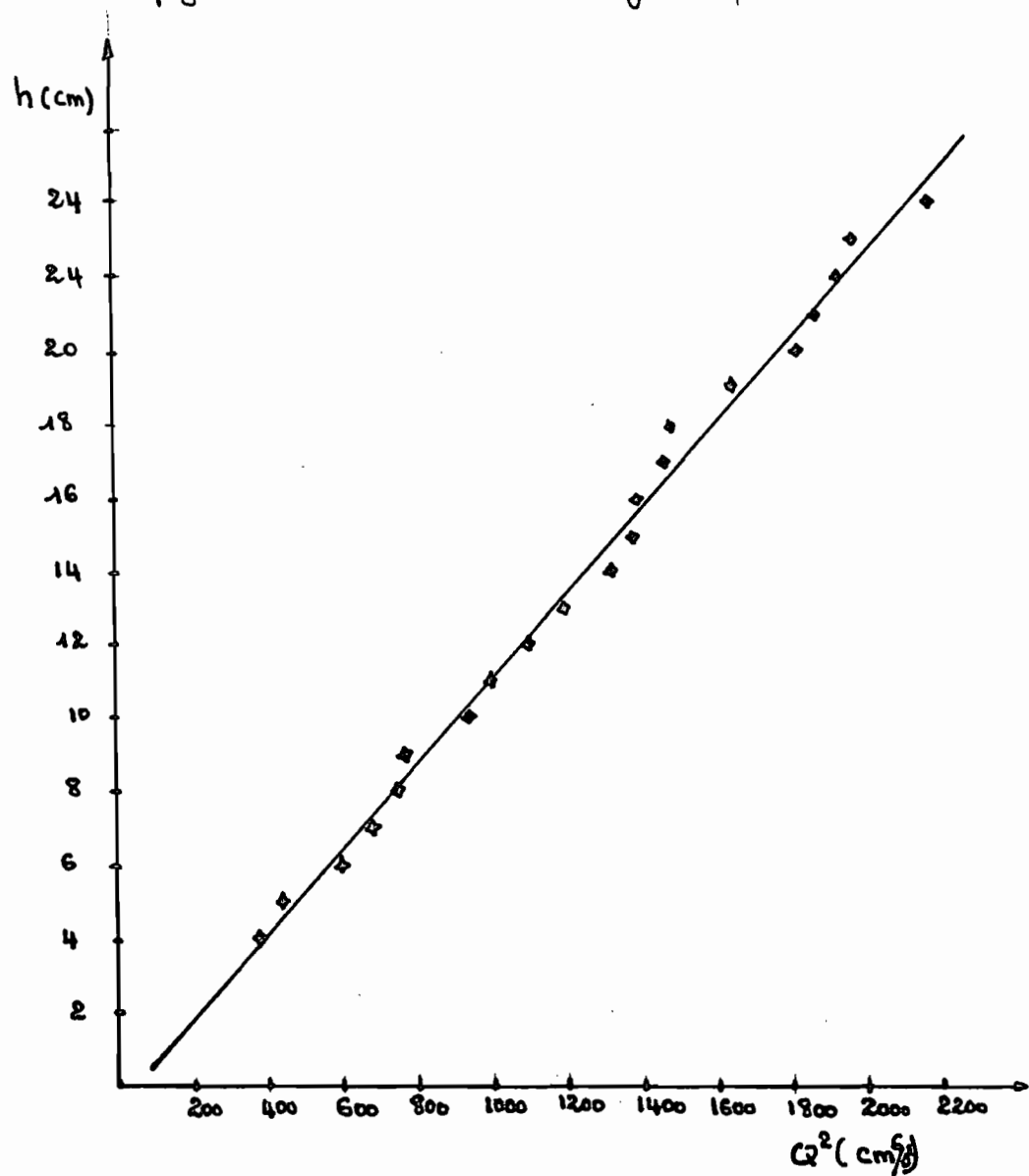
Soit V le volume recueilli

$$V = \frac{P}{\rho}$$

$$\text{d'où le débit } Q = \frac{V}{t} = \frac{P}{\rho t}$$

$$Q = \frac{351.43}{996.51 \times 10^{-3} \times 18.24} = 19.33 \text{ cm}^3/\text{sec}$$

Figure 3.5 Courbe d'étalonnage du permamètre



La droite moyenne est obtenue par la méthode des moindres carrés ; son équation est la suivante :

$$h = 0.012 Q^2 - 0.495$$

Remarque. Nous utilisons la courbe d'étalonnage pour amener des corrections aux mesures de h si le débit d'essai n'est pas trop éloigné des débits d'étalonnage, dans le cas contraire nous évitons le danger d'extrapoler trop loin de la droite.

3-4 Mesures proprement dites

3.4.1 . Choix des filtres

Le perméamètre n'étant pas muni de pierres poreuses, il faut donc trouver un dispositif analogue qui doit jouer le rôle de barrière aux bulles d'air et en même temps transmettre la pression appliquée au matériau. Le choix de ces pierres poreuses a donc été le point délicat de cet appareil, car il faut que leur perméabilité soit suffisamment grande par rapport à celle de la latérite pour ne pas fausser les mesures. Nous avons donc été amené à tester plusieurs graviers de grosseurs différentes ; finalement le choix a porté sur le passant 3/8 et retenue 4.

Le tableau qui suit et la perméabilité qui en découlent justifient le choix des filtres

Remarque : Il est aussi à noter que le choix de la granulométrie du matériau filtre doit se faire de telle sorte qu'il n'y ait pas de migration de particules entre celui-ci et la latérite.

tableau 3.1 perméabilité des filtres

Temps (sec)	Volume (cm^3)	Température ($^\circ\text{C}$)	h mesurée (cm)
36.84	700	27	4
36.82	-	-	-
36.86	-	-	-
36.81	-	-	-
37.02	-	-	-
36.79	-	-	-
37.20	-	-	-
36.85	-	-	-

Calculs

$$t_{\text{moy}} = 36.90 \text{ sec}$$

$$Q_{\text{moy}} = \frac{700}{36.90} = 18.97 \text{ cm}^3/\text{sec}$$

soit h' la correction à apporter : on utilise l'équation de la courbe d'étalonnage

$$h' = 0.012 (18.97)^2 - 0.495 = 3.8 \text{ cm}$$

$$h_{\text{corrige}} = 4 - 3.8 = 0.2 \text{ cm.}$$

$$k_{27} = \frac{Vt}{Aht} = \frac{700 \times 30}{151.158 \times 0.2 \times 36.9} = 18.82 \text{ cm/s.}$$

$$k_{20} = \frac{\gamma_{27}}{\gamma_{20}} k_{27} = 0.8502 \times 18.82 = \underline{\underline{16 \text{ cm/s}}}$$

Si on considère que la perméabilité de la latérite est de l'ordre de 10^2 cm/s , on voit que les filtres sont 1600 fois plus perméables que la latérite

36

Ce qui est acceptable comme choix.

3.4.2 Renseignements sur le sol utilisé dans les essais

Nature du sol : latérite composée de gravier sable avec traces de matières organiques.

Provenance : Thiès

Lieu géographique de l'étude : E.P.T.

Couleur naturelle : rouge

Etat d'échantillon : remanié

Méthode de conservation : conservé en tas

Couleur Munsell : rouge ref 2.5 YR 4/8

Teneur en eau : mesurée à chaque essai.

3.4.3 Procédure de mesure

Pour effectuer les essais de perméabilité sur la latérite la procédure suivante sera adoptée.

1. Choisir un tamis de référence
2. Prendre un échantillon significatif (environ 20 kg)
3. Faire une analyse granulométrique suivant la norme A.S.T.M.
4. Faire un essai de compactage suivant la norme A.S.T.M.
5. Pesar les filtres de graviers.
6. Prendre environ 10 kg de sol, mélanger avec de l'eau.
7. Installer le filtre du bas
8. Remplir le perméamètre jusqu'à la prise supérieure en compactant avec le compacter congru à cet effet.

9. Faire un prélèvement en vue de déterminer la teneur en eau
10. Bien niveler la surface de l'échantillon, installer le filtre supérieur et le couvercle.
11. Pesar l'ensemble
12. Faire le montage
13. Ouvrir le robinet d'alimentation et la valve d'entrée de l'eau dans l'échantillon et fermer la vanne de sortie
14. Laisser le système se saturer (environ 15 mn) et chasser les bulles d'air à l'aide des burettes de mesure de pression
15. Ouvrir la vanne de sortie pour mettre le système en marche.
16. Laisser l'écoulement se stabiliser : c'est-à-dire débit constant (environ 48 heures).
17. A l'aide d'un chronomètre et d'un récipient gradué mesurer le temps t pour remplir un volume V ; à chaque mesure prendre la température de l'eau.
18. Lire la dénivellation entre la première et la dernière prise.
19. Faire les calculs.

Remarques

Après chaque série de mesures on doit enlever l'échantillon et bien nettoyer le perméamètre pour éviter une cimentation de l'échantillon ce qui pourrait conduire à des difficultés d'enlèvement et même créer des dommages.

Les caractéristiques du perméamètre ont été déterminées avant le début des expériences.

- . Poids du perméamètre vide 17400g
- . distance entre les prises extrêmes 30cm
- . diamètre intérieur de la cellule 138.73 mm.

Pour effectuer les essais nous avons considéré la granulométrie initiale du sol tel que trouvé en place (passant tamis 1) à laquelle nous soustrayons les particules les plus grossières jusqu'à la limite mesurable du perméamètre qui est ici le passant tamis 4.

Dans le but d'augmenter les mesures pour avoir une bonne corrélation nous avons constitué un cinquième échantillon en mélangeant le passant 3/8 et le passant 4.
Les échantillons se répartissent comme suit :

- . échantillon 1 : passant tamis 1 (25mm)
- . échantillon 2 : passant tamis 1/2 (13mm)
- . échantillon 3 : passant tamis 3/8 (9.5mm)
- . échantillon 4 : passant tamis 4 (4.75mm)
- . échantillon 5 : mélange passant 3/8 et passant 4

Les mesures et calculs de perméabilité sont regroupés à l'annexe A

3.5 Interprétations des résultats obtenus

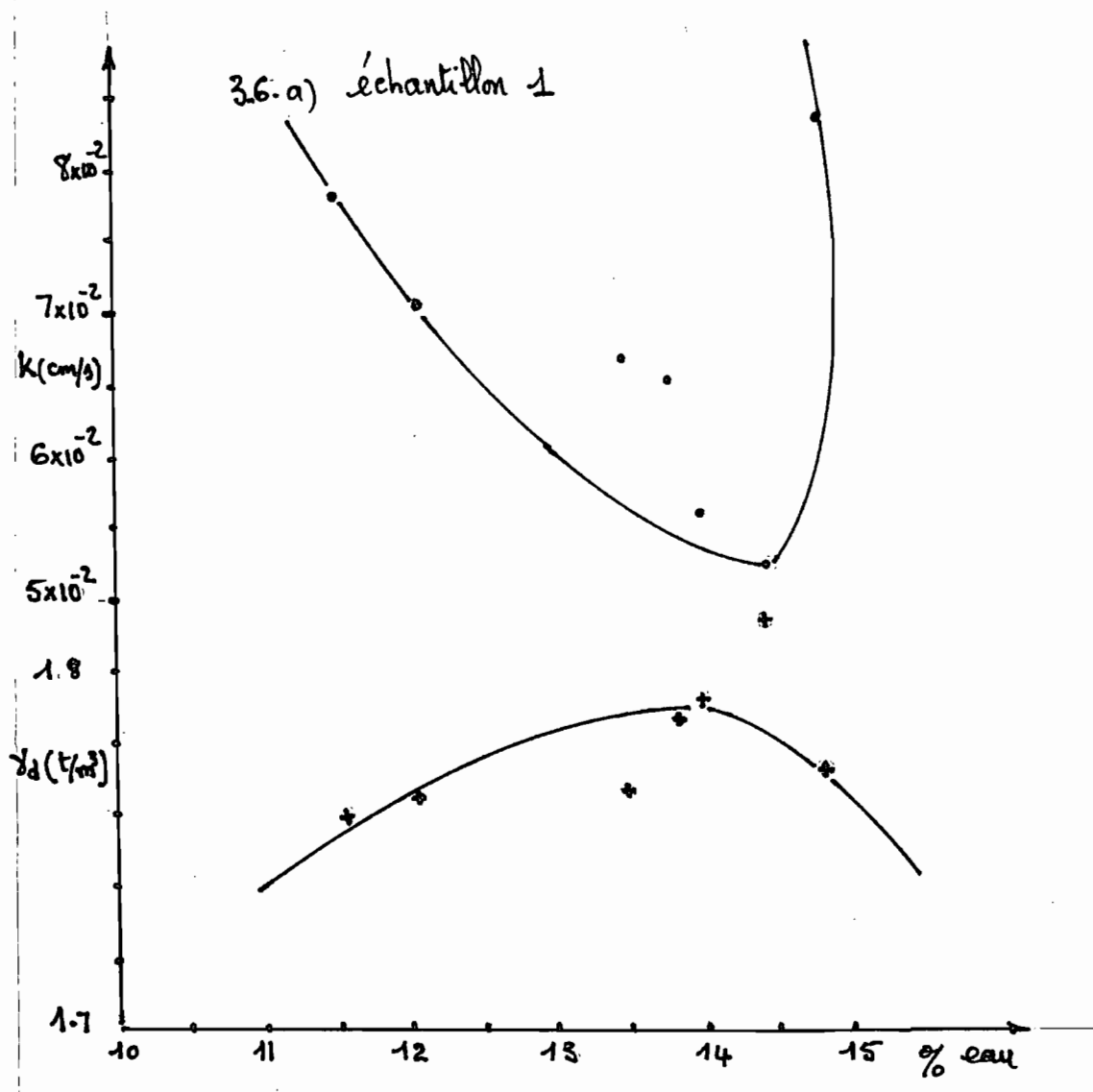
Tant donné que nous avons étudié la perméabilité des sols latéritiques en fonction de la granulométrie et du degré de compactage, il s'agit maintenant de voir

les influences de ces deux paramètres.

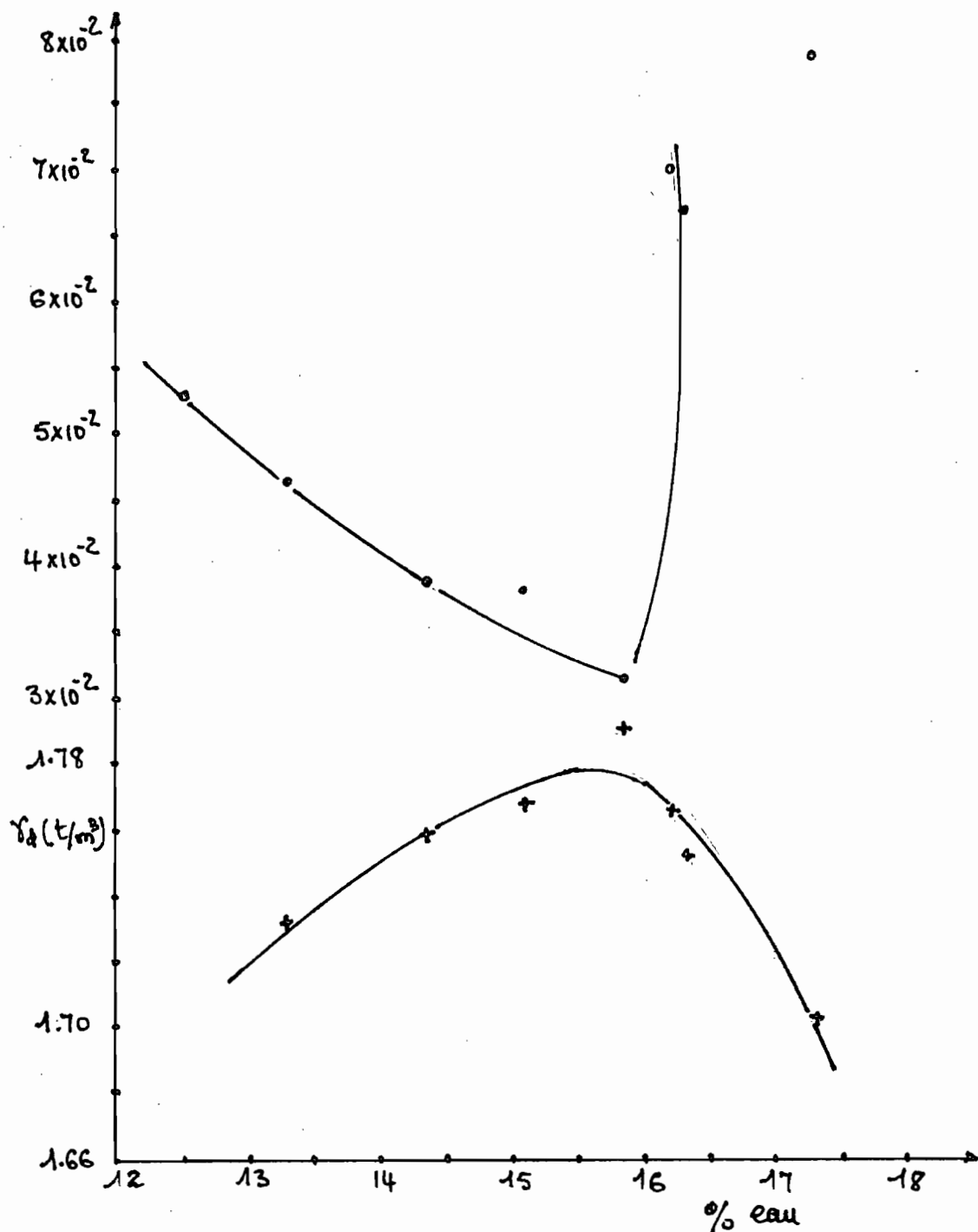
3.5.1 Influences du compactage sur la perméabilité

Pour bien visualiser les effets, représentons les courbes de variation de la densité sèche (γ_d) et du coefficient de perméabilité en fonction de la teneur en eau de moulage.

figure 3.6 Courbes de variation de γ_d et k en fonction de la teneur en eau de moulage

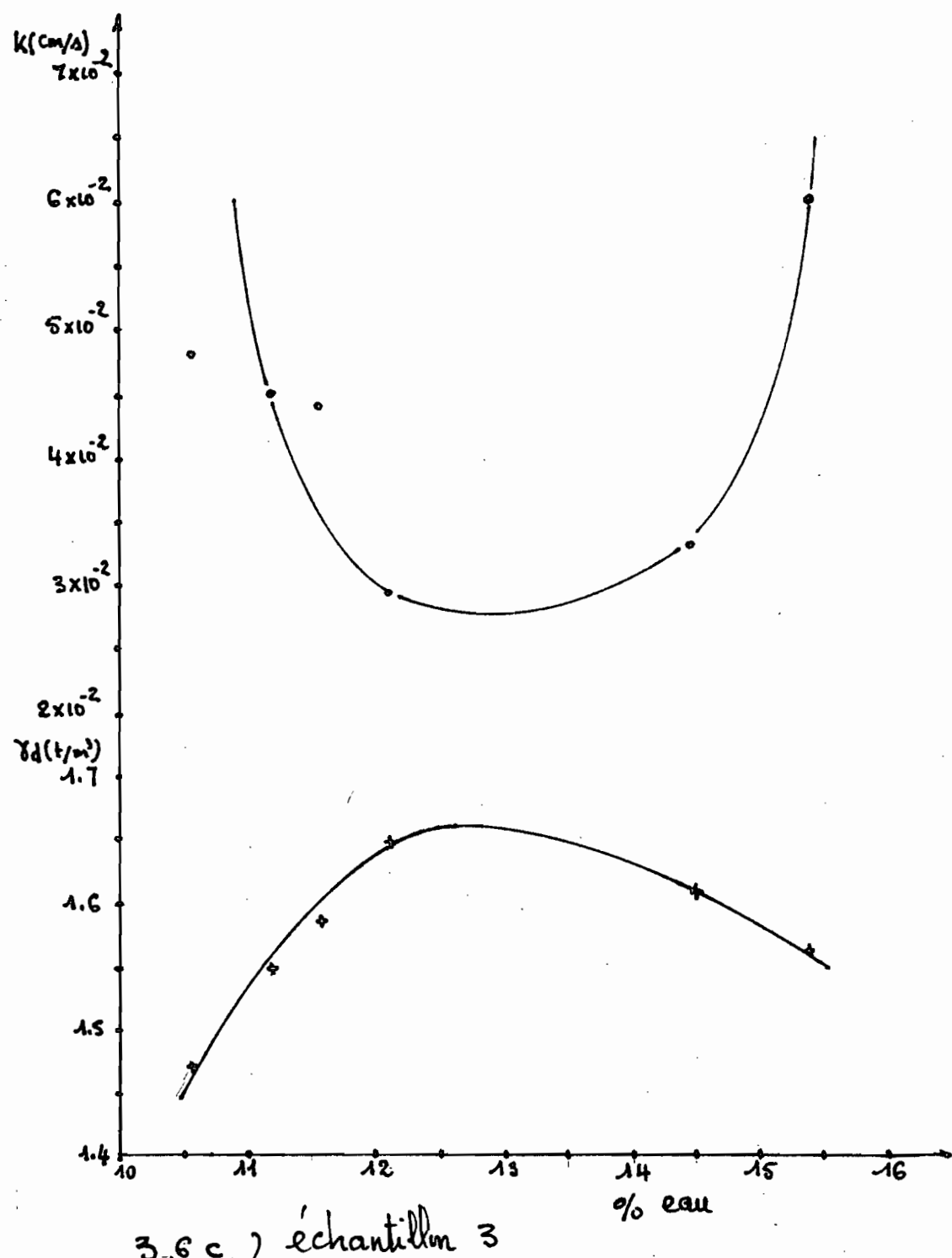


40

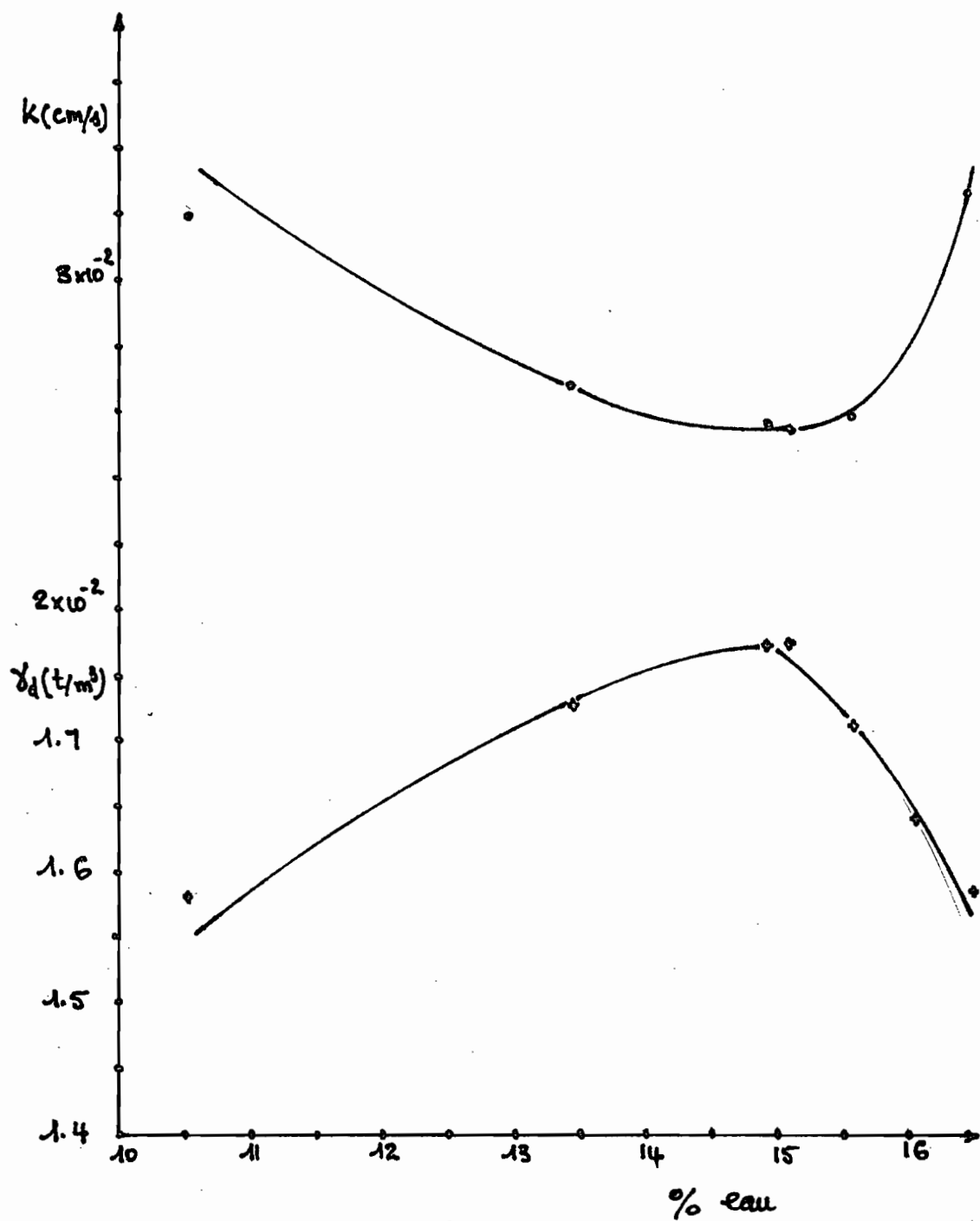
 $K(\text{cm/s})$ 

3.6-b) échantillon 2

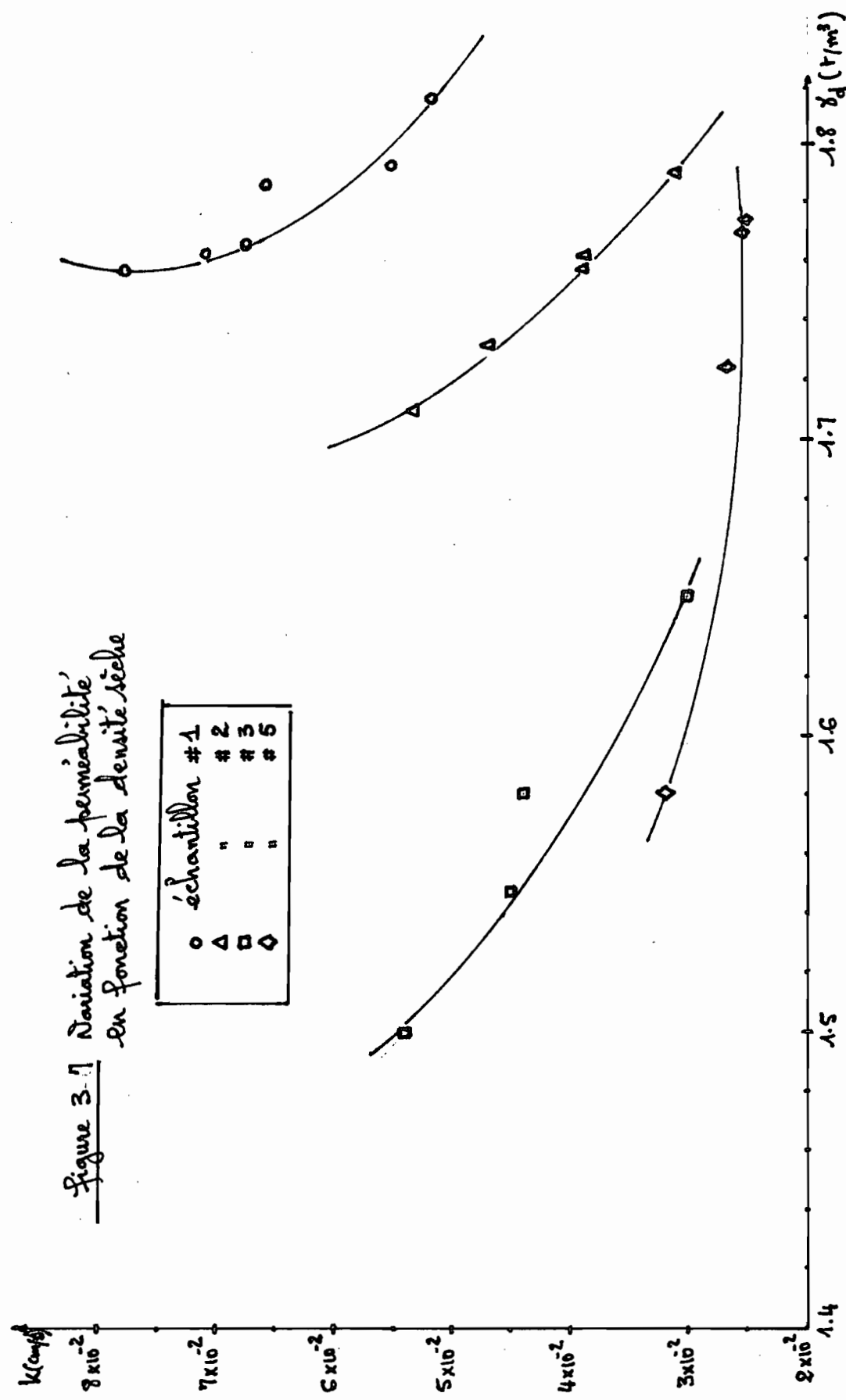
41



42



3-B.C) échantillon 5



En observant les courbes de la figure 3.6 on peut constater que lorsque la teneur en eau de mouillage augmente, la perméabilité de la latérite diminue jusqu'à atteindre un minimum qui correspond à l'optimum Proctor, puis elle commence à croître au fur et à mesure que la teneur en eau augmente. On peut expliquer ce comportement par le fait que l'optimum Proctor correspond à l'état le plus compact du sol, c'est-à-dire qui présente moins de vides; offrant ainsi à l'eau plus de difficultés pour traverser l'échantillon.

L'augmentation de la densité sèche donc de l'énergie de compactage réduit la perméabilité (voir figure 3.7) puisqu'elle augmente l'arrangement des particules donc réduit le volume des vides.

Pour trouver la relation qui existe entre la densité sèche (γ_d) et le coefficient de perméabilité (k) on peut assimiler les courbes de la figure 3.7 à des hyperboles de la forme $k = \frac{c}{\gamma_d^n}$
avec c étant une constante pour chaque échantillon et $n \in \mathbb{N}$

La valeur de n est déterminée par approximation en regardant l'ensemble des tableaux donnant $c = k \gamma_d^n$ pour $n = 1, 2, 3$ (voir annexe A 3.4). En effet en regardant ces tableaux on constate que la meilleure approximation est obtenue pour $n = 2$.

Remarque Dans le but d'avoir la meilleure corrélation possible, les courbes de la figures 3. et des tableaux de l'annexe A.3.4 ont été réalisées en ne considérant que le côté sec du compactage car le côté humide est très sensible et présente souvent de grandes variations de perméabilité pour des densités voisines.

3.5.2. Influences de la granulométrie sur la perméabilité

Pour caractériser la granulométrie nous utilisons le coefficient d'uniformité (Cu) ou coefficient de Hazen et le diamètre efficace d_{10} (ouverture du tamis au traves duquel passe 10% du poids des grains). Pour exprimer le degré d'étalement et de finesse de l'échantillon nous utilisons le produit $Cu d_{10}$ (équivalent à d_{60}); en effet plus ce produit est petit plus la granulométrie est fine et serrée. En examinant les résultats des expériences on constate que le coefficient de perméabilité est proportionnel à $Cu d_{10}$ cela s'explique par le fait qu'une granulométrie fine et serrée soumise au compactage a une faible porosité donc un coefficient de perméabilité faible; alors que la structure d'un sol à granulométrie étalée et grossière favorise plus la filtration de l'eau.

3.5.3 Effets combinés de la granulométrie et du compactage

En référant à l'annexe A.3.4 les expressions reliant le coefficient k à la densité δ_d sont les suivantes:

46.

$$k_1 = \frac{0.205}{\gamma_d^2}$$

$$k_2 = \frac{0.128}{\gamma_d^2}$$

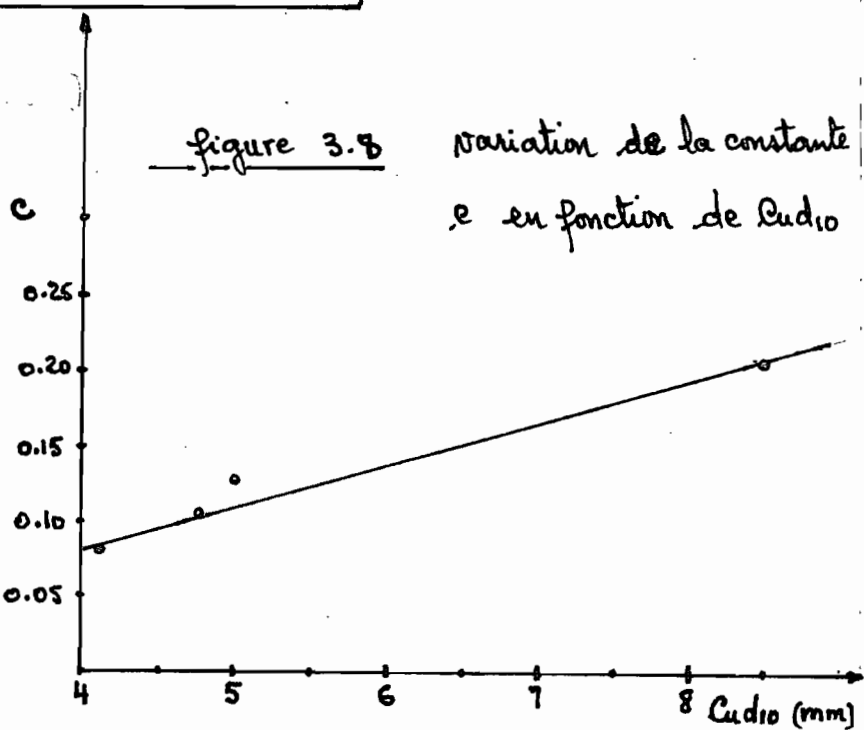
$$k_3 = \frac{0.105}{\gamma_d^2}$$

$$k_5 = \frac{0.08}{\gamma_d^2}$$

Dans les expressions ci-dessus de k_i , i représente le numéro de l'échantillon.

Rechçons maintenant la relation qui existe entre la constante C et les caractéristiques granulométriques, pour cela tracons la courbe C versus C_udio .

Constante C	C_udio .
0.205	8.5
0.128	5.0
0.105	4.75
0.08	4.10



Nous obtenons par régression linéaire l'équation suivante

$$C = 0.027 \rho_{\text{d}10} - 0.020$$

Cette droite est obtenue avec une corrélation de 98.23%

On sait que $k = \frac{C}{\gamma_d^2}$,
en remplaçant C par sa valeur dans cette expression on obtient la relation qui regroupe le coefficient k , la densité γ_d et les caractéristiques granulométriques ρ_{d} et d_{10} soit :

$$k = \frac{0.027 \rho_{\text{d}10} - 0.020}{\gamma_d^2}$$

k en cm/sec

d_{10} en mm

γ_d en g/cm^3

Définition de la relation obtenue

Pour apprécier le degré de corrélation de la relation intrinsèque obtenue nous avons comparé la valeur de la perméabilité mesurée et celle obtenue à partir de cette relation, dans l'ensemble les erreurs relatives sont inférieures à 20%.

Les exemples suivants sont les bornes.

1) $\rho_{\text{d}10} = 8.5$ et $\gamma_d = 1.763$

valeur mesurée $k_{\text{mes}} = 7.08 \times 10^{-2} \text{ cm/s}$

valeur calculée $k_{\text{cal}} = \frac{0.027 \times 8.5 - 0.02}{(1.763)^2} = 6.74 \times 10^{-2} \text{ cm/s}$

48

La comparaison donne une erreur relative de 4.8%

2.) $k_{nd,0} = 4.10$ et $\gamma_d = 1.581$

valeur mesurée $k_{mes} = 4.42 \times 10^{-2} \text{ cm/s}$

valeur calculée $k_{cal} = \frac{0.027 \times 4.10 - 0.02}{(1.581)^2}$

$k_{cal} = 3.63 \times 10^{-2} \text{ cm/s}$

soit une erreur relative de 17.87%.

Pour le moment il n'est pas possible de donner un jugement significatif sur le comportement des latérites vis à vis des essais de perméabilité, néanmoins en se référant aux résultats obtenus, on constate que les sols latéritiques sont moyennement perméables.

Bien que les résultats de nos essais soient un peu restreints il est évident qu'ils recèlent une importance capitale de par la méthodologie utilisée pour parvenir à les corrélés. En effet, si on peut répertorier toute la gamme de granulométries utilisables dans les applications courantes des latérites, on pourra faire des schémas donnant la perméabilité en fonction de la densité sèche et des caractéristiques granulométriques ; ce qui aura pour avantage de contrôler la perméabilité à chaque fois qu'on le désire.

Les limitations dans le travail sont essentiellement dues aux nombreux problèmes rencontrés dont les causes sont les suivantes :

- La durée des essais : la procédure utilisée impose beaucoup de temps, pour y remédier on peut supprimer l'essai Proctor et se contenter uniquement du compactage réalisé dans le perméamètre car c'est cette densité sèche qui gouverne le coefficient de perméabilité ; l'autre ne servant que de comparaison.

- L'appareillage : le dispositif expérimental utilisé a une performance relativement faible, en effet le perméamètre à charge constante (ROCTEST) est destiné à la mesure de perméabilité de sols grossiers, si on sait que la latérite a une granulométrie très étalée allant des graviers aux particules argileuses, on comprendra pourquoi cet appareil n'est pas adapté pour mener à terme les mesures. Pour encager cette défaillance on avait envisagé de poursuivre les mesures au triaxial qui se trouve être le plus adapté mais malheureusement cet appareil n'était pas encore fonctionnel. Son fonctionnement permettra de beaucoup réduire le temps de essais car il n'est pas limité par la granulométrie et possède un système de compactage.

- Les irrégularités dans les mesures sont dues au comportement général des sols tropicaux et en particulier des sols latéritiques vis à vis des essais standards, en effet les latérites sont très sensibles au remaniement car, les desquioxydes enveloppent les particules silicieuses d'un manteau d'aspect gélatineux ce qui les rend moins sensibles à l'eau, les latérites sont aussi très vulnérables à la dégradation.

Les résultats obtenus sont naturellement différents de ceux qu'on pourrait obtenir en faisant des essais *in situ* du fait de la sensibilité de la latérite

au remaniement, c'est pourquoi dans certains travaux où on n'a pas besoin de contrôler la perméabilité (bilan hydrologique), les essais sur place sont de loin meilleurs car ils reflètent plus la réalité c'est-à-dire les conditions de filtration qui existent sur place. Les limitations de l'essai sont aussi dues à la perte des particules fines par lavage dans la tuyauterie (burettes) et au broyage des particules grossières au compactage (matériau très friable) ce qui fait que la granulométrie avant essai est différente de celle après essai.

Dans le but de trouver une relation empirique qui refléterait plus la réalité, il est nécessaire de poursuivre le travail effectué, cette poursuite consistera en des mesures de perméabilité des sols latéritiques au triaxial à partir du passant du tamis 4 et en une corrélation des résultats qui seront obtenus et des résultats qui sont déjà obtenus. Il serait aussi souhaitable de faire des essais de perméabilité sur des matériaux plus grossiers ce qui pourrait servir en construction routière où on utilise plutôt des gravilloux latéritiques dont les grosses particules atteignent généralement 3 pouces (75 mm).

Il est difficile voire impossible de connaître avec exactitude les propriétés géotechniques d'un sol à cause de son hétérogénéité, surtout s'il s'agit de la permé-

bilité qui dépend du sol et du fluide en circulation, mais la continuation de ce travail permettra de faire un grand pas sur la perméabilité des sols latéritiques et l'extension à tous les sols tropicaux de mieux appréhender l'affirmation du professeur Winterkorn citée en introduction.

— ANNEXES —

CARACTÉRISTIQUES MORPHOLOGIQUES DES LATÉRITES

68a.

Degré de latérisation	Regroupement selon texture	Origine et état	Couleur et structures	Nature de la fraction grossière	Relation avec la roche mère	Paramètres géologiques pertinents pour ZD. des
I.	Roc décomposé	Matiériaux résiduels; Comprends les grains se brisant sous les doigts et allant jusqu'au roc solide et non altéré.	Roche mère décolorée. Généralement gris à rouge jaunâtre. Les structures de la roche mère sont préservées.	Anguleux à cubo-anguleux à cubiques; grains varient en dimensions de sables grossiers à blocs selon le degré de décomposition.	Structures de la roche mère préservees dans le matériel en place et non remanié.	(1) Nature de la roche mère (2) Conditions d'altération (3) Degré de décomposition et lessivage. (4) Contenu de minéraux secondaires
II-a)	Latérite fine (Sols à grains fins)	Peut être résiduel ou non résiduel. Non consolidé & compact selon l'origine géologique et les conditions de l'environnement, dont l'histoire géologique, le degré de déshydratation et de dessiccation.	Variable, allant de rouge jaunâtre à brun rougâtre à brun rosâtre. Structure dépend de la nature de la roche mère, du degré d'altération et de la compacité.	Grains de quartz isolés, concrétions composées d'un mélange de grains fins (cobbles, silts, argiles). Matrice fine.	La granulométrie en fonction de la nature de la roche mère et du degré d'altération.	(1) Nature de la roche mère (2) Conditions d'altération (3) Origine géologique (Nature du sol) (4) Origine géologique (Sols résiduels ou transportés).
II-b)	Latérite grêleuse	Peut être résiduel ou non résiduel. Non consolidé & compact selon l'origine géologique et les conditions de l'environnement, dont l'histoire géologique, le degré de déshydratation et de dessiccation.	Rouge jaunâtre à rose. La structure dépend du degré d'altération et de latérisation. Généralement concrétions et grains de quartz isolés dans une matrice terreuse ayant un degré de compaction variable.	Grains de quartz irréguliers, anguleux cubiques. Concrétions brun rosâtre à rose avec une coquille du re nodule et de dimensions et formes variées. Peut s'agir de morceaux de cuivre et détritiques.	Variable, une roche mère riche en quartz dans un haut pourcentage de grains de quartz par rapport aux concrétions. La relation avec la roche mère peut ne pas exister dans la granulométrie du sol.	(5) Degré d'enrichissement en sesquioxides et de déshydratation (dessication) (6) Etat à l'excavation et au contact de l'air libre (7) Minéralogie des argiles.

CARACTÉRISTIQUES MORPHOLOGIQUES DES LATÉRITES (Suite)

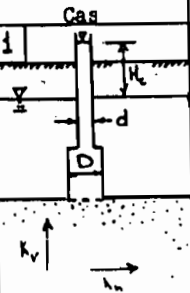
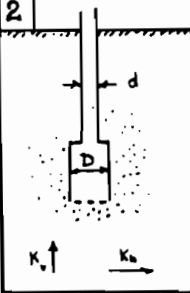
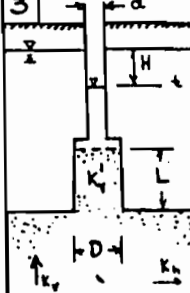
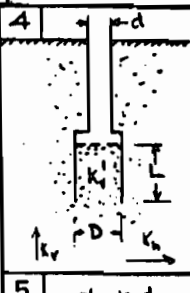
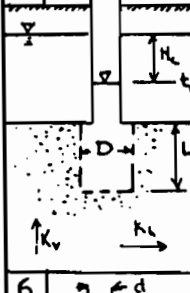
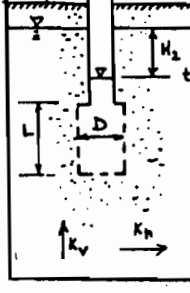
Degré de latérisation	Regroupement selon texture	Origine et état	Couleur et structures	Nature de la fraction grossière	Relation avec la roche mère	Paramètres géologiques pertinents pour ZD et évaluation.
III	Roche latéritique (gravier bloeux; blocs).	Peut être résiduel ou non résiduel. Comprends sols très friables sous la pression des doigts et allant jusqu'aux masses de concrétions dures et rocheuses.	Brun rougâtre, brun foncé, brun rosâtre à rose. Dans les sols résiduels les éléments indurés forment un squelette cohérent et continu. Dans les sols non résiduels, les éléments indurés servent à cimentier les particules déjà sur place.	Les particules de quartz et les concrétiions sont irrégulières, de tailles différentes et fusionnées dans une masse.	Dans les roches ferrugineuses, la texture et la structure peuvent être préservées. Dans d'autres cas il n'existe plus de relation avec la roche mère, spécialement dans les sols non résiduels.	(1) La nature des sesquioxides sont de ciment. (2) Origine géologique (nature des matériaux). (3) Origine géologique (résiduel ou transporté) (4) Degré de déshydratation et/ou de duréte "in situ" ou exposé à l'air libre.

ANNEXE 1

68b

ANNEXE 2 Tableau résumé des méthodes de chantier

Annexe R

Cas	Pression constante	Pression variable
1	 $K_m = \frac{q}{2DH_c}$	$K_m = \frac{\pi d^2}{8D(t_2 - t_1)} \ln \frac{H_1}{H_2}$ pour $d = D$ $K_m = \frac{\pi D}{8(t_2 - t_1)} \ln \frac{H_1}{H_2}$
2	 $K_m = \frac{q}{2.75 DH_c}$	$K_m = \frac{\pi d^2}{(11.0)D(t_2 - t_1)} \ln \frac{H_1}{H_2}$ pour $d = D$ $K_m = \frac{\pi D}{(11.0)(t_2 - t_1)} \ln \frac{H_1}{H_2}$
3	 $K_v^1 = \frac{4q \left[\frac{\pi}{8} \frac{K_v^1}{K_v} \frac{D}{m} + L \right]}{\pi D^2 H_c}$	$K_v^1 = \frac{d^2 \left[\frac{\pi}{8} \frac{K_v^1}{K_v} \frac{D}{m} + L \right]}{D^2 (t_2 - t_1)} \ln \frac{H_1}{H_2}$ pour $K_v^1 = K_v$ et $d = D$ $K_v = \frac{\frac{\pi}{8} \frac{D}{m} + L}{(t_2 - t_1)} \ln \frac{H_1}{H_2}$
4	 $K_v^1 = \frac{4q \left[\frac{\pi}{11.0} \frac{K_v^1}{K_v} \frac{D}{m} + L \right]}{\pi D^2 H_c}$	$K_v^1 = \frac{d^2 \left[\frac{\pi}{11.0} \frac{K_v^1}{K_v} \frac{D}{m} + L \right]}{D^2 (t_2 - t_1)} \ln \frac{H_1}{H_2}$ pour $d = D$ et $K_v = K_v^1$ $K_v = \frac{\frac{\pi}{11.0} \frac{D}{m} + L}{(t_2 - t_1)} \ln \frac{H_1}{H_2}$
5	 $K_h = \frac{q \ln \left[\frac{2mL}{D} + \sqrt{1 + \left(\frac{2mL}{D} \right)^2} \right]}{2\pi LH_c}$	$K_h = \frac{d^2 \ln \left[\frac{2mL}{D} + \sqrt{1 + \left(\frac{2mL}{D} \right)^2} \right]}{8L (t_2 - t_1)} \ln \frac{H_1}{H_2}$ pour $\frac{2mL}{D} > 4$ $K_h = \frac{d^2 \ln \left(\frac{4mL}{D} \right)}{8L (t_2 - t_1)} \ln \frac{H_1}{H_2}$
6	 $K_h = \frac{q \ln \left[\frac{mL}{D} + \sqrt{1 + \left(\frac{mL}{D} \right)^2} \right]}{2\pi LH_c}$	$K_h = \frac{d^2 \ln \left[\frac{mL}{D} + \sqrt{1 + \left(\frac{mL}{D} \right)^2} \right]}{8L (t_2 - t_1)} \ln \frac{H_1}{H_2}$ pour $\frac{mL}{D} > 4$ $K_h = \frac{d^2 \ln \left(\frac{2mL}{D} \right)}{8L (t_2 - t_1)} \ln \frac{H_1}{H_2}$

— ANNEXE 3 —

Tableaux d'exploitation des résultats
et mesures effectuées

A3.1

Corrections de viscosités

°C	0	0.1	0.2	0.3	0.4	0.5	0.6	0.7	0.8	0.9
10	1.3012	1.2976	1.2940	1.2903	1.2867	1.2831	1.2795	1.2759	1.2722	1.2686
11	1.2650	1.2615	1.2580	1.2545	1.2510	1.2476	1.2441	1.2406	1.2371	1.2336
12	1.2301	1.2268	1.2234	1.2201	1.2168	1.2135	1.2101	1.2068	1.2035	1.2001
13	1.1968	1.1936	1.1905	1.1873	1.1841	1.1810	1.1777	1.1746	1.1714	1.1683
14	1.1651	1.1621	1.1590	1.1560	1.1529	1.1499	1.1469	1.1438	1.1408	1.1377
15	1.1347	1.1318	1.1289	1.1260	1.1231	1.1202	1.1172	1.1143	1.1114	1.1085
16	1.1056	1.1028	1.0999	1.0971	1.0943	1.0915	1.0887	1.0859	1.0833	1.0802
17	1.0774	1.0747	1.0720	1.0693	1.0667	1.0640	1.0613	1.0586	1.0560	1.0533
18	1.0507	1.0480	1.0454	1.0429	1.0403	1.0377	1.0351	1.0325	1.0300	1.0274
19	1.0248	1.0223	1.0198	1.0174	1.0149	1.0124	1.0099	1.0074	1.0050	1.0025
20	1.0000	0.9978	0.9952	0.9928	0.9904	0.9881	0.9857	0.9833	0.9809	0.9785
21	0.9781	0.9738	0.9715	0.9692	0.9669	0.9646	0.9623	0.9600	0.9577	0.9554
22	0.9531	0.9509	0.9487	0.9465	0.9443	0.9421	0.9399	0.9377	0.9355	0.9333
23	0.9311	0.9290	0.9268	0.9247	0.9225	0.9204	0.9183	0.9161	0.9140	0.9118
24	0.9097	0.9077	0.9058	0.9036	0.9015	0.8995	0.8975	0.8954	0.8934	0.8913
25	0.8883	0.8873	0.8853	0.8833	0.8813	0.8794	0.8774	0.8754	0.8734	0.8714
26	0.8694	0.8675	0.8656	0.8636	0.8617	0.8598	0.8579	0.8560	0.8540	0.8521
27	0.8502	0.8484	0.8465	0.8447	0.8428	0.8410	0.8392	0.8373	0.8355	0.8336
28	0.8318	0.8300	0.8282	0.8264	0.8246	0.8229	0.8211	0.8193	0.8175	0.8157
29	0.8139	0.8122	0.8105	0.8087	0.8070	0.8053	0.8036	0.8019	0.8001	0.7984
30	0.7967	0.7950	0.7934	0.7917	0.7901	0.7884	0.7867	0.7851	0.7834	0.7818
31	0.7801	0.7785	0.7769	0.7753	0.7737	0.7721	0.7705	0.7689	0.7673	0.7657
32	0.7641	0.7626	0.7610	0.7595	0.7579	0.7564	0.7548	0.7533	0.7517	0.7502
33	0.7486	0.7471	0.7456	0.7440	0.7425	0.7410	0.7395	0.7380	0.7364	0.7349
34	0.7334	0.7320	0.7305	0.7291	0.7276	0.7262	0.7247	0.7233	0.7218	0.7204
35	0.7189	0.7175	0.7161	0.7147	0.7133	0.7120	0.7106	0.7092	0.7078	0.7064

PROPRIETES MECANIQUES DE L'EAU A LA PRESSION ATMOSPHERIQUE

Temp. °C	Densité UTM/m³	Poids spécifique kg/m³	Viscosité dynamique kg s/m²	Tension superficielle kg/m	Pression de vapeur kg/cm² (ab)	Module d'élasticité cubique kg/cm³
0	101,96	999,87	$18,27 \times 10^{-3}$	0,00771	0,0056	20200
5	101,97	999,99	15,50	0,00764	0,0088	20900
10	101,95	999,73	13,34	0,00756	0,0120	21500
15	101,88	999,12	11,63	0,00751	0,0176	22000
20	101,79	998,23	10,25	0,00738	0,0239	22400
25	101,67	997,07	9,12	0,00735	0,0327	22800
30	101,53	995,68	8,17	0,00728	0,0439	23100
35	101,37	994,11	7,37	0,00718	0,0401	23200
40	101,18	992,23	6,69	0,00711	0,0780	23300
50	100,76	988,07	$5,60 \times 10^{-3}$	0,00693	0,1249	23400

Tableau 3.0 : Résultats d'étalonnage

P(g)	t(sec)	T(°C)	h(cm)	Q(cm ³ /s)	Q ²
351.43	18.24	27	4	19.33	373.65
377.93	17.16	28	5	21.11	445.63
346.9	14.21	28	6	24.50	600.25
376.95	14.49	28	7	26.11	681.73
348.4	12.73	28	8	27.47	754.60
419.15	15.09	29.5	9	27.89	777.85
409.5	13.38	29.5	10	30.73	944.33
416.5	13.21	29.5	11	31.66	1002.36
426.18	12.87	29.5	12	33.25	1105.56
370.14	10.72	28	13	34.66	1201.32
443.65	12.22	29.5	14	36.46	1329.33
348.77	9.41	28	15	37.20	1383.84
339.86	9.15	28	16	37.88	1389.80
507.05	13.27	30	17	38.38	1473.02
481.05	12.02	29.5	18	38.52	1483.79
618.5	15.27	28	19	40.66	1653.23
420.95	9.87	30	20	42.83	1834.41
693.98	16.07	28	21	43.35	1879.22
574.1	13.07	30	22	44.11	1945.69
656.35	14.79	28	23	44.54	1983.81
624.02	13.38	28	24	46.81	2191.18

A.3.2. Résultats d'étalonnage

A.3.3 Tableaux résumés des mesures

échantillon 1

% eau	γ_d (t/m^3)	k (cm/s)	Caractéristiques
11.53	1.758	7.76×10^{-2}	c_u
12.1	1.763	7.08×10^{-2}	c_c
13.48	1.766	6.73×10^{-2}	$d_{10} = 0.85 \text{ mm}$
13.78	1.786	6.58×10^{-2}	
14.04	1.793	5.51×10^{-2}	max Proctor
14.45	1.815	5.22×10^{-2}	$\gamma_d = 1.98 \text{ t/m}^3$
14.85	1.773	8.35×10^{-2}	$w = 13.4\%$

échantillon 2

% H ₂ O	γ_d (t/m^3)	k (cm/s)	Caractéristiques
12.52	1.710	5.32×10^{-2}	$c_u = 25$
13.28	1.732	4.62×10^{-2}	$c_c = 6.25$
14.96	1.758	3.88×10^{-2}	$d_{10} = 0.20 \text{ mm}$
15.08	1.761	3.87×10^{-2}	max Proctor
15.87	1.79	8.12×10^{-2}	$\gamma_d = 1.785$
16.18	1.765	7.00×10^{-2}	$w = 16.2\%$
16.29	1.752	6.73×10^{-2}	
17.88	1.702	7.87×10^{-2}	

58

échantillon 3

% eau	γ_d (t/m^3)	K (cm/s)	Caractéristiques
10.57	1.500	5.4×10^{-2}	$\rho_e = 27.94$
11.20	1.548	4.52×10^{-2}	$c_e = 3.58$
11.57	1.581	4.42×10^{-2}	$d_{10} = 0.17 mm$
12.10	1.647	2.91×10^{-2}	Max Proctor
14.48	1.607	3.30×10^{-2}	$\gamma_d = 1.600 t/m^3$
15.42	1.560	5.97×10^{-2}	$w = 12.20\%$
15.83	1.479	8.23×10^{-2}	

échantillon 4

% eau	γ_d (t/m^3)	K (cm/s)	Caractéristiques
15.3	1.692	1.35×10^{-3}	$\rho_e = 15$ $\gamma_d = 1.800$
16.67	1.782	2.54×10^{-4}	$c_e = 1.91$ $w = 18\%$
17.68	1.794	?	$d_{10} = 0.14$

échantillon 5

% eau	γ_d (t/m^3)	K (cm/s)	Caractéristiques
10.53	1.581	8.20×10^{-2}	$\rho_e = 13.67$
13.47	1.725	2.69×10^{-2}	$c_e = 3.25$
14.94	1.770	2.56×10^{-2}	$d_{10} = 0.30 mm$
15.12	1.773	2.54×10^{-2}	Max Proctor
15.61	1.711	2.6×10^{-2}	$\gamma_d = 1.78 t/m^3$
16.07	1.638	2.64×10^{-2}	$w = 16\%$
16.52	1.584	3.26×10^{-2}	

moyenne 0.105

	$k_{(10^2)}$	χ_d	$k_{\chi_d^2}$	$k_{\chi_d^3}$	$k_{\chi_d^4}$	0.08	0.13	1.647	1.91
4.75						0.11	0.17	1.581	4.42
						0.07	0.11	1.548	4.52
						0.08	0.12	1.500	5.4
	$k_{(10^2)}$	χ_d	$k_{\chi_d^2}$	$k_{\chi_d^3}$	$k_{\chi_d^4}$	0.12	0.18	1.560	

échantillon 3

moyenne 0.128

	$k_{(10^2)}$	χ_d	$k_{\chi_d^2}$	$k_{\chi_d^3}$	$k_{\chi_d^4}$	0.10	0.18	1.749	3.48
5.0						0.12	0.21	1.761	3.87
						0.07	0.12	1.758	3.88
						0.08	0.14	1.732	4.67
						0.16	0.24	1.71	5.32
	$k_{(10^2)}$	χ_d	$k_{\chi_d^2}$	$k_{\chi_d^3}$	$k_{\chi_d^4}$	0.16	0.27	1.71	

échantillon 2

moyenne 0.205

	$k_{(10^2)}$	χ_d	$k_{\chi_d^2}$	$k_{\chi_d^3}$	$k_{\chi_d^4}$	0.09	0.17	1.815	5.22
8.05						0.16	0.28	1.793	5.51
						0.12	0.21	1.786	6.58
						0.12	0.21	1.766	6.73
						0.12	0.21	1.763	7.08
						0.14	0.24	1.758	7.76
	$k_{(10^2)}$	χ_d	$k_{\chi_d^2}$	$k_{\chi_d^3}$	$k_{\chi_d^4}$	0.14	0.24	1.758	

échantillon 1

A3.4 Tableaux de Corrélation des résultats

60

échantillon 5

$k (10^{-2})$	γ_d	$k\gamma_d$	$k\gamma_d^2$	$k\gamma_d^3$	$C_{ud,10}$
3.20	1.581	0.05	0.08	0.13	
2.68	1.725	0.05	0.08	0.14	4.10
2.55	1.770	0.04	0.08	0.14	
2.54	1.773	0.04	0.08	0.14	
moyenne			0.08		

— A 3.5 —

Résultats des mesures et Calculs

école polytechnique de thiès

61

ESSAI DE COMPACTAGE

PROJET:	Permeabilité des sols latéritiques
EMPLACEMENT:	E.P.T
	ESSAI No: 1

CARACTÉRISTIQUES DU MATERIAU	DESCRIPTION: Latérite PROVENANCE: THIES REMARQUES: présence de matières organiques (racines et feuilles mortes)
------------------------------	---

ESSAI PAR: LE: CALCULÉ PAR: LE: VÉRIFIÉ PAR: LE: 04-12-84

NORMES A.S.T.M. POUR ESSAI PROCTOR	MÉTHODE	ESSAI SUR MATERIAU PASSANT LE TAMIS:	MOULE		$\gamma_T = W_T \times \text{parf}$ $\frac{1000}{V}$	ESSAI STANDARD (A.S.T.M. D 698) MARTEAU DE 2.5 kg - CHUTTE DE 30.5 cm			ESSAI MODIFIÉ (A.S.T.M. D 1557) MARTEAU DE 4.5 kg - CHUTTE DE 45.7 cm		
			Ø cm	VOLUME cm³		POIDS MINIMUM DE MATERIAU	NOMBRE DE COUCHES	NB DE COUPS PAR COUCHE	POIDS MINIMUM DE MATERIAU	NOMBRE DE COUCHES	NB DE COUPS PAR COUCHE
	A	NO 4	10.2	943,89	1,059 442	2,5 kg	3	25	3,0 kg	5	25
	B	NO 4	15.2	2123,76	0,470 876	6,5 kg	3	56	7,5 kg	5	56
	C	3/4"	10.2	943,89	1,059 442	4,5 kg	3	25	5,5 kg	5	25
	D	3/4"	15.2	2123,76	0,470 876	10,0 kg	3	56	11,5 kg	5	56

CARACTÉRISTIQUES DE L'ESSAI

EFFORTS DYNAMIQUES
ESSAI "PROCTOR"
(VOIR NORMES A.S.T.M.)

ESSAI STD. MOD. MÉTHODE: _____

% RETENU SUR TAMIS 19 mm (3/4") NO 4: _____

MOULE: DIAMÈTRE = _____ VOLUME = _____

POIDS DU MARTEAU: _____ HAUTEUR DE CHUTTE: _____

NB DE COUCHES: _____ NB DE COUPS / COUCHE: _____

OBSERVATIONS: _____

PRESSIONS STATIQUES
(SUIVANT NORMES)

TYPE D'ESSAI: _____

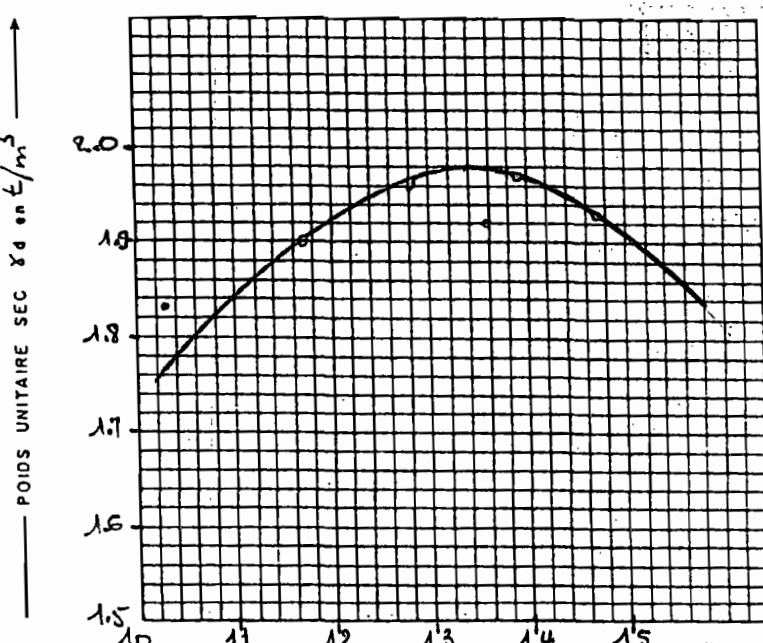
TAMIS DE RÉFÉRENCE: _____ % RETENU: _____

MOULE: DIAMÈTRE = _____ VOLUME = _____

PISTON: DIAMÈTRE = _____ PRESSION = _____

NB DE COUCHES: _____ NB DE COUPS / COUCHE: _____

OBSERVATIONS: _____



RÉSULTATS DE L'ESSAI

γd maximum = 1.98 t/m³ - w% optimum = 13.4

TENEUR EN EAU w%

POIDS UNITAIRES	ESSAI NO	% approximatif d'eau ajoutée	1	2	3	4	5	6
			POIDS DU SOL HUMIDE + MOULE W1 (kg)	5.821	7.538	7.396	7.287	7.463
	POIDS DU MOULE TARE (kg)		5.527	2.774	-	-	-	-
	POIDS DU SOL HUMIDE W1 - TARE + WT (kg)		4.294	4.764	4.622	4.513	4.689	4.698
	POIDS UNITAIRE TOTAL $WT \times \left(\frac{1000}{V}\right) \gamma_T (\text{t/m}^3)$							
	POIDS UNITAIRE SEC - $\gamma_T / 1.0 + (w\% / 100) \cdot \gamma_d (\text{t/m}^3)$		1.83	1.97	1.92	1.90	1.96	1.93

TENEURS EN EAU	RÉCIPIENT NO	1	2	3	4	5	6
		POIDS DU RÉCIPIENT TARE (g)	239.8	230.3	250.0	140.0	140.1
	POIDS DU SOL HUMIDE + RÉCIPIENT W1 (g)	785.1	806.4	948.2	908.5	1039.5	1067.5
	POIDS DU SOL SEC + RÉCIPIENT W2 (g)	734.3	736.2	864.8	821.9	937.2	951.2
	POIDS DE L'EAU W1 - W2 + Ww (g)	50.8	70.2	83.4	80.6	102.3	116.7
	POIDS DU SOL SEC W2 - TARE + Ws (g)	494.5	505.9	614.8	687.9	791.1	811.7
	TENEUR EN EAU $(Ww/Ws) \times 100 + w\%$	10.8	13.9	13.6	11.7	12.8	14.7

ÉCRIRE BIEN LISIBLLEMENT À L'AIDE D'UN CRAYON À MINE DE PLOMB "H3 OU B" TOUTES LES INFORMATIONS DIRECTEMENT SUR CETTE FEUILLE.

école polytechnique de thès

LABORATOIRE DE GEOTECHNIQUE

ASTM
D 422

ANALYSE GRANULOMETRIQUE

IDENTIFICATION

Satellite de THIES

Echantillon prélevé à THIES

Manipulateur A.D.

. Calculé

Date 08-12-84

POIDS TOTAL DE L'ÉCHANTILLON REÇU AU LABORATOIRE & W% NATURELLE

Recipient no.: _____ Soil humide + tare = _____ g; Soil sec + tare = _____ g

Poids de l'eau = _____ g ; Tare = _____ g ; Poids sol sec = _____ g ; W% =

% de particules plus grandes que 150 mm (6 po.) = _____

POIDS DE LA FRACTION UTILISÉE (si différente du poids total)	TAMIS	POIDS DU SOL RETENU	% RETENU		% DU SOL PASSANT	
			INDIVIDUEL	CUMULATIF	CUMULATIF	CUMULATIF REPORTE
Récipient no. :	3" (75)					
Sol + tara =	3891.9 g					
Tara =	1510.4 g					
Sol sac =	2381.5 g					
SÉCHAGE						
<input type="checkbox"/> Air	<input type="checkbox"/> Four					
Remarques						
ECHANTILLON	(1)					
	RÉSIDU					
					PERTES	
					Poids =	g : %

RAYER LES TAMIS NON UTILISÉS

POIDS DE LA FRACTION UTILISÉE	TAMIS Numéro (D mm)	POIDS DU SOL RETENU INDIVIDUEL	% RETENU CUMULATIF	% DU SOL PASSANT CUMULATIF	CUMULATIF REPORTÉ
Recipient no. : _____	# 4 (4,75)				
Sol + tare = 8	# 8 (2,36)	# 10 (2,00) 618	2112.3	88.70	11.30
Tare = 8	# 16 (1,18)	# 20 (0,85) 100.2	2212.5	92.90	7.10
Sol sac = 8	# 30 (0,60)	# 40 (0,42) 44.4	2256.9	94.77	5.23
<u>SÉCHAGE</u>		# 50 (0,30)	# 60 (0,25) 31.4	2288.3	96.09
<input type="checkbox"/> Air	<input type="checkbox"/> Four	# 100 (0,15)	# 140 (0,106) 47.5	2335.8	98.08
<u>TAMISAGE</u>		# 200 (0,075)	23.8	2359.6	99.08
<input type="checkbox"/> à sec	<input type="checkbox"/> lavage				0.92
<u>SÉDIMENTOMÉTRIE</u>		RÉSIDU	19	2378.6	PARTES
<input type="checkbox"/> oui	<input type="checkbox"/> non				Poids = 2.9 g; % = 0.12

REMARQUES (couleur sec-humide, forme des grains, matières organiques, w% nat., etc..)

DESCRIPTION NORMALISÉE :

Vou rapport



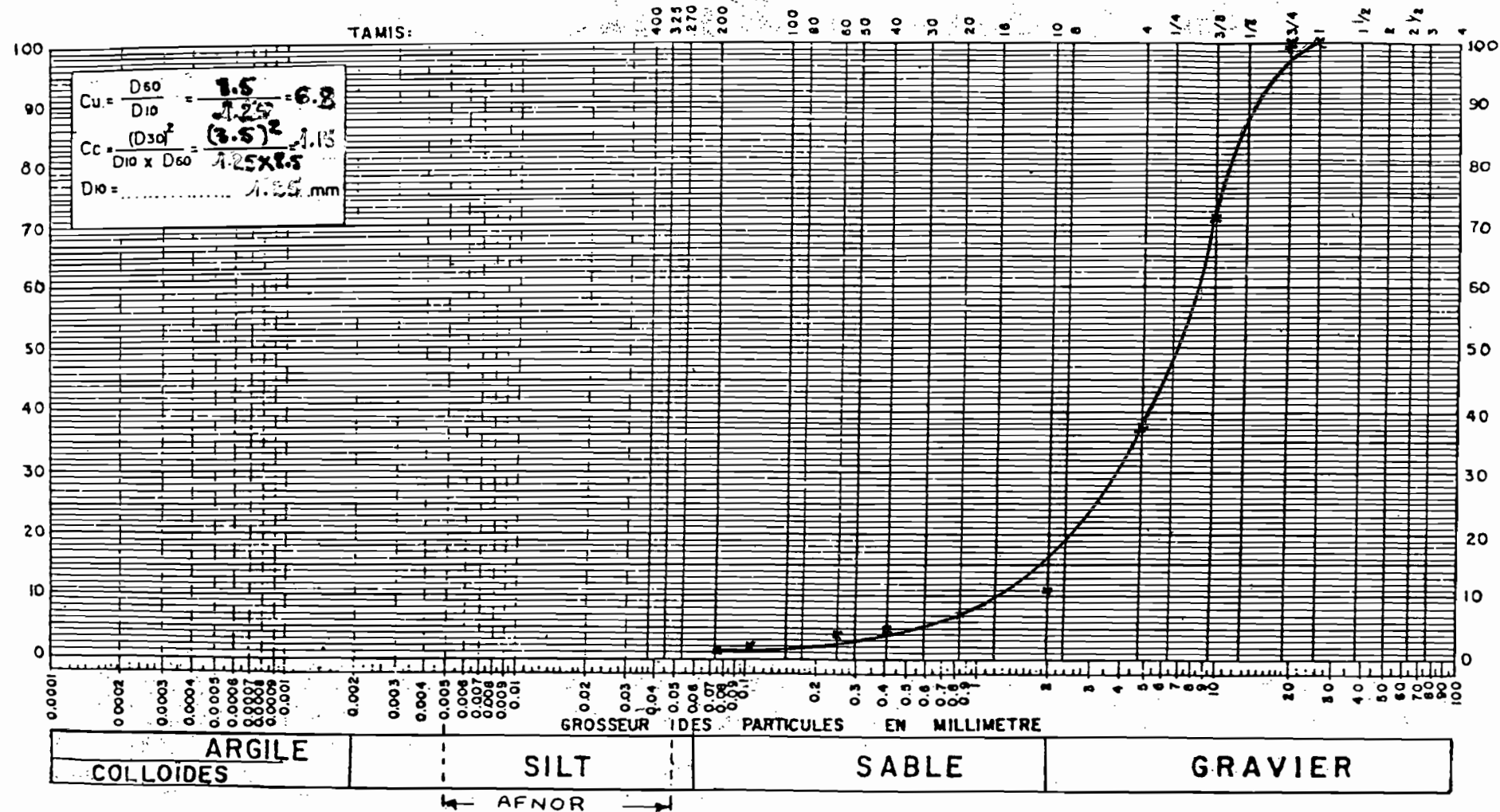
école polytechnique de thies

Balte Postale 10, Thies, République du Sénégal

DATE 10-12-84

ECHANTILLON NO. 1

COURBE GRANULOMETRIQUE



Description : _____

Remarques : _____

ECOLE POLYTECHNIQUE DE THIESPermeabilité des sols latéritiquesFeuille de mesures

Essai No 1.1 Date 11-12-84

Dimensions de l'échantillon. diam. 13.873 cm Haut. 30 cm

Surface 151.158 cm² volume 4534.74 cm³

Poids des filtres 4000 g

Poids de la cellule 17400 g

Poids cellule + sol + filtres 30291 g

Poids du sol 8991 g

teneur en eau 11.53 %

densité sèche γ_d 1.758 t/m³

dénivellation h 72 cm

Test No.	t (sec)	V (cm ³)	T °C
1	16.16	500	24
2	16.18	-	-
3	16.14	-	-
4	16.16	-	-
Moyenne	16.16	500	24

$$k_T = \frac{VL}{Aht} = \frac{500 \times 30}{151.158 \times 72 \times 16.16} = 8.53 \times 10^{-2} \text{ cm/s}$$

$$\gamma_T / \gamma_{20} = 0.9097$$

$$k_{20} = k_T \times \frac{\gamma_T}{\gamma_{20}} = 7.76 \times 10^{-2} \text{ cm/s}$$

ECOLE POLYTECHNIQUE DE THIES

Permeabilité des sols latéritiques

Feuille de mesures

Essai No 1-2 Date 15-12-84

Dimensions de l'échantillm. diam. 13.873 cm Haut. 30 cm

Surface 151.158 cm² volume 4534.74 cm³

Poids des filtres 4000 g

Poids de la cellule 17400 g

Poids cellule + sol + filtres 30362 g

Poids du sol 8962 g

teneur en eau 12.1 %

densité sèche γ_d 1.763 t/m³

dénivellation h 70.5 cm

Test No.	t (sec)	V (cm ³)	T °C
1	17.50		
2	17.80	500	25
3	17.68	-	-
4	17.74	-	-
Moyenne	17.68	500	25

$$k_T = \frac{VL}{Aht} = \frac{500 \times 30}{151.158 \times 70.5 \times 17.68} = 7.96 \times 10^{-2} \text{ cm/s}$$

$$\gamma_T / \gamma_{20} = 0.8993$$

$$k_{20} = k_T \times \frac{\gamma_T}{\gamma_{20}} = 7.08 \times 10^{-2} \text{ cm/s}$$

ECOLE POLYTECHNIQUE DE THIES

Permeabilité des sols latéritiques

Feuille de mesures

Essai No 1-3 Date 18-12-84

Dimensions de l'échantillm. diam. 13.873 cm Haut 30 cm

Surface 151.158 cm² volume 4534.74 cm³

Poids des filtres 4000 g

Poids de la cellule 17400 g

Poids cellule + sol + filtres 304.88 g

Poids du sol 9088 g

Teneur en eau 13.48 %

Densité sèche γ_d 1.766 t/m³

dénivellation h 69.5 cm

Test No.	t (sec)	V (cm ³)	T °C
1	18.40		
2	18.50	500	26
3	18.42	-	-
4	18.44	-	-
Moyenne	18.44	500	26

$$k_T = \frac{VL}{Aht} = \frac{500 \times 30}{151.158 \times 69.5 \times 18.44}$$

$$7.74 \times 10^{-2} \text{ cm/s}$$

$$\gamma_T / \gamma_{20} = 0.8694$$

$$k_{20} = k_T \times \frac{\gamma_T}{\gamma_{20}} = 6.73 \times 10^{-2} \text{ cm/s}$$

ECOLE POLYTECHNIQUE DE THIES

Permeabilité des sols latéritiques

Feuille de mesures

Essai No 1-4 Date 22-12-84

Dimensions de l'échantillm. diam. 13.873 cm Haut 30 cm

Surface 151.158 cm² volume 4534.74 cm³

Poids des filtres 4059 g

Poids de la cellule 17400 g

Poids cellule + sol + filtres 30674 g

Poids du sol 9215 g

Teneur en eau 13.78 %

Densité sèche γ_d 1.786 t/m³

dénivellation h 69 cm

Test No.	t (sec)	V (cm ³)	T °C
1	19.38		
2	19.67	500	25
3	19.53	-	-
4	19.38	-	-
Moyenne	19.44	500	25

$$k_T = \frac{VL}{Aht} = \frac{500 \times 90}{151.158 \times 69 \times 19.44}$$

$$= 7.40 \times 10^{-2} \text{ cm/s}$$

$$\gamma_T / \gamma_{20} = 0.9893$$

$$k_{20} = k_T \times \frac{\gamma_T}{\gamma_{20}} = 6.58 \times 10^{-2} \text{ cm/s}$$

ECOLE POLYTECHNIQUE DE THIES

Permeabilité des sols latéritiques

Feuille de mesures

Essai No 1-5 Date 02-01-85

Dimensions de l'échantillm. diam. 13.813 cm Haut. 30 cm

Surface 151.158 cm² volume 4534.74 cm³

Poids des filtres 4059 g

Poids de la cellule 17400 g

Poids cellule + sol + filtres 30731 g

Poids du sol 9272 g

Teneur en eau 14.04 %

Densité sèche γ_d 1.793 t/m³

dénivellation h 84.5 cm

Test No.	t (sec)	V (cm ³)	T °C
1	26.56	700	25
2	26.40	-	-
3	26.62	-	-
4	26.63	-	-
Moyenne	26.55	700	25

$$k_T = \frac{VL}{Aht} = \frac{500 \times 30}{151.158 \times 84.5 \times 26.55}$$

$$6.19 \times 10^{-2} \text{ cm/s}$$

$$\gamma_T / \gamma_{20} = 0.8893$$

$$k_{20} = k_T \times \frac{\gamma_T}{\gamma_{20}} = 5.51 \times 10^{-2} \text{ cm/s}$$

ECOLE POLYTECHNIQUE DE THIES

Permeabilité des sols latéritiques

Feuille de mesures

Essai No 1-6 Date 04 - 01 - 85

Dimensions de l'échantillom. diam. 13.873 cm Haut. 30 cm

Surface 151.158 cm² volume 4534.74 cm³

Poids des filtres 4059 g

Poids de la cellule 17400 g

Poids cellule + sol + filtres 30 879 g

Poids du sol 9420 g

Teneur en eau 14.45 %

Densité sèche γ_d 1.815 t/m³

dénivellation h 74 cm

Test N°	t (sec)	V (cm ³)	T °C
1	30.02	700	26
2	31.29	-	-
3	32.40	-	-
4	31.37	-	-
Moyenne	31.27	700	26

$$k_T = \frac{VL}{Aht} = \frac{700 \times 30}{151.158 \times 74 \times 31.27} = 6.00 \times 10^{-2} \text{ cm/s}$$

$$\eta_T / \eta_{20} = 0.8694$$

$$k_{20} = k_T \times \frac{\eta_T}{\eta_{20}} = 5.22 \times 10^{-2} \text{ cm/s}$$

ECOLE POLYTECHNIQUE DE THIESPermeabilité des sols latéritiquesFeuille de mesures

Essai No 1-7 Date 07-01-85

Dimensions de l'échantillon. diam. 13.873 cm Haut. 30 cm

Surface 151.158 cm² volume 4534.74 cm³

Poids des filtres 4059 g

Poids de la cellule 17400 g

Poids cellule + sol + filtres 30693 g

Poids du sol 9234 g

teneur en eau 14.85 %

densité sèche γ_d 1.773 t/m³

dénivellation h 71 cm

Test N.	t (sec)	V (cm ³)	T °C
1	19.89	700	26
2	20.26	-	-
3	20.90	-	-
4	20.45	-	-
Moyenne	20.38	700	26

$$k_T = \frac{VL}{Aht} = \frac{700 \times 30}{151.158 \times 91 \times 20.38} \\ 9.60 \times 10^{-2} \text{ cm/s}$$

$$\gamma_T / \gamma_{20} = 0.8694$$

$$k_{20} = k_T \times \frac{\gamma_T}{\gamma_{20}} = 8.35 \times 10^{-2} \text{ cm/s}$$

école polytechnique de thiès

71

ESSAI DE COMPACTAGE

PROJET:	Permeabilité des sols latéritiques	
EMPLACEMENT:	E.P.T	ESSAI No: 2.

CARACTÉRISTIQUES DU MATERIAU	DESCRIPTION: Latérite
	PROVENANCE: THIES
	REMARQUES: présence de matières organiques (racines et feuilles mortes)

ESSAI PAR:	LE:	CALCULÉ PAR:	LE:	VÉRIFIÉ PAR:	LE: 08-01-85
------------	-----	--------------	-----	--------------	--------------

NORMES A.S.T.M. POUR ESSAI PROCTOR	MÉTHODE ESSAI SUR MATERIAU PASSANT LE TAMIS:	MOULE		$\gamma_T = W_T \times g / 1000$	ESSAI STANDARD (A.S.T.M. D 698) MARTEAU DE 2.5 kg - CHUTTE DE 30.5 cm			ESSAI MODIFIÉ (A.S.T.M. D 1557) MARTEAU DE 4.5 kg - CHUTTE DE 45.7 cm		
		Ø cm	VOLUME cm³		POIDS MINIMUM DE MATERIAU	NOMBRE DE COUCHES	NB DE COUPS PAR COUCHE	POIDS MINIMUM DE MATERIAU	NOMBRE DE COUCHES	NB DE COUPS PAR COUCHE
	A NO 4	10.2	943,89	1,059 442	2,5 kg	3	25	3,0 kg	5	25
	B NO 4	15.2	2123,76	0,470 876	6,5 kg	3	56	7,5 kg	5	56
	C 3/4"	10.2	943,89	1,059 442	4,5 kg	3	25	5,5 kg	5	25
	D 3/4"	15.2	2123,76	0,470 876	10,0 kg	3	56	11,5 kg	5	56

CARACTÉRISTIQUES DE L'ESSAI

ESSAI STD. MOD. MÉTHODE: _____

% RETENU SUR TAMIS 19 mm (3/4") NO 4: _____

MOULE: DIAMÈTRE = _____ VOLUME = _____

POIDS DU MARTEAU: _____ HAUTEUR DE CHUTTE: _____

NB DE COUCHES: _____ NB DE COUPS / COUCHE: _____

OBSERVATIONS: _____

ESSAI DYNAMIQUES (VOIR NORMES A.S.T.M.)

ESSAI STD. MOD. MÉTHODE: _____

% RETENU SUR TAMIS 19 mm (3/4") NO 4: _____

MOULE: DIAMÈTRE = _____ VOLUME = _____

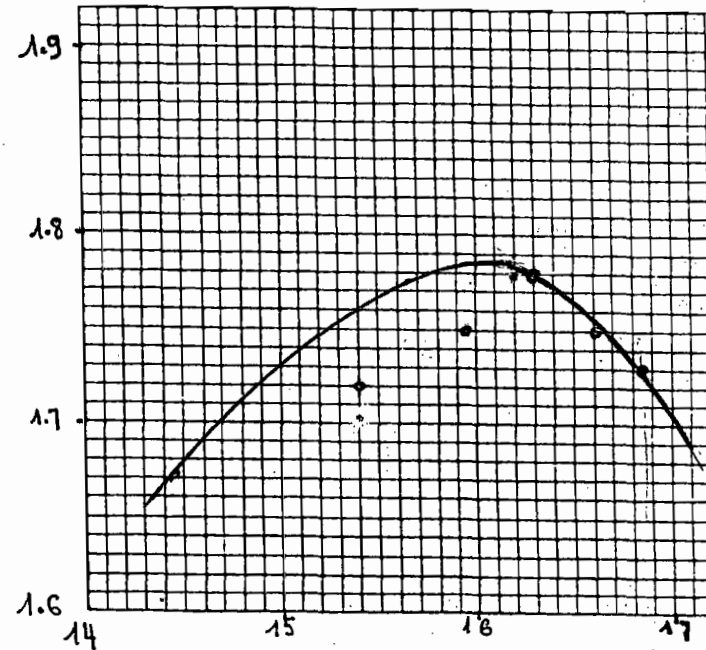
PISTON: DIAMÈTRE = _____ PRESSION = _____

NB DE COUCHES: _____ NB DE COUPS / COUCHE: _____

OBSERVATIONS: _____

RÉSULTATS DE L'ESSAI

γ_d maximum = 1.785 t/m³ - w% optimum = 16.2



POIDS UNITAIRES ESSAI NO	% approximatif d'eau ajoutée	1	2	3	4	5	6
		POIDS DU SOL HUMIDE + MOULE W1 (kg)	3.870	3.940	3.977	4.017	3.986
POIDS DU MOULE TARE (kg)		2.063	-	-	-	-	-
POIDS DU SOL HUMIDE W1 - TARE = WT (kg)		1.807	1.877	1.914	1.954	1.923	1.906
POIDS UNITAIRE TOTAL WT × (1000) / γT (t/m³)		1.914	1.988	2.028	2.070	2.037	2.019
POIDS UNITAIRE SEC - WT / 1.0 + (w% / 100) × γd (t/m³)		1.672	1.723	1.749	1.78	1.746	1.728

RÉCIPIENT NO						
	POIDS DU RÉCIPIENT TARE (g)	55.27	55.70	55.17	54.26	54.58
POIDS DU SOL HUMIDE + RÉCIPIENT W1 (g)	558.90	610.05	559.20	623.66	595.72	660.96
POIDS DU SOL SEC + RÉCIPIENT W2 (g)	495.30	536.07	489.90	543.90	518.56	573.44
POIDS DE L'EAU W1 - W2 + Ww (g)	63.6	73.93	69.3	79.76	77.16	87.52
POIDS DU SOL SEC W2 - TARE = Ws (g)	440.03	480.37	434.74	489.64	463.98	519.40
TENEUR EN EAU (Ww/W1) × 100 = w%	14.45	15.40	15.94	16.29	16.63	16.85

ÉCRIRE BIEN LISIBLLEMENT À L'AIDE D'UN CRAYON À MINE DE PLOMB "H" OU "B" TOUTES LES INFORMATIONS DIRECTEMENT SUR CETTE FEUILLE.

LABORATOIRE DE GEOTECHNIQUE
ANALYSE GRANULOMETRIQUE

ASTM
D 422

IDENTIFICATION

Latérite de THIES

Echantillon prélevé à THIES

Manipulateur A.D.

Calculé _____

Date 1

POIDS TOTAL DE L'ÉCHANTILLON REÇU AU LABORATOIRE & W% NATURELLE

Récipient no.: _____ Sol humide + tare = 1571 g ; Sol sec + tare = 1547 g

Poids de l'eau: _____ g ; Tare = 241 g ; Poids sol sec = 1306 g ; W% = 1.84

% de particules plus grandes que 150 mm (6 po.) = _____

POIDS DE LA FRACTION UTILISÉE (si différente du poids total)	TAMIS		POIDS DU SOL RETENU		% RETENU	% DU SOL PASSANT	
	pouces (mm)	INDIVIDUEL	CUMULATIF	CUMULATIF	CUMULATIF	CUMULATIF	REPORTÉ
	3" (75)						
	2" (50)						
	1 1/2" (37,5)						
	1 (25)						
	3/4" (19) 1/2" (13)	0	0	0	100	100	
	3/8" (9,5)	680	680	10.10	89.90	89.90	
	# 4 (4,75)	2418	3098	46.03	53.97	53.97	
	RÉSIDU	3536	6634				PERTES
							Poids = 96 g ; % = 1.43

RAYEZ LES TAMIS NON UTILISÉS

POIDS DE LA FRACTION UTILISÉE	TAMIS		POIDS DU SOL RETENU		% RETENU	% DU SOL PASSANT	
	Numéro (D mm)	INDIVIDUEL	CUMULATIF	CUMULATIF	CUMULATIF	CUMULATIF	REPORTÉ
	# 4 (4,75)						
	# 8 (2,36) # 10 (2,00)	198.50	198.50	53.52	46.48	25.08	
	# 16 (1,18) # 20 (0,85)	44.32	243.42	65.63	34.37	18.55	
	# 30 (0,60) # 40 (0,42)	25.39	268.81	72.47	27.53	14.86	
	# 50 (0,30) # 60 (0,25)	21.06	289.87	78.15	21.85	11.79	
	# 100 (0,15) # 140 (0,106)	32.18	322.05	86.82	13.18	7.11	
	# 200 (0,075)	13.87	335.92	90.56	9.44	5.09	
	RÉSIDU	33.09	369.01				PERTES
							Poids = 96 g ; % =

REMARQUES (couleur sec-humide, forme des grains, matières organiques, w% nat., etc..)

DESCRIPTION NORMALISÉE : Voir rapport



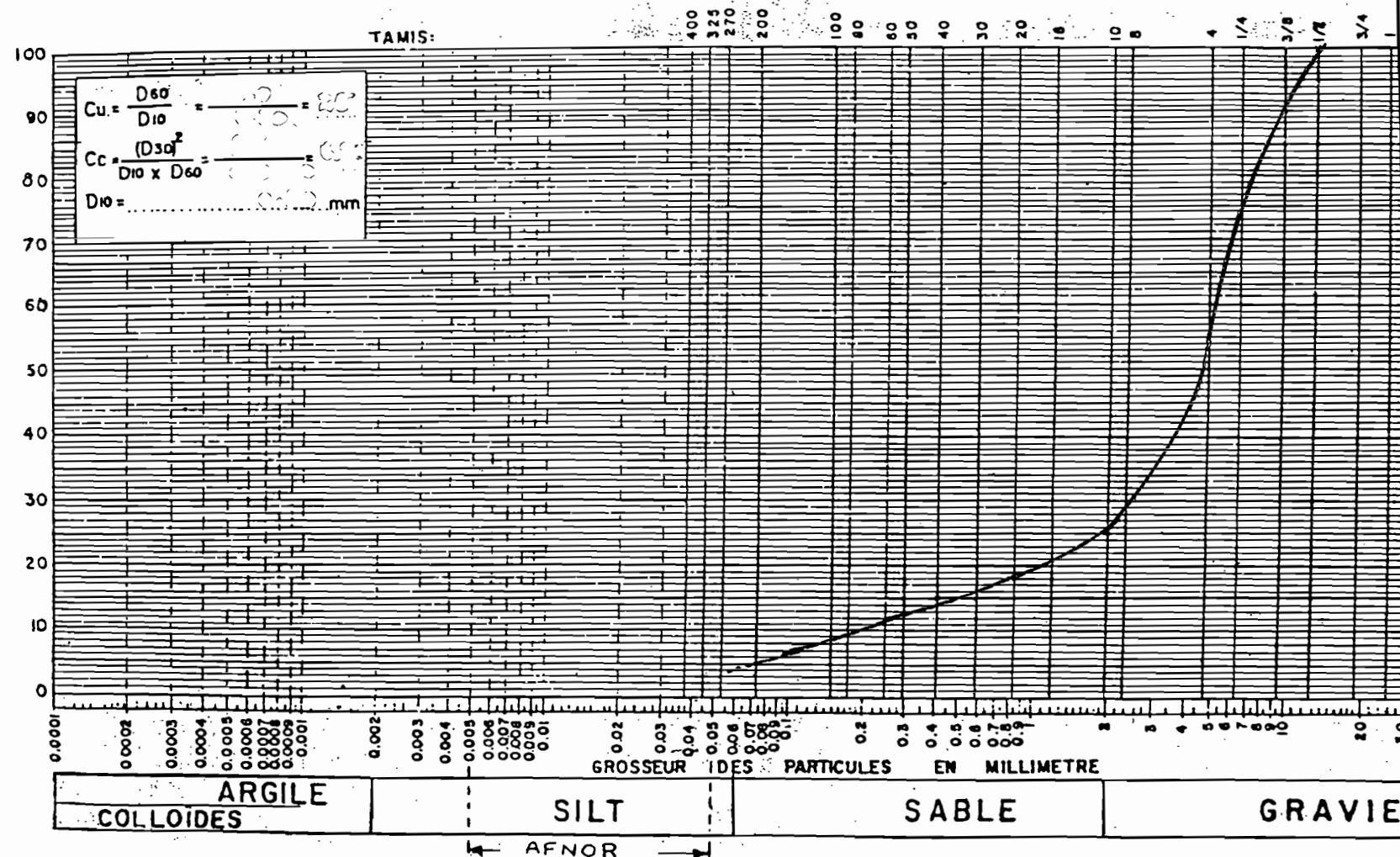
école polytechnique de thiès

Balte Postale 10, Thiès, République du Sénégal

DATE 22/06/88

ECHANTILLON

COURBE GRANULOMETRIQUE



Description : _____

Satellite de THIES

Remarques : _____

ECOLE POLYTECHNIQUE DE THIES

Permeabilité des sols latéritiques

Feuille de mesures

Essai No 2-1 Date 17-01-85

Dimensions de l'échantillm. diam. 13.873 cm Haut. 30 cm

Surface 151.158 cm² volume 4534.74 cm³

Poids des filtres 4159 g

Poids de la cellule 17400 g

Poids cellule + sol + filtres 30284 g

Poids du sol 8725 g

Teneur en eau 12.52 %

Densité sèche γ_d 1.710 t/m³

dénivellation h 65 cm

Test No.	t (sec)	V (cm ³)	T °C
1	44.39	900	26.5
2	44.37	-	-
3	44.40	-	-
4	44.38	-	-
5	44.51	-	-
Moyenne	44.41	900	26.5

$$k_T = \frac{VL}{Aht} = \frac{900 \times 30}{151.158 \times 65 \times 44.41} = 6.19 \times 10^{-2} \text{ cm/s}$$

$$\gamma_T / \gamma_{20} = 0.8598$$

$$k_{20} = k_T \times \frac{\gamma_T}{\gamma_{20}} = 5.32 \times 10^{-2} \text{ cm/s}$$

ECOLE POLYTECHNIQUE DE THIES

Permeabilité des sols latéritiques

Feuille de mesures

Essai No 2.2 Date 20-01-85

Dimensions de l'échantillon. diam. 13.813 cm Haut. 30 cm

Surface 151.158 cm² volume 4534.74 cm³

Poids des filtres 4059 g

Poids de la cellule 17400 g

Poids cellule + sol + filtres 30356 g

Poids du sol 8897 g

Teneur en eau 13.28 %

Densité sèche γ_d 1.732 t/m³

dénivellation h 71.5 cm

Test No.	t (sec)	V (cm ³)	T °C
1	45.52		
2	45.88	900	27
3	45.42		
4	45.50		
5	45.43		
6	45.63		
Moyenne	45.48	900	27

$$k_T = \frac{VL}{Aht} = \frac{900 \times 80}{151.158 \times 71.5 \times 45.48}$$

$$5.49 \times 10^{-2} \text{ cm/s}$$

$$\eta_T / \eta_{20} = 0.9502$$

$$k_{20} = k_T \times \frac{\eta_T}{\eta_{20}} = 4.67 \times 10^{-2} \text{ cm/s}$$

ECOLE POLYTECHNIQUE DE THIES

Permeabilité des sols latéritiques

Feuille de mesures

Essai No 8.3 Date 23.01.85

Dimensions de l'échantillm. diam. 13.813 cm Haut. 30 cm

Surface 151.158 cm² volume 4534.74 cm³

Poids des filtres 4059 g

Poids de la cellule 17400 g

Poids cellule + sol + filtres 30615 g

Poids du sol 9156 g

Teneur en eau 14.86 %

Densité sèche γ_d 1.758 t/m³

Dénivellation h 73 cm

Test N°	t (sec)	V (cm ³)	T °C
1	54.76		
2	54.85	900	26
3	54.87	-	-
4	54.84	-	-
Moyenne	54.83	900	26

$$k_T = \frac{V L}{Aht} = \frac{900 \times 30}{151.158 \times 73 \times 54.83} = 4.46 \times 10^{-2} \text{ cm/s}$$

$$\gamma_T / \gamma_{20} = 0.8694$$

$$k_{20} = k_T \times \frac{\gamma_T}{\gamma_{20}} = 3.88 \times 10^{-2} \text{ cm/s}$$

ECOLE POLYTECHNIQUE DE THIES

Permeabilité des sols latéritiques

Feuille de mesures

Essai No 2.4 Date 25-01-85

Dimensions de l'échantillon: diam. 13.873 cm Haut. 30 cm

Surface 151.158 cm² volume 4534.74 cm³

Poids des filtres 4059 g

Poids de la cellule 17400 g

Poids cellule + sol + filtres 30649 g

Poids du sol 9190 g

Teneur en eau 15.08 %

Densité sèche γ_d 1.761 t/m³

dénivellation h 79 cm

Test No.	t (sec)	V (cm ³)	T °C
1	51.90	900	25
2	52.01	-	-
3	51.97	-	-
Moyenne	51.96	900	25

$$k_T = \frac{VL}{Aht} = \frac{900 \times 30}{151.158 \times 79 \times 51.96} = 4.35 \times 10^{-2} \text{ cm/s}$$

$$k_{20} = k_T \times \frac{\gamma_T}{\gamma_{20}} = 3.87 \times 10^{-2} \text{ cm/s}$$

$$\gamma_T / \gamma_{20} = 0.8893$$

ECOLE POLYTECHNIQUE DE THIES

Permeabilité des sols latéritiques

Feuille de mesures

Essai No 2.5 Date 26-01-85

Dimensions de l'échantillm. diam. 13.873 cm Haut. 30 cm

Surface 151.158 cm² volume 4534.74 cm³

Poids des filtres 4059 g

Poids de la cellule 17400 g

Poids cellule + sol + filtres 30864 g

Poids du sol 9405 g

Teneur en eau 15.87 %

Densité sèche γ_d 1.790 t/m³

dénivellation h 84 cm

Test No.	t (sec)	V (cm ³)	T °C
1	46.60	700	25.5
2	46.61	-	-
3	46.65	-	-
Moyenne	46.62	700	25.5

$$k_T = \frac{VL}{Aht} = \frac{700 \times 30}{151.158 \times 84 \times 46.62}$$

$$3.55 \times 10^{-2} \text{ cm/s}$$

$$\gamma_T / \gamma_{20} = 0.8794$$

$$k_{20} = k_T \times \frac{\gamma_T}{\gamma_{20}} = 3.12 \times 10^{-2} \text{ cm/s}$$

ECOLE POLYTECHNIQUE DE THIES

Permeabilité des sols latéritiques

Feuille de mesures

Essai No 2-6 Date 29-01-85

Dimensions de l'échantillm. diam. 13.813 cm Haut. 30 cm

Surface 151.158 cm² volume 4534.74 cm³

Poids des filtres 4059 g

Poids de la cellule 17400 g

Poids cellule + sol + filtres 30689 g

Poids du sol 9230 g

teneur en eau 16.18 %

densité sèche γ_d 1.752 t/m³

dénivellation h 82.5 cm

Test N.	t (sec)	V (cm ³)	T °C
1	26.24	900	26
2	26.02	-	-
3	27.28	-	-
4	27.40	-	-
5	27.52	-	-
Moyenne	26.89	900	26

$$k_T = \frac{VL}{Aht} = \frac{900 \times 30}{151.158 \times 82.5 \times 26.89}$$

$$8.05 \times 10^{-2} \text{ cm/s}$$

$$\eta_T / \eta_{20} = 0.8694$$

$$k_{20} = k_T \times \frac{\eta_T}{\eta_{20}} = 7.00 \times 10^{-2} \text{ cm/s}$$

ECOLE POLYTECHNIQUE DE THIES

Permeabilité des sols latéritiques

Feuille de mesures

Essai No 2.1 Date 01-02-85

Dimensions de l'échantillm. diam. 13.813 cm Haut. 30 cm

Surface 151.158 cm² volume 4534.74 cm³

Poids des filtres 4059 g

Poids de la cellule 17400 g

Poids cellule + sol + filtres 30698 g

Poids du sol 9239 g

teneur en eau 16.29 %

densité sèche γ_d 1.752 t/m³

dénivellation h 75 cm

Test No.	t (sec)	V (cm ³)	T °C
1	29.91		
2	30.68	900	27
3	29.10	-	-
4	31.68	-	-
5	29.31	-	-
6	29.79	-	-
Moyenne	30.09	900	27

$$k_T = \frac{V L}{A h t} = \frac{900 \times 30}{151.158 \times 75 \times 30.09}$$

$$7.91 \times 10^{-2} \text{ cm/s}$$

$$\eta_T / \eta_{20} = 0.8502$$

$$k_{20} = k_T \times \frac{\eta_T}{\eta_{20}} = 6.73 \times 10^{-2} \text{ cm/s}$$

ECOLE POLYTECHNIQUE DE THIES

Permeabilité des sols latéritiques

Feuille de mesures

Essai No 2-8 Date 05-02-85

Dimensions de l'échantillon. diam. 13.873 cm Haut. 30 cm

Surface 151.158 cm² volume 4534.74 cm³

Poids des filtres 4059 g

Poids de la cellule 17400 g

Poids cellule + sol + filtres 30611 g

Poids du sol 9052 g

Teneur en eau 17.28 %

Densité sèche γ_d 1.702 t/m³

dénivellation h 69.5 cm.

Test N°	t (sec)	V (cm ³)	T °C
1	29.83		
2	29.68	900	25
3	29.20		
4	27.67	-	-
5	30.79		
6	28.16	-	-
Moyenne	29.05	900	25

$$k_T = \frac{VL}{Aht} = \frac{900 \times 30}{151.158 \times 69.5 \times 29.05} = 8.86 \times 10^{-2} \text{ cm/s}$$

$$\gamma_T / \gamma_{20} = 0.8893$$

$$k_{20} = k_T \times \frac{\gamma_T}{\gamma_{20}} = 7.87 \times 10^{-2} \text{ cm/s}$$

école polytechnique de thiès

82

ESSAI DE COMPACTAGE

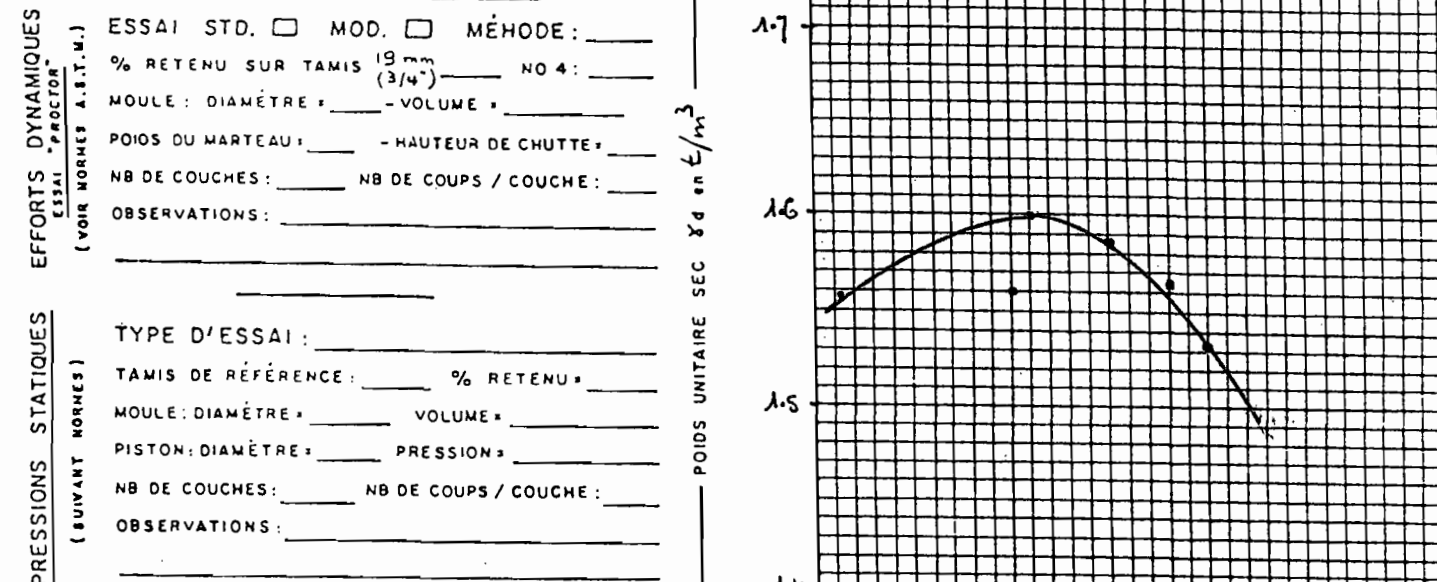
PROJET:	Permeabilité des sols latéritiques	
EMPLACEMENT:	E.P.T	ESSAI No: 3

CARACTÉRISTIQUES DU MATERIAU	DESCRIPTION: Latérite
	PROVENANCE: THIES.
	REMARQUES: Présence de matières organiques (racines et feuilles mortes)

ESSAI PAR:	LE:	CALCULÉ PAR:	LE:	VÉRIFIÉ PAR:	LE: 07-02
------------	-----	--------------	-----	--------------	-----------

NORMES A.S.T.M. POUR ESSAI PROCTOR	MÉTHODE	ESSAI SUR MATERIAU PASSANT LE TAMIS:	MOULE		$\gamma_T = W_T \times \text{parc}$ $\frac{1000}{V}$	ESSAI STANDARD (A.S.T.M. D 698) MARTEAU DE 2.5 kg - CHUTTE DE 30.5 cm			ESSAI MODIFIÉ (A.S.T.M. D 1557) MARTEAU DE 4.5 kg - CHUTTE DE 45.7 cm		
			Ø cm	VOLUME cm³		Poids Minimum de Matériau	Nombre de couches	Nb de coups par couche	Poids Minimum de Matériau	Nombre de couches	Nb de coups par couche
A	NO 4	10.2	943,89	1,059 442	2,5 kg	3	25	3,0 kg	5	25	
B	NO 4	15.2	2123,76	0,470 876	6,5 kg	3	56	7,5 kg	5	56	
C	3/4"	10.2	943,89	1,059 442	4,5 kg	3	25	5,5 kg	5	25	
D	3/4"	15.2	2123,76	0,470 876	10,0 kg	3	56	11,5 kg	5	56	

CARACTÉRISTIQUES DE L'ESSAI



RÉSULTATS DE L'ESSAI	
γ_d maximum = _____	t/m^3 - w% optimum = _____

POIDS UNITAIRES	ESSAI NO	% approximatif d'eau ajoutée	TENEUR EN EAU w%					
			1	2	3	4	5	6
POIDS DU SOL HUMIDE + MOULE	W1 (kg)	1.85	3.712	3.743	3.711	3.711	3.711	3.711
POIDS DU MOULE	TARE (kg)	1.63	-	-	-	-	-	-
POIDS DU SOL HUMIDE	W1 - TARE - WT (kg)	..	1.643	1.681
POIDS UNITAIRE TOTAL	$WT \times \left(\frac{1000}{V}\right) \gamma_T (\text{t}/\text{m}^3)$..	1.747	1.711
POIDS UNITAIRE SEC	$\gamma_d = \frac{\text{WT}}{1.0 + (w\% / 100)} (\text{t}/\text{m}^3)$..	1.711	1.711	1.711	1.711	1.711	1.711

TENEURS EN EAU	RÉCIPIENT NO					
	POIDS DU RÉCIPIENT	TARE (g)	POIDS DU SOL HUMIDE + RÉCIPIENT	W1 (g)	POIDS DU SOL SEC + RÉCIPIENT	W2 (g)
POIDS DE L'EAU	W1 - W2 = Ww (g)
POIDS DU SOL SEC	W2 - TARE = Ws (g)
TENEUR EN EAU	$(Ww/Ws) \times 100 = w\%$	16

école polytechnique de thiès

X3

LABORATOIRE DE GEOTECHNIQUE ANALYSE GRANULOMETRIQUE

ASTM
D 422

IDENTIFICATION

Qualité de THIES

Echantillon prélevé à

THIES

Manipulateur

A.D.

Calculé

Date 12-02-88

POIDS TOTAL DE L'ÉCHANTILLON REÇU AU LABORATOIRE & W% NATURELLE

Récipient no.: _____ Sol humide + tare = _____ g ; Sol sec + tare = _____ g

Poids de l'eau = _____ g ; Tare = _____ g ; Poids sol sec = _____ g ; W% = _____

% de particules plus grandes que 150 mm (6 po.) = _____

POIDS DE LA FRACTION UTILISÉE (si différente du poids total)	TAMIS		POIDS DU SOL RETENU		% RETENU	% DU SOL PASSANT
	pouces (mm)	INDIVIDUEL	CUMULATIF	CUMULATIF	CUMULATIF	CUMULATIF REPORTÉ
	3" (75)					
	2" (50)					
	1 1/2" (37,5)					
	1 (25)					
	3/4" (19) 1/2" (13)					
	3/8" (9,5)	0	0	0	100	100
Remarques	# 4 (4,75)	2428	2428	39.63	60.37	60.37
ECHANTILLON	③					
	RÉSIDU	3567	5995			
					PERTES	
					Poids =	g ; % =

RAYEZ LES TAMIS NON UTILISÉS

POIDS DE LA FRACTION UTILISÉE	TAMIS		POIDS DU SOL RETENU		% RETENU	% DU SOL PASSANT
	Numéro (D mm)	INDIVIDUEL	CUMULATIF	CUMULATIF	CUMULATIF	CUMULATIF REPORTÉ
Recipient no.:	# 4 (4,75)					
Sol + tare =	# 8 (2,36)	# 10 (2,00)	222.77	222.77	51.1	
Tare =	# 16 (1,18)	# 20 (0,85)	58.71	280.88	*	
Sol sac =	# 30 (0,60)	# 40 (0,42)	33.33	314.21	*	
SÉCHAGE	# 50 (0,30)	# 60 (0,25)	27.82	342.03	*	
<input type="checkbox"/> Air <input type="checkbox"/> Four	# 100 (0,15)	# 140 (0,106)	36.4	378.43	*	
TAMISAGE	# 200 (0,075)	RÉSIDU	16.66	395.09		
<input type="checkbox"/> à sec <input type="checkbox"/> lavage						
SEDIMENTOMÉTRIE						
<input type="checkbox"/> oui <input type="checkbox"/> non						
					PERTES	
					Poids =	g ; % =

REMARQUES (couleur sec-humide, forme des grains, matière organiques, W% nat., etc..)

DESCRIPTION NORMALISÉE :



école polytechnique de thies

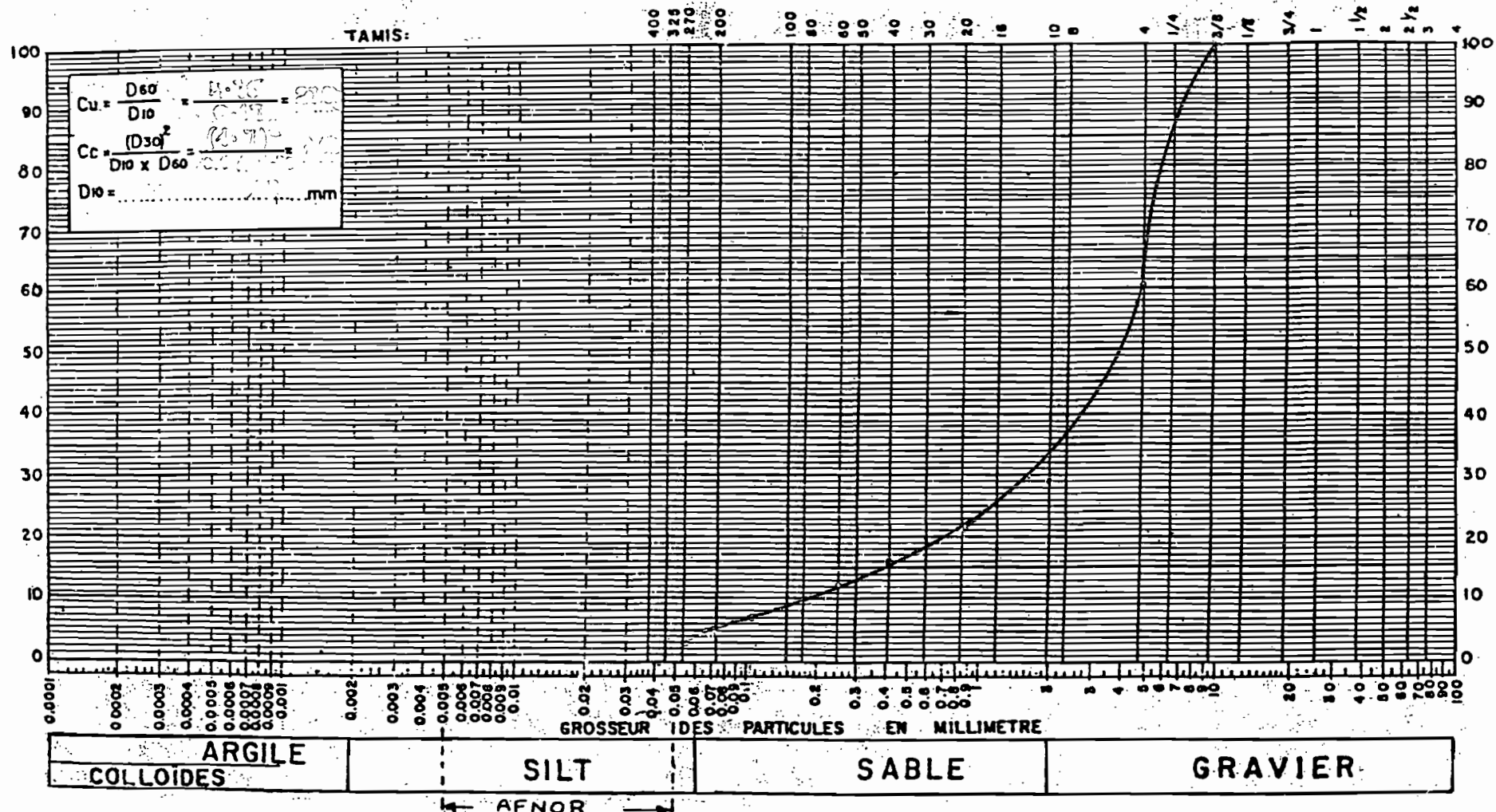
Balte Postale 10, Thies, République du Sénégal

48

DATE

COURBE GRANULOMETRIQUE

ECHANTILLON NO. 3



Description :

Série de THIES

Remarques :

ECOLE POLYTECHNIQUE DE THIES

Permeabilité des sols latéritiques

Feuille de mesures

Essai No 3.1 Date 14-02-85

Dimensions de l'échantillm. diam. 13.873 cm Haut. 30 cm

Surface 151.158 cm² volume 4534.74 cm³

Poids des filtres 4077 g

Poids de la cellule 17400 g

Poids cellule + sol + filtres 28998 g

Poids du sol 7521 g

Teneur en eau 10.57 %

Densité sèche γ_d 1.500 t/m³

dénivellation h 70 cm

Test N°	t (sec)	V (cm ³)	T °C
1	32.02	700	26
2	32.02	-	-
3	32.02	-	-
Moyenne	32.	700	26

$$k_T = \frac{VL}{Aht} = \frac{0.023}{451.158}$$

$$G = \text{cm/s}$$

$$\gamma_T / \gamma_{z_0} = 0.8834$$

$$k_{20} = k_T \times \frac{\gamma_T}{\gamma_{z_0}} = 5.4986 \text{ cm/s}$$

ECOLE POLYTECHNIQUE DE THIESPermeabilité des sols latéritiquesFeuille de mesures

Essai No 3.2 Date 17-02-85

Dimensions de l'échantillm. diam. 13.873 cm Haut. 30 cm

Surface 151.158 cm² volume 4534.74 cm³

Poids des filtres 4071 g

Poids de la cellule 17400 g

Poids cellule + sol + filtres 29277 g

Poids du sol 7806 g

teneur en eau 11.20 %

densité sèche γ_d 1.548 t/m³

dénivellation h 94 cm

TestNo.	t (sec)	V (cm ³)	T °C
1	28.57	700	26
2	28.20	-	-
3	28.46	-	-
4	28.58	-	-
5	28.40	-	-
6	28.44	-	-
Moyenne	28.41	700	26

$$k_T = \frac{VL}{Aht} = \frac{700 \times 30}{151.158 \times 94 \times 28.41} = 5.80 \times 10^{-5} \text{ cm/s}$$

$$\eta_T / \eta_{20} = 0.8694$$

$$k_{20} = k_T \times \frac{\eta_T}{\eta_{20}} = 4.52 \times 10^{-2} \text{ cm/s}$$

ECOLE POLYTECHNIQUE DE THIES

Permeabilité des sols latéritiques

Feuille de mesures

Essai No 3.3 Date 20-02-85

Dimensions de l'échantill. diam. 13.873 cm Haut. 30 cm

Surface 151.158 cm² volume 4534.74 cm³

Poids des filtres 4107 g

Poids de la cellule 17400 g

Poids cellule + sol + filtres 28500 g

Poids du sol 7993 g

Teneur en eau 11.57 %

Densité sèche γ_d 1.581 t/m³

dénivellation h 77.5 cm

Test No.	t (sec)	V (cm ³)	T °C
1	36.53	700	25
2	36.19	-	-
3	35.91	-	-
4	35.88	-	-
5	36.58	-	-
6	35.80	-	-
Moyenne	36.14	700	25

$$k_T = \frac{VL}{Aht} = \frac{700 \times 30}{151.158 \times 77.5 \times 36.14}$$

$$4.96 \times 10^{-2} \text{ cm/s}$$

$$\eta_T / \eta_{20} = 0.8993$$

$$k_{20} = k_T \times \frac{\eta_T}{\eta_{20}} = 4.41 \times 10^{-2} \text{ cm/s}$$

ECOLE POLYTECHNIQUE DE THIESPermeabilité des sols latéritiquesFeuille de mesures

Essai No 3-4 Date 23-02-85

Dimensions de l'échantillon. diam. 13.873 cm Haut. 30 cm

Surface 151.158 cm² volume 4534.74 cm³

Poids des filtres 4059 g

Poids de la cellule 17400 g

Poids cellule + sol + filtres 29831 g

Poids du sol 8372 g

teneur en eau 12.1 %

densité sèche γ_d 1.647 t/m³

dénivellation h 78.5 cm

Test No.	t (sec)	V (cm ³)	T °C
1	55.10	700	24
2	55.18	-	-
3	14	-	-
4	18	-	-
5	70	-	-
6	18	-	-
Moyenne	55	700	24

$$k_T = \frac{VL}{Aht}$$

$$cm/s \quad k_{20} = k_T \times \frac{\gamma_T}{\gamma_{20}} = 2.91 \times 10^2 \text{ cm/s}$$

$$\gamma_T / \gamma_{20} = 0.9091$$

ECOLE POLYTECHNIQUE DE THIES

Permeabilité des sols latéritiques

Feuille de mesures

Essai No 3.5 Date 26-02-85

Dimensions de l'échantillon. diam. 13.873 cm Haut. 30 cm

Surface 151.158 cm² volume 4534.74 cm³

Poids des filtres 4051 g

Poids de la cellule 17400 g

Poids cellule + sol + filtres 29793 g

Poids du sol 8342 g

Teneur en eau 14.48 %

Densité sèche γ_d 1.607 t/m³

dénivellation h 93 cm

Test No.	t (sec)	V (cm ³)	T °C
1	38.22		
2	38.23	700	27
3	38.59	-	-
4	38.64	-	-
5	38.41	-	-
6	38.94	-	-
Moyenne	38.50	700	27

$$k_T = \frac{VL}{Aht} = \frac{700 \times 10^{-6}}{151.158 \times 30 \times 38.5}$$

$$3.30 \times 10^{-5} \text{ cm/s}$$

$$\eta_T / \eta_{20} = 0.8502$$

$$k_{20} = k_T \times \frac{\eta_T}{\eta_{20}} = 3.30 \times 10^{-2} \text{ cm/s}$$

90

ECOLE POLYTECHNIQUE DE THIES

Permeabilité des sols latéritiques

Feuille de mesures

Essai No 3-6 Date 01-03-85

Dimensions de l'échantillon. diam. 13.873 cm Haut. 30 cm

Surface 151.158 cm² volume 4534.74 cm³

Poids des filtres 4090 g

Poids de la cellule 17400 g

Poids cellule + sol + filtres 29652 g

Poids du sol 8162 g

Teneur en eau 15.42 %

Densité sèche γ_d 1.560 t/m³

dénivellation h 86 cm

Test N°	t (sec)	V (cm ³)	T °C
1	23.69	-	-
2	23.81	700	25.5
3	23.85	-	-
4	23.74	-	-
5	23.74	-	-
Moyenne	23.73	700	25.5

$$k_T = \frac{VL}{Aht} \quad \text{Aht} = 15$$

G cm/s

$$\gamma_T / \gamma_{20} = 0.9794$$

$$k_{20} = k_T \times \frac{\gamma_T}{\gamma_{20}} = 5.97 \times 10^{-2} \text{ cm/s}$$

ECOLE POLYTECHNIQUE DE THIES

Permeabilité des sols latéutiques

Feuille de mesures

Essai No 3.7 Date 05-03-85

Dimensions de l'échantillm. diam. 13.873 cm Haut. 30 cm

Surface 151.158 cm² volume 4534.74 cm³

Poids des filtres 4087 g

Poids de la cellule 17400 g

Poids cellule + sol + filtres 29255 g

Poids du sol 7768 g

teneur en eau 15.83 %

densité sèche γ_d 1.479 t/m³

dénivellation h 66.4 cm

Test No.	t (sec)	V (cm ³)	T °C
1	21.52		
2	21.63	700	21.5
3	21.53	-	-
4	21.41	-	-
5	21.29	-	-
6	21.47	-	-
Moyenne	21.39	700	21.5

$$k_T = \frac{VL}{Aht} = \frac{700 \times 80}{151.158 \times 66.4 \times 21.39} = 9.78 \times 10^{-5} \text{ cm/s}$$

$$\eta_T / \eta_{20} = 0.8410$$

$$k_{20} = k_T \times \frac{\eta_T}{\eta_{20}} = 8.23 \times 10^{-5} \text{ cm/s}$$

école polytechnique de thiès

92

ESSAI DE COMPACTAGE

PROJET: Permeabilité des sols latéritiques		
EMPLACEMENT:	E.P.T	ESSAI No: 4

CARACTÉRISTIQUES DU MATERIAU	DESCRIPTION: Latérite
	PROVENANCE: THIES.
	REMARQUES: présence de matières organiques (racines et feuilles mortes)

ESSAI PAR:	LE:	CALCULÉ PAR:	LE:	VÉRIFIÉ PAR:	LE: 12.03
------------	-----	--------------	-----	--------------	-----------

NORMES A.S.T.M. POUR ESSAI PROCTOR	MÉTHODE ESSAI SUR MATERIAU PASSANT LE TAMIS:	MOULE		$\gamma_d = W_T \times \rho_{H_2O}$ 1000 V	ESSAI STANDARD (A.S.T.M. D 698) MARTEAU DE 2.5 kg - CHUTTE DE 30.5 cm			ESSAI MODIFIÉ (A.S.T.M. D 1557) MARTEAU DE 4.5 kg - CHUTTE DE 45.7 cm			
		Ø	VOLUME cm ³		POIDS MINIMUM DE MATERIAU	NOMBRE DE COUCHES	NB DE COUPS PAR COUCHE	POIDS MINIMUM DE MATERIAU	NOMBRE DE COUCHES	NB DE COUPS PAR COUCHE	
	A	NO 4	10.2	943,89	1,059 442	2,5 kg	3	25	3,0 kg	5	25
	B	NO 4	15.2	2123,76	0,470 876	6,5 kg	3	56	7,5 kg	5	56
	C	3/4"	10.2	943,89	1,059 442	4,5 kg	3	25	5,5 kg	5	25
	D	3/4"	15.2	2123,76	0,470 876	10,0 kg	3	56	11,5 kg	5	56

CARACTÉRISTIQUES DE L'ESSAI

ESSAI STO. MOD. MÉTHODE: _____

% RETENU SUR TAMIS 19 mm (3/4") NO 4: _____

MOULE: DIAMÈTRE = _____ VOLUME = _____

POIDS DU MARTEAU: _____ HAUTEUR DE CHUTTE: _____

NB DE COUCHES: _____ NB DE COUPS / COUCHE: _____

OBSERVATIONS: _____

TYPE D'ESSAI: _____

TAMIS DE RÉFÉRENCE: _____ % RETENU: _____

MOULE: DIAMÈTRE: _____ VOLUME: _____

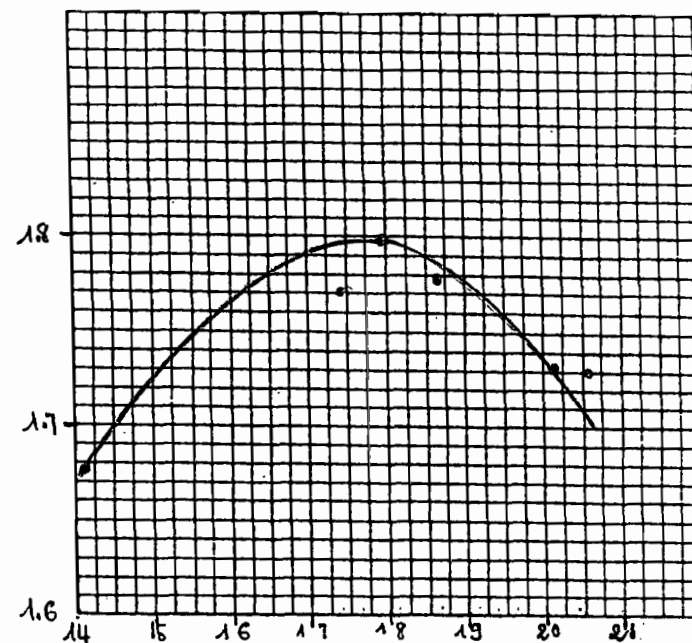
PISTON: DIAMÈTRE: _____ PRESSION: _____

NB DE COUCHES: _____ NB DE COUPS / COUCHE: _____

OBSERVATIONS: _____

RÉSULTATS DE L'ESSAI

γ_d maximum = _____ t/m³ - w% optimum = 12



POIDS UNITAIRES	ESSAI NO	% approximatif d'eau ajoutée	1	2	3	4	5	6		
			POIDS DU SOL HUMIDE + MOULE	W ₁ (kg)	3.868	4.067	4.027	4.026	4.055	4.032
			POIDS DU MOULE	TARE (kg)	2.063	-	-	-	-	-
			POIDS DU SOL HUMIDE	W ₁ - TARE	1.805	2.004	1.964	1.963	1.992	1.969
			POIDS UNITAIRE TOTAL	W ₁ * $(\frac{100}{100 + \%})$ * γ_d (t/m ³)	1.912	2.123	2.081	2.080	2.110	2.086
			POIDS UNITAIRE SEC	$\gamma_d / 1.0 + (\% / 100) \cdot \gamma_d$ (t/m ³)	1.75	1.800	1.731	1.771	1.778	1.730

TENEUR EN EAU	RÉCIPIENT NO							
		POIDS DU RÉCIPIENT	TARE (g)					
		POIDS DU SOL HUMIDE + RÉCIPIENT	W ₁ (g)					
		POIDS DU SOL SEC + RÉCIPIENT	W ₂ (g)					
		POIDS DE L'EAU	W ₁ - W ₂ = W _w (g)					
		POIDS DU SOL SEC	W ₂ - TARE = W _s (g)					
		TENEUR EN EAU	(W _w / W _s) * 100 = w%					

ÉCRIRE BIEN LISIBLÉMENT À L'AIDE D'UN CHAVON À MINE DE PLOMBE "H9 44 B" TOUTES LES INFORMATIONS DIRECTEMENT SUR CETTE FEUILLE.

école polytechnique de thiès

LABORATOIRE DE GEOTECHNIQUE

ASTM
D 422

LABORATOIRE DE GEOTECHNIQUE
ANALYSE GRANULOMETRIQUE

POIDS TOTAL DE L'ÉCHANTILLON REÇU AU LABORATOIRE & W% NATURELLE

Recipient no.: _____ Sol humide + tara: _____ g ; Sol sec + tara: _____ g

Poids de l'eau : _____ g ; Tare = _____ g ; Poids sol sec = _____ g ; W% = _____

% de particules plus grandes que 150 mm (6 po.) = _____

POIDS DE LA FRACTION UTILISÉE (si différente du poids total)	TAMIS pouces (mm)	POIDS DU SOL RETENU		% RETENU	% DU SOL PASSANT	
		INDIVIDUEL	CUMULATIF	CUMULATIF	CUMULATIF	CUMULATIF REPORTÉ
Récipient no. :	3" (75)					
Sol + tara =	2" (50)					
Tara =	1 1/2" (37,5)					
Sol sec =	1" (25)					
<u>SÉCHAGE</u>						
<input type="checkbox"/> Air	<input type="checkbox"/> Four	3/4" (19)	1/2" (13)			
		3/8" (9,5)				
Remarques	# 4 (4,75)					
ECHANTILLON (4)	RÉSIDU				<u>PERTES</u>	
					POIDS =	g : %

RAYEZ LES TAMIS NON UTILISÉS

POIDS DE LA FRACTION UTILISÉE	TAMIS NUMÉRO (D mm)	POIDS DU SOL RETENU		% RETENU CUMULATIF	% DU SOL PASSANT CUMULATIF	CUMULATIF REPORTÉ
		INDIVIDUEL	CUMULATIF			
Recipient no. : _____	# 4 (4,75)	0	0	0		100
Sol + tare = 1264 g	# 8 (2,36)	# 10 (2,00)	506.74	506.74	49.54	50.46
Tare = 2.41 g	# 16 (1,18)	# 20 (0,85)	198.39	705.13	68.93	31.07
Sol sac = 1.23 g	# 30 (0,60)	# 40 (0,42)	90.08	795.21	77.73	22.27
<u>SÉCHAGE</u>	# 50 (0,30)	# 60 (0,25)	63.41	858.70	83.94	16.06
<input type="checkbox"/> Air <input type="checkbox"/> Four	# 100 (0,15)	# 140 (0,106)	82.11	941.41	92.02	7.98
<u>TAMISAGE</u>	# 200 (0,075)		28.40	969.81	94.80	5.20
<input type="checkbox"/> à sec <input type="checkbox"/> lavage	RÉSIDU	48.95	1018.76			PERTES
<input type="checkbox"/> oui <input type="checkbox"/> non				Poids = 4.24 g	% = 0.41	

REMARQUES (couleur sec-humide, forme des grains, matières organiques, w% nat., etc.)

DESCRIPTION NORMALISÉE



école polytechnique de thiès

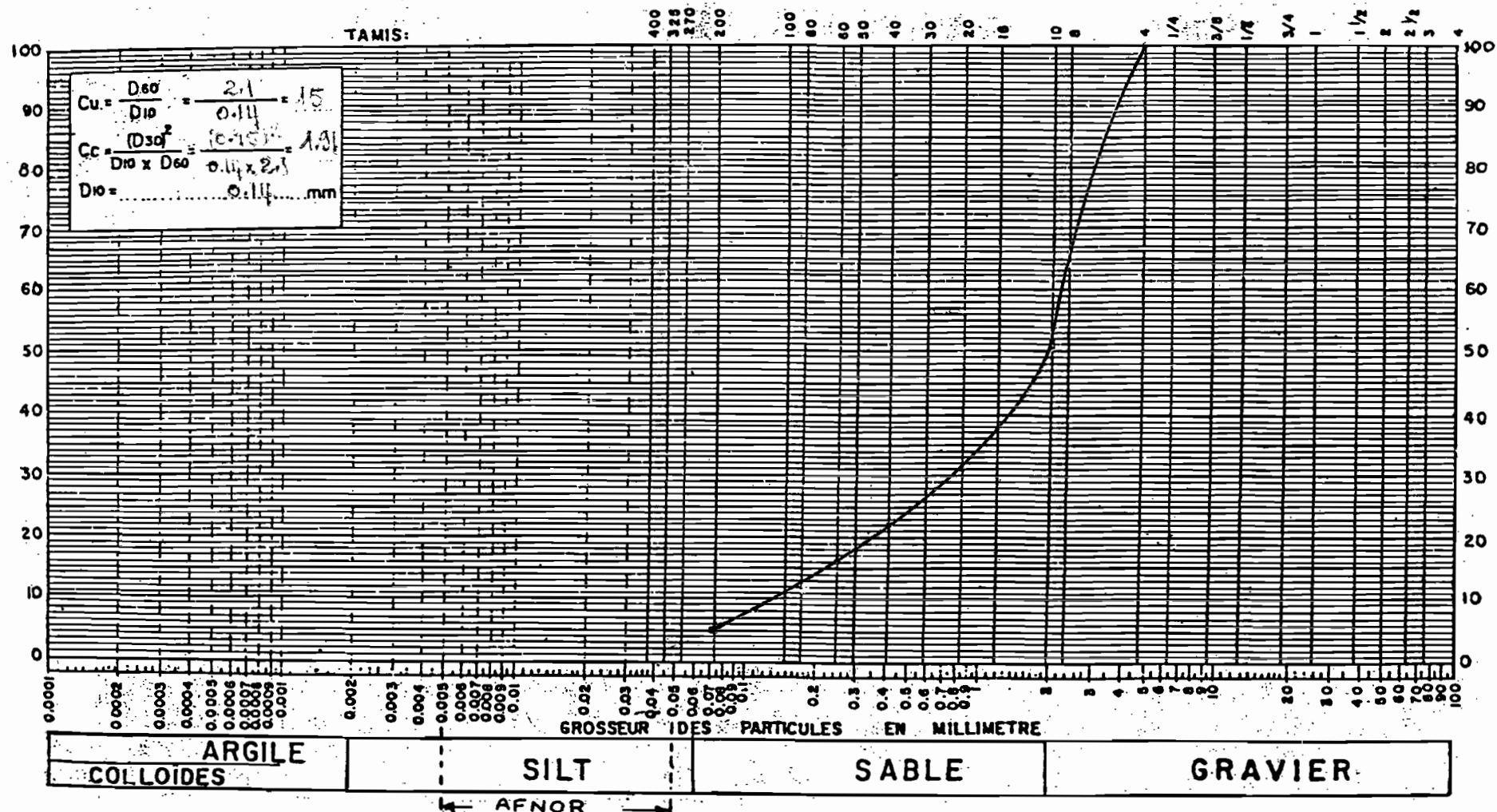
Boîte Postale 10, Thiès, République du Sénégal

16
F

DATE _____

ECHANTILLON NO. 4

COURBE GRANULOMETRIQUE



Description :

Sablage de THIES

Remarques :

ECOLE POLYTECHNIQUE DE THIES

Permeabilité des sols latéritiques

Feuille de mesures

Essai No 4-3 Date 30-03-85

Dimensions de l'échantillm. diam. 13.873 cm Haut. 30 cm

Surface 151.158 cm² volume 4534.74 cm³

Poids des filtres 4081 g

Poids de la cellule 17400 g

Poids cellule + sol + filtres 31064 g

Poids du sol 9573 g

Teneur en eau 17.68 %

Densité sèche γ_d 1.794 t/m³

dénivellation h 10 ? cm

Test No.	t (sec)	V (cm ³)	T °C
Moyenne			

$$k_T = \frac{Vt}{Aht} = \dots$$

$$\gamma_T / \gamma_{20} = \dots$$

0 cm/s

$$k_{20} = k_T \times \frac{\gamma_T}{\gamma_{20}} = 0 \text{ cm/s}$$

Remarque Limite de perméabilité; la pression de la colonne d'eau est faible, pendant 48 heures l'eau n'arrive pas à traverser l'échantillon.

96

ECOLE POLYTECHNIQUE DE THIES

Permeabilité des sols latéutiques

Feuille de mesures

Essai No 4-2 Date 26-03-85

Dimensions de l'échantillm. diam. 13.873 cm Haut. 30 cm

Surface 151.158 cm² volume 4534.74 cm³

Poids des filtres 41.50 g

Poids de la cellule 17400 g

Poids cellule + sol + filtres 30678 g

Poids du sol 9428 g

teneur en eau 16.67 %

densité sèche γ_d 1.782 t/m³

dénivellation h 100 cm

Test No.	t (sec)	V (cm ³)	T °C
1	1440	211	26
2	1500	217	26
3	1815	267.3	26
Moyenne	1585	231.8	26

$$k_T = \frac{VL}{Aht} = \frac{231.8 \times 30}{151.158 \times 100 \times 1585} = 2.9 \times 10^{-4} \text{ cm/s}$$

$$k_{20} = k_T \times \frac{\gamma_T}{\gamma_{20}} = 2.52 \times 10^{-4} \text{ cm/s}$$

école polytechnique de thiès

98

ESSAI DE COMPACTAGE

PROJET:	Permeabilité des sols latéritiques	
EMPLACEMENT:	E.P.T	ESSAI No: 5

CARACTÉRISTIQUES DU MATERIAU	DESCRIPTION: Latérite PROVENANCE: THIES REMARQUES: présence de matières organiques (racines et feuilles mortes)
------------------------------	---

ESSAI PAR:	LE:	CALCULÉ PAR:	LE:	VÉRIFIÉ PAR:	LE:
------------	-----	--------------	-----	--------------	-----

NORMES A.S.T.M. POUR ESSAI PROCTOR	MÉTHODE	ESSAI SUR MATERIAU PASSANT LE TAMIS:	MOULE	$\gamma_T = W_T \times \rho_{H_2O}$ $\frac{1000}{V}$	ESSAI STANDARD (A.S.T.M. D 698) MARTEAU DE 2.5 kg - CHUTTE DE 30.5 cm			ESSAI MODIFIÉ (A.S.T.M. D 1557) MARTEAU DE 4.5 kg - CHUTTE DE 45.7 cm			
					POIDS MINIMUM DE MATERIAU	NOMBRE DE COUCHES	NB DE COUPS PAR COUCHE	POIDS MINIMUM DE MATERIAU	NOMBRE DE COUCHES	NB DE COUPS PAR COUCHE	
	(A)	NO 4	10.2	943,89	1,059 442	2,5 kg	3	25	3,0 kg	3	25
	B	NO 4	15.2	2123,76	0,470 876	6,5 kg	3	56	7,5 kg	5	56
	C	3/4"	10.2	943,89	1,059 442	4,5 kg	3	25	5,5 kg	5	25
	D	3/4"	15.2	2123,76	0,470 876	10,0 kg	3	56	11,5 kg	5	56

CARACTÉRISTIQUES DE L'ESSAI

EFFORTS DYNAMIQUES
ESSAI "PROCTOR"
(VOIR NORMES A.S.T.M.)

ESSAI STO. MOD. MÉTHODE: _____

% RETENU SUR TAMIS (9 mm) NO 4: _____

MOULE: DIAMÈTRE: _____ VOLUME: _____

POIDS DU MARTEAU: _____ HAUTEUR DE CHUTTE: _____

NB DE COUCHES: _____ NB DE COUPS / COUCHE: _____

OBSERVATIONS: _____

PRESSEURS STATIQUES
(SUIVANT NORMES)

TYPE D'ESSAI: _____

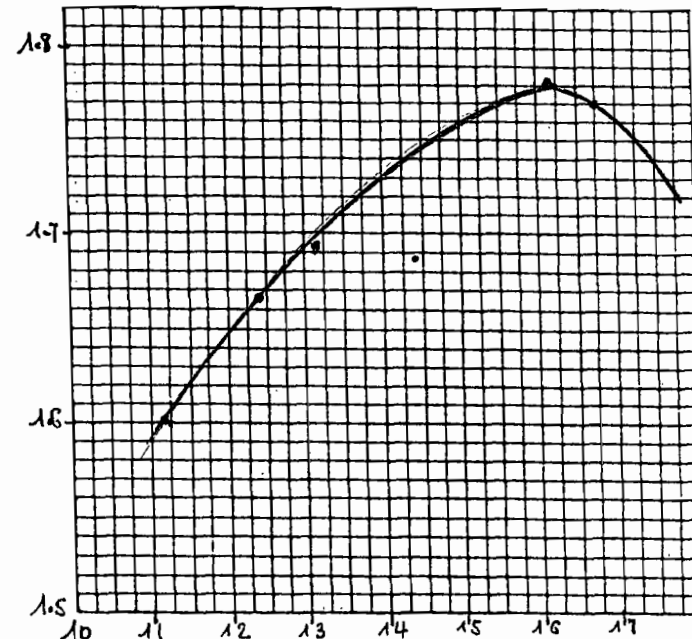
TAMIS DE RÉFÉRENCE: _____ % RETENU: _____

MOULE: DIAMÈTRE: _____ VOLUME: _____

PISTON: DIAMÈTRE: _____ PRESSION: _____

NB DE COUCHES: _____ NB DE COUPS / COUCHE: _____

OBSERVATIONS: _____



RÉSULTATS DE L'ESSAI

γ_d maximum = _____ t/m³ - w% optimum = _____

TENEUR EN EAU - %

POIDS UNITAIRES	ESSAI NO	% approximatif d'eau ajoutée	1	2	3	4	5	6	
			POIDS DU SOL HUMIDE + MOULE	W ₁ (kg)	3.829	3.872	3.885	4.019	4.014
			POIDS DU MOULE	TARE (kg)	-	-	-	-	-
			POIDS DU SOL HUMIDE	W ₁ - TARE = W _T (kg)	1.768	1.809	1.822	1.956	1.951
			POIDS UNITAIRE TOTAL	WT × $\frac{1000}{V}$ = γ_T (t/m ³)	1.216	1.216	1.230	1.272	1.267
			POIDS UNITAIRE SEC	$\gamma_d = \gamma_T / 1.0 + (w\% / 100)$	1.603	1.687	1.723	1.770	

TENEURS EN EAU	RÉCIPIENT NO							
	POIDS DU RÉCIPIENT	TARE (g)						
	POIDS DU SOL HUMIDE + RÉCIPIENT	W ₁ (g)						
	POIDS DU SOL SEC + RÉCIPIENT	W ₂ (g)						
	POIDS DE L'EAU	W ₁ - W ₂ = W _w (g)						
	POIDS DU SOL SEC	W ₂ - TARE = W _s (g)						
	TENEUR EN EAU	(W _w / W _s) × 100 = w%						

ÉCRIRE BIEN LISIBLLEMENT À L'AIDE D'UN CHAVON à MINE DE PLOMB "H3 ou B" TOUTES LES INFORMATIONS DIRECTEMENT SUR CETTE FEUILLE.

ecole polytechnique de thiès

LABORATOIRE DE GEOTECHNIQUE

ANALYSE GRANULOMETRIQUE

ASTM
D 422

IDENTIFICATION

Sécherie de THIES

Echantillon prélevé à THIES

Manipulateur A.D

Calculé

Date 09-0

POIDS TOTAL DE L'ÉCHANTILLON REÇU AU LABORATOIRE & W% NATURELLE

Récipient no.: _____ Sol humide + tare = 943.75 g ; Sol sec + tare = 931.02 g

Poids de l'eau = 12.73 g ; Tare = 233.90 g ; Poids sol sec = 697.12 g ; W% = 1.83

% de particules plus grandes que 150 mm (6 po.) = _____

POIDS DE LA FRACTION UTILISÉE (si différente du poids total)	TAMIS		POIDS DU SOL RETENU		% RETENU		% DU SOL PASSANT	
	pouces (mm)	INDIVIDUEL	CUMULATIF	CUMULATIF	CUMULATIF	CUMULATIF	CUMULATIF	REPORTÉ
Récipient no.: _____	3" (75)							
Sol + tare = 6112 g	2" (50)							
Tare = 1504 g	1½" (37,5)							
Sol sec = 4608 g	1" (25)							
SÉCHAGE	3/4" (19) 1/2" (13)							
<input checked="" type="checkbox"/> Air <input type="checkbox"/> Four	3/8" (9,5)	0	0	0	100	100		
Remarques _____	# 4 (4,75)	1160	1160	25.17	74.83	74.83		
ECHANTILLON (5)	RÉSIDU	3400	4560				PERTES	
							POIDS = 48 g ; % = 1.64	

RAYEZ LES TAMIS NON UTILISÉS

POIDS DE LA FRACTION UTILISÉE	TAMIS		POIDS DU SOL RETENU		% RETENU		% DU SOL PASSANT	
	Numéro (D mm)	INDIVIDUEL	CUMULATIF	CUMULATIF	CUMULATIF	CUMULATIF	CUMULATIF	REPORTÉ
Récipient no.: _____	# 4 (4,75)							
Sol + tare = 911.71 g	# 8 (2,36)	# 10 (2,00)	428.76	428.76	60.26	39.74	29.74	
Tare = _____ g	# 16 (1,18)	# 20 (0,85)	118.50	547.26	76.91	23.03	17.28	
Sol sec = _____ g	# 30 (0,60)	# 40 (0,42)	49.01	596.27	83.80	16.2	12.12	
SÉCHAGE	# 50 (0,30)	# 60 (0,25)	29.84	626.11	91.93	12.01	8.99	
<input type="checkbox"/> Air <input type="checkbox"/> Four	# 100 (0,15)	# 140 (0,106)	37.76	663.87	98.30	6.7	5.01	
TAMISAGE	# 200 (0,075)		14.11	678.63	95.38	4.62	3.46	
<input type="checkbox"/> à sec <input type="checkbox"/> lavage	RÉSIDU	..	117.14				PERTES	
SÉDIMENTOMÉTRIE							Poids = 1.31 g ; % = 0.20	
<input type="checkbox"/> oui <input type="checkbox"/> non								

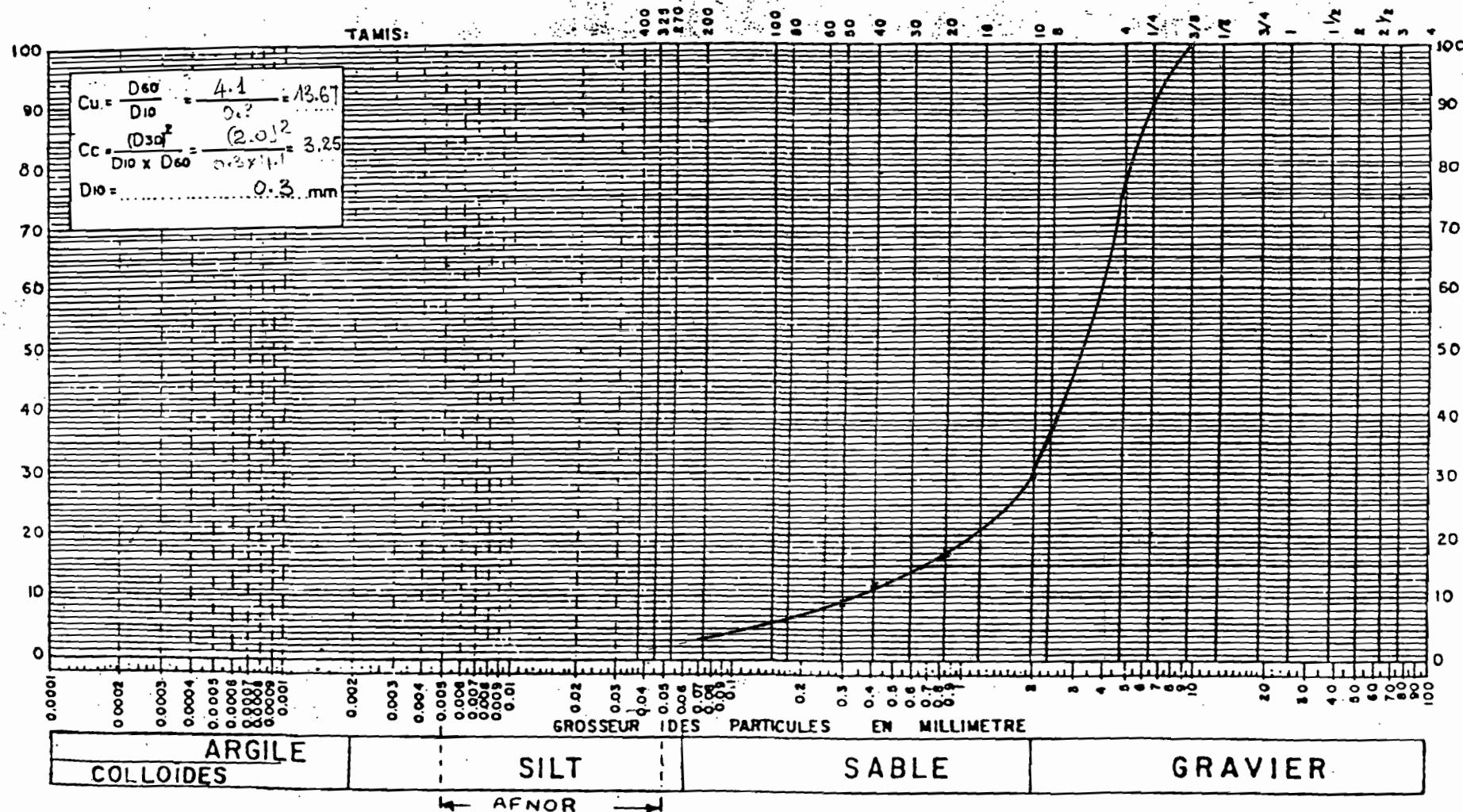
REMARQUES (couleur sec-humide, forme des grains, matière organiques, w% nat., etc..)

DESCRIPTION NORMALISÉE :

DATE _____

ECHANTILLON NO. 5

COURBE GRANULOMETRIQUE


Description :

Sabletite de THIES

Remarques :

ECOLE POLYTECHNIQUE DE THIES

Permeabilité des sols latéritiques

Feuille de mesures

Essai No 5-1 Date 18-04-85

Dimensions de l'échantill. diam. 13.873 cm Haut 30 cm

Surface 151.158 cm² volume 4534.74 cm³

Poids des filtres 4020 g

Poids de la cellule 17400 g

Poids cellule + sol + filtres 29344 g

Poids du sol 1924 g

Teneur en eau 10.53 %

Densité sèche γ_d 1.581 t/m³

dénivellation h 69.5 cm

Test No.	t (sec)	V (cm ³)	T °C
		700	27
		-	-
Moyenne	69.50	700	27

$$k_T = \frac{VL}{Aht} = \frac{700 \times 69.5}{151.158 \times 69.5} = 1.06 \text{ cm/s}$$

$$\gamma_T / \gamma_{z_0} = 0.9502$$

$$k_{z_0} = k_T \times \frac{\gamma_T}{\gamma_{z_0}} = 1.06 \times 0.9502 \text{ cm/s}$$

102

ECOLE POLYTECHNIQUE DE THIES

Permeabilité des sols latéritiques

Feuille de mesures

Essai No 5.2 Date 20 - 04 - 85

Dimensions de l'échantillm. diam. 13.873 cm Haut. 30 cm

Surface 151.158 cm² volume 4534.74 cm³

Poids des filtres 4034 g

Poids de la cellule 17400 g

Poids cellule + sol + filtres 30310 g

Poids du sol 8876 g

teneur en eau 13.47 %

densité sèche γ_d 1.725 t/m³

dénivellation h 69 cm

Test No.	t (sec)	V (cm ³)	T °C
	32.75	700	26.5
	33.5	-	-
	34.25	-	-
	34.50	-	-
	34.75	-	-
	34.40	-	-
Moyenne	34.63	700	26.5

$$k_T = \frac{V L}{A h t} = \frac{700 \times 30}{151.158 \times 69 \times 26.5} = 3.2 \times 10^{-2} \text{ cm/s}$$

$$\eta_T / \eta_{20} = 0.8598$$

$$k_{20} = k_T \times \frac{\eta_T}{\eta_{20}} = 2.68 \times 10^{-2} \text{ cm/s}$$

Permeabilité des sols latéritiques

Feuille de mesures

Essai No 5-3 Date 22-04-85

Dimensions de l'échantillm. diam. 13.873 cm Haut. 30 cm

Surface 151.158 cm² volume 4534.74 cm³

Poids des filtres 400 g

Poids de la cellule 17400 g

Poids cellule + sol + filtres 20634 g

Poids du sol 9225 g

Teneur en eau 14.94 %

Densité sèche γ_d 1.770 t/m³

dénivellation h 68 cm

Test No.	t (sec)	V (cm ³)	T °C
	13	700	27
	13	-	-
	13	-	-
Moyenne	69.85	700	27

$$k_T = \frac{VL}{Aht} = \frac{700 \times 10^{-6}}{151.158 \times 68 \times 30} = 3.08 \times 10^{-8} \text{ cm/s}$$

$$\gamma_T / \gamma_{20} = 0.8502$$

$$k_{20} = k_T \times \frac{\gamma_T}{\gamma_{20}} = 2.56 \times 10^{-8} \text{ cm/s}$$

ECOLE POLYTECHNIQUE DE THIESPermeabilité des sols latéritiquesFeuille de mesures

Essai No 5.4 Date 24-04-85

Dimensions de l'échantillm. diam. 13.873 cm Haut. 50 cm

Surface 151.158 cm² volume 4534.74 cm³

Poids des filtres 4064 g

Poids de la cellule 17400 g

Poids cellule + sol + filtres 30720 g

Poids du sol 9256 g

teneur en eau 15.12 %

densité sèche γ_d 1.773 t/m³

dénivellation h 68 cm

Test No.	t (sec)	V (cm ³)	T °C
	39.14 39.13	700	26.5
		-	-
		-	-
Moyenne	39.13	700	26.5

$$k_T = \frac{VL}{Aht} = \frac{100 \times 30}{151.158 \times 68 \times 60.14} = 2.95 \times 10^{-2} \text{ cm/s}$$

$$\gamma_T / \gamma_{20} = 0.8598$$

$$k_{20} = k_T \times \frac{\gamma_T}{\gamma_{20}} = 2.54 \times 10^{-2} \text{ cm/s}$$

Permeabilité des sols latéritiquesFeuille de mesures

Essai No 5-5 Date 26-04-85

Dimensions de l'échantillm. diam. 13.873 cm Haut. 30 cm

Surface 151.158 cm² volume 4534.74 cm³

Poids des filtres 4062 g

Poids de la cellule 17400 g

Poids cellule + sol + filtres 30432 g

Poids du sol 8970 g

teneur en eau 15.61 %

densité sèche γ_d 1.711 t/m³

dénivellation h 67 cm

Test No.	t (sec)	V (cm ³)	T °C
	2	700	26
	3	-	-
	6	-	-
	15	-	-
	24	-	-
	34	-	-
Moyenne	29.34	-	26

$$k_T = \frac{VL}{Aht} = \frac{700 \times 30}{151.158 \times 67 \times 1.711 \times 67} = 2.99 \times 10^{-2} \text{ cm/s}$$

$$\eta_T / \eta_{20} = 0.8694$$

$$k_{20} = k_T \times \frac{\eta_T}{\eta_{20}} = 2.60 \times 10^{-2} \text{ cm/s}$$

ECOLE POLYTECHNIQUE DE THIESPermeabilité des sols latéritiquesFeuille de mesures

Essai No 5-6 Date 28-04-85

Dimensions de l'échantillon. diam. 13.873 cm Haut. 30 cm

Surface 151.158 cm² volume 4534.74 cm³

Poids des filtres 4069 g

Poids de la cellule 17400 g

Poids cellule + sol + filtres 30090 g

Poids du sol 8621 g

Teneur en eau 16.07 %

densité sèche γ_d 1.638 t/m³

dénivellation h 70 cm

Test No.	t (sec)	V (cm ³)	T °C
1	19.08	200	25
2	19.10	-	-
3	19.16	-	-
4	19.08	-	-
Moyenne	19.10	200	25

$$k_T = \frac{VL}{Aht} = \frac{200 \times 30}{151.158 \times 70 \times 19.1} = 2.97 \times 10^{-2} \text{ cm/s}$$

$$\eta_T / \eta_{20} = 0.9893$$

$$k_{20} = k_T \times \frac{\eta_T}{\eta_{20}} = 2.64 \times 10^{-2} \text{ cm/s}$$

ECOLE POLYTECHNIQUE DE THIES

Permeabilité des sols latéritiques

Feuille de mesures

Essai No 5.7 Date 30-04-85

Dimensions de l'échantill. diam. 13.873 cm Haut. 30 cm

Surface 151.158 cm² volume 4534.74 cm³

Poids des filtres 4038 g.

Poids de la cellule 17400 g

Poids cellule + sol + filtres 29807 g

Poids du sol 8370 g

Teneur en eau 18.52 %

Densité sèche γ_d 1.584 t/m³

dénivellation h 67 cm

Test No.	t (sec)	V (cm ³)	T °C
1	55.00	700	26.3
2	55.45	-	-
3	55.00	-	-
4	55.00	-	-
5	55.45	-	-
6	55.24	-	-
Moyenne	55.18	700	26.3

$$k_T = \frac{VL}{Aht} = \frac{700 \times 30}{151.158 \times 67 \times 55.18}$$

$$3.26 \times 10^{-2} \text{ cm/s}$$

$$\gamma_T / \gamma_{20} = 0.8656$$

$$k_{20} = k_T \times \frac{\gamma_T}{\gamma_{20}} = 3.26 \times 10^{-2} \text{ cm/s}$$

Bibliographie

PAUL AUTRET : Latérites et gravellous latéritiques pp 5-13.

L.C.P.C (janvier 1983)

SILVAN ANDREI : Le drainage de l'eau dans les sols à granulométrie fine. Editions EYROLLES (1966)

A. CORNET : Notice explicative de la carte géotechnique du Sénégal pp 17-20 Etudes et impression financées par le F.A.C et présentées par le B.R.G.M. (1964)

J. COSTET et G. SANGERAT : Cours pratique de mécanique des sols (tome 1) 2^e édition pp 40-84

Dunod technique (1977)

MASSAMBA DIENE : Latérites et stabilisation en construction routière application de deux gravellous latéritiques au Sénégal Laboratoire de mécanique des sols E.P.L.F (1984)

F. MORIN : Notes de cours SOLS 4.11 mécanique des sols E.P.T (1984)

W.J MORIN et P.C TODOR : Laterite and laterite soils and other problem soils of the tropics an engineering evaluation

5. Baltimore, Lyon Associates (vol 1) 1972-1975

à l'étude du mouvement de l'humidité

sur poteaux isothermes EYROLLES (1964)

humidité des sols Notes département

(non daté)

ing. Pedogenesis

Elsevier scientific

NEW YORK